

MINISTERUL EDUCATIEI SI INVATAMANTULUI
INSTITUTUL POLITEHNIC „TRAIAN VULIĂ” TIMIȘOARA
FACULTATEA DE MECANICĂ

Ing. MARIUS MARINA

CONTRIBUTII LA STUDIUL OPTIMIZĂRII DISTRIBUȚIEI
MOTOARELOR CU ARBORS INTERNI IN PATRU TIMPI

VOLUMUL I

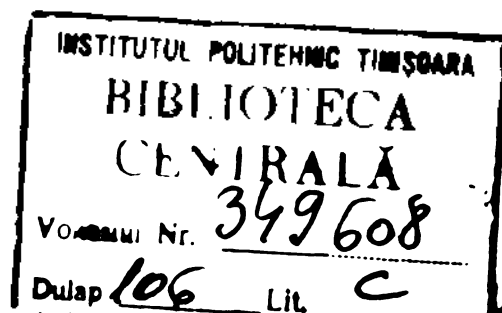
BIBLIOTECA CENTRALĂ
UNIVERSITATEA „POLITEHNICA”
TIMIȘOARA

Teză pentru obținerea titlului științific de
doctor inginer

CONDUCĂTOR ȘTIINȚIFIC

Prof.dr.ing. VASILE BERLEDEAN

- 1978 -



Contribuții la studiul optimizării distribuției
motoarelor cu ardere internă în patru timpi

- INTRODUCERE -

Domeniu de mare eficiență în creșterea performanțelor motoarelor cu ardere internă, optimizarea distribuției preocupă multe colective de specialiști. Literatura nu abordează însă, decât parțial, problemele aferente acestui domeniu lăsând nerezolvate o serie de aspecte deosebit de importante pentru constructori și proiectanți.

Cercetarea de față își propune să trateze analitic și experimental cele mai importante etape din realizarea unei distribuții capabile să satisfacă atât din punct de vedere dinamic, cât și gazodinamic, funcționarea motorului considerat.

Elementul optimizării îl constituie legea de mișcare a ș.apei, ea reflectând atât regiul dinamic al mecanismului de distribuție, cât și aspecte determinante ale gazodinamicii motorului, iar purtătorul caracteristicilor ei este cama.

Se constată că în cazul utilizării legilor de mișcare fără șoc, majoritatea mecanismelor de distribuție satisfac condiția de a fi „rigide” adică de a transfera fără modificări esențiale, legea de mișcare de la tachet la supapă, ceea ce crează posibilitatea optimizării directe a legii de mișcare a tachetului, pe baza căreia se obține profilul camii. Acest aspect prezintă o importanță deosebită pentru proiectare, cînd parametrii mecanici ai elementelor componente, încă neprecizați, împiedică utilizarea ecuației de mișcare a sistemului pentru definirea legii de mișcare a tachetului, în funcție de legea de mișcare a supapei.

Pentru aceste condiții, în teză se stabilesc expresiile coordonatelor profilelor de cama din structura principalelor mecanisme ca-

1

mă-tachet utilizați la motoarele în patru timpi. De asemenea, se elaborează algoritmele calculului de analiză cinematică și cinetostatică, elucidându-se toate aspectele proprii acestora. Pentru facilitarea utilizării lor în proiectarea curentă, calculele de sinteză și analiză sînt însoțite de program în limbaj FORTRAN.

În cadrul tezei se studiază de asemenea, probleme ale comportării dinamice a arcurilor de distribuție, precum și aspecte referitoare la configurația camelor și a distribuțiilor motoarelor policilindrice cu doi arbori de distribuție.

Cercetarea teoretică este dublată de o bogată bază experimentală realizată de autor pentru exploatarea căruia s-a elaborat o metodă adecvată posibilității de verificare a parametrilor vizai de optimizare.

Rezultatele obținute în cercetarea teoretică și experimentală și-au găsit o mare aplicabilitate în dezvoltarea unor noi familii de motoare.

Contributions to the Optimizing of the Internal
Combustion in Four Strokes Engines

- ABSTRACT -

The optimizing of the distribution as a field of great efficiency for the improvement of the internal combustion engines preoccupies many specialists.

The literature does not broach but partially the apparent problems of this domain, leaving unsolved a series of very important aspects for the designers and mechanical engineers.

The present research aims at the analytical and experimental treating of the most important stages from the realization of an adequate from the dynamic and gas-dynamic point of view distribution.

The optimizing element is the valve moving law which reflects both the dynamic conditions of the distribution mechanism and the decisive engine gaso-dynamic aspects. Its characteristic bearer is the cam.

It has been ascertained that with shockless moving law, most of the distribution mechanisms satisfy the condition of "stiffness", namely to transfer without essential modifications the moving law from the peg to the valve, which ensures the direct optimizing of the peg moving law by means of which they may get the cam profile. This aspect presents a great importance for the designing when the unspecified mechanical parameters of the elements steps the utilization of the system moving equation, which defines the peg moving law depending on the valve moving law.

For these conditions in the dissertation there are established the expressions of the cam profiles co-ordinates; there are also

elaborated the kinematical and kinetostatical calculations.

They are accompanied by FORTRAN programmes.

There are also studied the dynamic problems of the distribution springs and the aspects on the cam configurations.

The theoretical research is accompanied by a rich experimental basis created by the author destined to checking of the optimised parameters.

The results obtained in the theoretical and experimental research have found themselves a large application in the development of new engine families.

Contributions à l'optimisation de la distribution
des moteurs avec combustion interne

- résumé -

C'est un domaine de grande efficacité dans l'augmentation des performances des moteurs, l'optimisation de la distribution préoccupe des nombreux collectifs de spécialistes. La littérature n'aborde que partiellement ces problèmes, laissant sans résolution des aspects importants pour les constructeurs et les spécialistes.

Cette recherche traite analytiquement et expérimentalement les plus importantes étapes de la réalisation d'une distribution capable de satisfaire de point de vue dynamique et gasodynamique, le fonctionnement du moteur considéré. L'élément de l'optimisation est constitué par la loi de mouvement de la soupape, elle reflétant le régime dynamique du mécanisme de distribution et des aspects importants de la gasodynamique du moteur et le porteur des caractéristiques est la came. On constate que dans les conditions de l'utilisation des lois de mouvement sans choc, la majorité des mécanismes de distribution peuvent satisfaire la condition d'être "rigide" c'est-à-dire de transférer sans modifications essentielles la loi de mouvement sur le circuit tige-soupape, ce qui peut créer la possibilité de l'optimisation directe, de la loi de mouvement du tige, en obtenant le profil de la came. Cet aspect présente une importance pour la projection, quand les paramètres mécaniques des éléments composants pas encore précisés, empêche l'utilisation de l'équation de mouvement du système pour définir la loi de mouvement du tige en fonction de la loi de mouvement de la soupape.

Pour ces conditions, on trouve on établit les expressions des coordonnées des profils de la came dans la structure des principaux

mécanismes came-taquet utilisés par les moteurs en quatre temps. Ainsi on élaboré les algorithmes des calculs d'analyse cinématique et cinéostatique, on élucidé tous les aspects. Pour faciliter leur utilisation dans la projection courante, les calculs et l'analyse sont accompagnés de programmes en langage "FORTRAN".

Dans le cadre de la thèse on étudie les problèmes du comportement dynamique des arca de distribution et des aspects concernant la configuration des cases et de la distribution des moteurs avec plusieurs cylindres et deux arbres de distribution. La recherche théorique a une base expérimentale très riche réalisé par l'auteur, pour l'utilisation de laquelle on a élaboré une méthodique adéquate à la possibilité de vérification des paramètres d'optimisation.

Les résultats obtenues dans la recherche théorique et expérimentale ont trouvé une grande applicabilité dans le développement des nouvelles familles de moteurs.

Beiträge zur Optimierung der Steuerung von
4-Taktverbrennungsmotoren

- Zusammenfassung -

Die Optimierung der Steuerung, als Gebiet mit grosser Effizienz beim Vergrössern der Leistung von Verbrennungsmotoren, beschäftigt eine grosse Anzahl von Fachleuten. Die Fachliteratur erörtert aber nur teilweise die Problematik dieses Gebietes wobei viele, für die Motorenbauer, sehr wichtige Aspekte, ungelöst bleiben.

Die vorliegende Forschung beabsichtigt die wichtigsten Stappen der Konstruktion einer Motorsteuerung, analytisch und experimentell, zu behandeln damit diese sowohl dynamisch wie auch gasodynamisch den vorgeschriebenen Zwecke entsprechen.

Das Element der Optimierung ist das Bewegungsgesetz des Ventils, welches sowohl das dynamische Regime der Steuerung sowie auch bestimmende gasodynamische Aspekte des Motors bestimmt und dessen Träger die Nocke ist. Man bemerkt dass in Falle der Bewegungsgesetze ohne Nocke, die meisten Steuerungen als "starr" betrachtet werden können, sie also das Bewegungsgesetz ohne Veränderungen von dem Stössel zum Ventil übertragen. Dieses ergibt die Möglichkeit der Optimierung des Bewegungsgesetzes des Stössels, auf Grund dessen man das Nockenprofil erhalten kann. Diese Tatsache ist von grosser Wichtigkeit in der Konstruktion, wenn die mechanischen Parameter der Bestandteile der Steuerung noch nicht bekannt sind und darum die Bewegungsgleichung des Systems nicht zur Bestimmung des Bewegungsgesetzes des Stössels in Funktion des Bewegungsgesetzes des Ventils anwendbar ist.

Für diese Bedingungen werden in der Dissertation die Ausdrücke der Koordinaten der Nockenprofile der wichtigsten Steuerungen die

in 4-Taktmotoren gebraucht werden, bestimmt. Es werden auch die Algorithmen zur kinematischen und kinetostatischen Analyse bestimmt und deren Eigenschaften analysiert. Um diese in der Konstruktion brauchbar zu machen sind den Synthese - und Analyse - Rechnungen Programme in FORTRAN IV beigelegt.

In der Dissertation werden gleichfalls auch Probleme des dynamischen Verhaltens der Ventilsfedern sowie der Ausbildung der Nocken und Steuersysteme bei Motoren mit zwei Nockenwellen studiert.

Die theoretische Forschung stützt sich auf eine breite, vom Autor verwirklichte, experimentelle Basis für welche eine angewandte Methodik ausgearbeitet wurde.

Die durch die theoretische und experimentelle Forschung erzielten Ergebnisse wurden bei der Entwicklung einer neuen Motorenfamilie angewendet.

К оптимизации распределения четырехтактных двигателей внутреннего сгорания

Резюме

Оптимизация распределения, область большой производительности в росте эффективности двигателей внутреннего сгорания, является задачей многих коллективов специалистов. Однако литература по специальности занимается лишь частично вопросами данной области, оставляя неразрешенными ряд важнейших задач для конструкторов и проектантов.

Данное исследование задается целью разработать аналитическим и опытным путём важнейшие этапы в реализации некоторого распределения, удовлетворяющего как с точки зрения динамической, а так же и газодинамической, действие вышеупомянутого двигателя.

Элементом оптимизации является закон движения клапана, отражающий как динамический режим распределительного механизма, а так же и определяющие аспекты газодинамики двигателя, однако носителем характеристик данного закона является кулачок. Устанавливается что в условиях применения законов движения без удара, большинство распределительных механизмов удовлетворяют условию "жесткости", т.е. переноса, без основных изменений, закона движения от пальца к клапану, что создает возможность прямой оптимизации закона движения пальца на основе которого получается профиль кулачка. Данный вопрос представляет особое значение для проектирования, когда механические параметры пока неопределенных основных элементов, препятствуют применению уравнения движения системы для определения закона движения пальца в зависимости от закона движения клапана.

Для данных условий, в работе устанавливаются выражения координат профилей кулачков из структуры основных механизмов кулачок - палец, используемых в четырехтактных

двигателях . Также составляются алгоритмы расчётов кинематического и кинестатического анализов , выявляя все аспекты присущие данным алгоритмам . В виду способствования применения последних в проектировании , синтетические и аналитические расчёты сопровождаются программой на языке ФОРТРАН.

В данной диссертации исследуются также вопросы динамического поведения пружин распределения , а также и аспекты связанные с конфигурацией кулачков и распределением многоцилиндровых двигателей с двумя распределительными валами .

Теоретическое исследование основывается на обширной опытной базе , осуществлённой автором , для эксплуатации которой был выработан метод подходящий к возможностям проверки параметров оптимизации .

Полученные результаты в теоретическом и экспериментальном исследовании нашли широкое применение в развитии новых семей двигателей .

C U E R T I N I

Volumul I

	Pag.
Prefața	5
Notații principale	7
Introducere	9
1. Studiu monografic asupra stadiului actual al construcției distribuțiilor motoarelor cu ardere internă, rapide, în patru timpi	19
1.1. Generalități	19
1.2. Principalele lucrări analizate	19
1.3. Concluzii asupra principalelor lucrări analizate	22
2. Modelul dinamic-matematic al mecanismului de distribuție	27
2.1. Generalități	27
2.2. Considerații asupra elaborării modelului matematic și utilizării acestuia	28
2.3. Rezolvarea ecuației de mișcare în cazul casnelor armonice	40
2.4. Analiza regimului dinamic al arcurilor	43
3. Contribuții la analiza cinematică și sinteza mecanismelor de distribuție ale motoarelor cu ardere internă în patru timpi	53
3.1. Generalități	53
3.2. Algoritm legii de mișcare a elementului condus	53
3.3. Calculul profilului camei	54
3.4. Calculul parametrilor cinematici ai supapelor	57
3.5. Determinarea legii de mișcare a tachetului, când se cunoaște profilul camei	59

3.6. Dependența profilului camei de legea de mișcare și tipul mecanismului considerat	65
4. Influența legii de mișcare a supapei asupra comportării mecanismului de distribuție	69
4.1. Generalități	69
4.2. Calculul cinetostatic al mecanismului de distribuție	70
4.3. Considerații asupra compatibilității func- ționale a arcurilor mecanismelor de dis- tribuție ale motoarelor	84
4.3.1. Determinarea elementelor de bază pentru calculul arcurilor	84
4.3.2. Verificarea arcurilor de distribuție luând în considerare suprasolicitările dinamice	88
4.4. Influența legii de mișcare a supapei asupra secțiunii efective	93
5. Instalații și metode experimentale. Precizia măsurărilor	98
5.1. Instalația pentru studiul distribuției motorului D - 103	98
5.1.1. Prelucrarea rezultatelor experimentale.	99
5.2. Instalația pentru cercetarea profilului camelor.	101
5.3. Dispozitive mecanice și electrice.	102
5.3.1. Dispozitiv pentru modelarea mecanică a mecanismului de distribuție	102
5.3.2. Traductor inductiv de viteză.	102
5.3.3. Dispozitiv pentru determinarea constantei elastice a mecanismului de distribuție.	103
5.3.4. Arbori de distribuție cu came mobile pentru încercări pe monocilindri experimentali.	103

5.3.5. Dispozitiv cu came șablon indexabile, pentru prelucrarea arborilor de distribuție	104
5.4. Ansamblul instalației experimentale.	105
5.5. Precizia măsurării	105
5.5.1. Erori tangențiale	106
5.5.2. Erori de translație	107
5.5.3. Erori cosinus	108
5.5.4. Erori dinamice.	109
5.6. Considerații asupra preciziei de execuție a profilului	111
6. Rezultatele cercetării	117
6.1. Analiza parametrilor dinamici ai mecanismelor de distribuție cercetate	117
6.2. Analiza calităților gazodinamice ale legilor de mișcare	127
6.3. Calculul solicitărilor arcurilor de distribu- ție cu considerarea suprasolicitării dinamice.	130
6.4. Rezolvarea automată a calculelor de optimizare	131
6.5. Valorificarea rezultatelor cercetării.	139
7. Concluzii	141
Bibliografie.	147

Volumul II

Figuri	2
Abacuri	44

CONCLUZII

Meritele eforturi destinate descoperirii unor noi surse de energie se împleteasc cu creșterea în vederea economisirii rezervelor actuale de carburant. Statisticile demonstrează că puterea motoarelor autovehiculelor depășește cu mult puterea instalată a tuturor centralelor electrice de pe glob și ca urmare, realizarea economiilor de carburant în exploatarea motoarelor cu ardere internă a dobândit o importanță majoră.

Aceste economii se pot obține, în primul rând, prin elaborarea și aplicarea unor soluții optimizate ale procesului de schimbare a gazelor. În acest context, o cale eficientă și economică o constituie studierea mecanismului de distribuție.

Înă nu demult, creșterea performanțelor acestui mecanism a fost limitată de configurația profilului camelor, realizate aproape invariabil din drepte și arce de cerc. Astăzi, încă, tehnologia de prelucrare a arborilor cu came impune utilizarea camelor convexe.

Cu toate acestea, camele noilor motoare au început să fie profilate după curbe mai adăvate. Creșterea turajilor de funcționare a impus studierea comportării mecanismului de distribuție în condiții de viteze și accelerații ridicate când, datorită rigidității finite a lanțului cinematic camă-supapă, neconcordanța dintre legea de mișcare a tchetului și cea a supapei se accentuează. Ca urmare, se impune stabilirea unor profile de came care să reducă prin alina variației accelerațiilor, efectele nedorite ale forțelor de inerție și ale rigidității finite asupra mișcării întregului mecanism și în mod deosebit asupra mișcării supapei.

Creșterea turajilor are ca efect scăderea proporțională a timpului-secțiune al distribuțiilor motoarelor. Acest fapt determină înrăutățirea un, lerii și, ca urmare, scăderea puterii motoarelor, impunând luarea în considerare a acestor aspecte la proiectarea came-

lor și corelarea lor cu cerințele contradictorii impuse de dinamica mecanismului camă-supapă.

Autorul tezei de doctorat, prin cercetarea efectuată, a căutat să stabilească soluții optime prin satisfacerea ambelor cerințe: găsirii și dinamice. Soluțiile obținute sînt rezultatul optimizării unor legi de mișcare adecvate distribuției motoarelor cu ardere internă în patru timpi, astfel ca să asigure reducerea accelerațiilor pozitive și a rigidității arcurilor de distribuție în scopul limitării solicitărilor zonelor de contact, măsurarea accelerațiilor negative pentru evitarea desprinderilor, precum și realizarea unor timpi-secțiune sporivi, conducînd la creșterea capacității de trecere a gazelor prin secțiunea controlată de supapă.

Autorul mulțumește tovarășilor profesori, dr.ing. V. Cerindean, conducătorul științific și dr.ing. Fr. Novăce, șeful colectivului de cercetare - 5/2, pentru îndrumările prețioase acordate în toată perioada de elaborare a lucrării și pentru sprijinul eficient în vederea finalizării ei.

Mulțumirile se adresează de asemenea, colegilor din Institutul Politehnic "Traian Vuia" Timișoara, Institutul Național de Motoare Termice București și din întreprinderile timișorene pentru sugestiile, bunăvoința exemplară și sprijinul acordat pentru rezolvarea diferitelor faze ale acestei cercetări.

NOTAȚII PRINCIPALE

Simbol	Denumirea	Unitatea de măsură
1	2	3
n_c	turația arborelui cu came	rot/min
ω	viteza unghiulară	s^{-1}
n_n	numărul oscilațiilor proprii	oscilații/min
ω_n	pulsatia proprie	s^{-1}
τ	timpul	s
i	raport de transmisie	-
n, i	ordinul armonicilor componente	-
a_1, b_1	coeficienții termenilor seriei Fourier	mm
c_1	amplitudinea armonicilor rezultante	mm
x_0, s_1	deplasarea punctului caracteristic al tchetului	mm
r_0	raza cercului de bază al camii	mm
r	raza rolei tchetului	mm
x	deplasarea supapei	mm
v	viteza liniară	m/s
a	acclerația liniară	m/s^2
F	forța	N
R	reacțiunea	N
M	momentul forței, reacțiunii	Nm
k_0	constanta elastică a arcului	N/mm
k	constanta elastică a mecanismului	N/mm
ε	acclerația unghiulară	s^{-2}
δ	coeficienții legilor de mișcare	-
ω_{dist}	rotație arbore de distribuție	
ϕ, φ	unghiul de rotație al camii	rad, $^\circ$

1	2	3
m	masa	kg
l	lungimea	mm, m
"	secțiunea	m ² , mm ²
I	moment de inerție masic	kg m ²
τ	efortul specific de torsiune	daN/mm ²
"	viteza gazului	m/s
V	volumul	m ³
η_v	coeficient de umplere	-
μ	coeficient de debit	-
σ	coeficient de obturare	-
p	presiunea	daN/mm ²

Notațiile necuprinse în această listă, sînt explicate în text.

I N T R O D U C E R E

Prezenta teză de doctorat cuprinde rezultatele studiilor și cercetărilor efectuate în vederea optimizării distribuției motoarelor cu ardere internă în patru timpi rapide. În acest cadru au fost stabilite criteriile dinamice și gazodinamice de optimizare a legii de mișcare a supapei și s-a elaborat metodică de sinteză a camei și de analiză cinematică și dinamică a mecanismului de distribuție.

Lucrarea cuprinde două volume: volumul I conține textul lucrării prezentat în 7 capitole cuprinzând 158 pagini, 11 tabele, 285 relații numerotate și 108 referiri bibliografice, volumul II conține 57 pagini cuprinzând 85 figuri, 5 tabele, 4 organigrame și o anexă cu 4 programe în limbaj FORTRAN.

Cap. 1 „Studiu monografic asupra stadiului actual al cercetării distribuțiilor motoarelor cu ardere internă, rapide, în patru timpi”, reprezintă o sinteză a celor mai interesante contribuții din literatura de specialitate, grupate după aspectele specifice tratate.

Pe baza analizei critice și corolării diferitelor aspecte sesizate, în partea finală a capitolului se descrie metodică personală, preconizată pentru optimizarea distribuției motoarelor cu ardere internă în patru timpi.

Cap. 2 „Modelarea dinamică-matematică a mecanismului de distribuție”, are ca obiect principal studiul interdependenței dintre legile de mișcare ale tachtului și supapei, pe baza ecuației de mișcare a sistemului, aproximat printr-un model dinamic-matematic, cu un singur grad de libertate. Examinarea ecuației de mișcare conduce la următoarele concluzii importante pentru proiectare:

- Se pune în evidență necesitatea utilizării unor funcții continue pentru profilarea camei, având cel puțin primele două derivate

continua, realizabilă prin adoptarea unor forme polinomiale;

- De asemenea, se constată că printr-o corelare corespunzătoare a vitezei de funcționare cu regimul de oscilație al mecanismului și motorului, se asigură un transfer mai precis al mișcării de la camă la supapă. În aceste condiții studiul de optimizare al legilor de mișcare se poate rezolva la nivelul tachetului, mișcarea acestuia diferind de mișcarea supapei prin funcția de transmitere a mecanismului.

Pentru satisfacerea condițiilor complexe impuse, aceste legi se compun din mai multe porțiuni, constituite din funcții diferite, ceea ce facilitează realizarea parametrilor cinematici și gazodinamici necesari. Constatând că dintre legile propuse în literatură, cea mai adecvată pentru distribuția motoarelor cu ardere internă este legea de tip Kurz, care prin structura ei prezintă multă elasticitate, autorul o prevede pe porțiunea de accelerare cu o funcție polinomială, care asigură creșterea timpului secțiune al supapei și totodată posibilitatea evitării concavității profilelor.

Capitolul se încheie cu un studiu al dinamicii arcurilor de distribuție destinat stabilirii influenței legii de mișcare a supapei asupra condițiilor lor de funcționare.

Cap. 3 „Contribuții la analiza cinematică și sinteza mecanismelor de distribuție ale motoarelor cu ardere internă”, cuprinde studii analitice de sinteză a camii și de analiză cinematică a mecanismului camă-supapă.

Se elaborează relații pentru calculul profilului camii pe baza legii de mișcare a tachetului, care poate fi impusă direct sau calculată în raport cu legea de mișcare a supapei, și pentru rezolvarea analitică a cinematicii mecanismului de distribuție. De asemenea se stabilesc relațiile pentru calculul parametrilor cinematici ai principalelor tipuri de mecanisme cu came, utilizate în

distribuțiile motoarelor, în funcție de profilul camei și dimensiuni, aceste relații fiind foarte utile pentru studiul unor soluții existente.

În partea finală se analizează corelațiile dintre legea de mișcare impusă, tipul mecanismului și profilul camei, relevându-se aspecte aplicative importante pentru soluțiile funcționale.

Cap. 4 „Influența legii de mișcare asupra comportării mecanismului de distribuție”, este destinat studiului prin metoda cinetostatică a reacțiunilor dinamice cu frecare, a determinării suprasolicităților arcurilor și analizei efectelor optimizării asupra gedinamicii motorului.

Calculul reacțiunilor se efectuează prin aproximații succesive, numărul treptelor de aproximare fiind limitat de precizia impusă; la prima aproximație se neglijează frecările din cuplele cinematice, iar la aproximațiile ulterioare ele se evaluează pe baza rezultatelor din treapta precedentă.

La calculul forțelor de inerție ce acționează asupra elementelor cu mișcare oscilantă (tachetul oscilant și culbutorul), torzorul forțelor de inerție se înlocuiește printr-un sistem echivalent compus dintr-o forță de inerție tangențială, ce se transmite în mecanism și o forță de inerție normală, care soliciță blocul.

Se constată că profilul camei afectează valorile reacțiunilor atât prin accelerațiile elementelor, cât și prin coeficientul unghiular al normalei.

Prin analiza corelației dintre unghiul de presiune, legea de mișcare și dimensiunile mecanismului, se propune o soluție de rezolvare analitică a gabariturii camelor plane cu tachet oscilant.

La studiul arcurilor de distribuție se face constatarea că cele două variante constructive, frecvente în structura mecanismelor de distribuție, cu tachet oscilant și cu tachet de translație, în

condițiile unor mase identice, forța de inerție corespunzătoare tchetului oscilant, care se transmite arcului, reprezintă $2/3$ din forța de inerție corespunzătoare tchetului în mișcare de translație; în realitate, varianta cu tchet oscilant asigură mase mai mici, oferind acestei soluții constructive un avantaj suplimentar.

De asemenea, se subliniază necesitatea ca legea de mișcare a supapei să asigure o variație lină a accelerațiilor negative, variația forței arcurilor putând astfel compensa pe o zonă mai largă, variația forțelor de inerție, ceea ce asigură mecanismului o stare de minimă solicitare, așa-numita „stare de plutire”.

În vederea calculului suprasolicitărilor dinamice ale arcurilor se prelucreză elementele de analiză armonică corespunzătoare legii de mișcare de tip Kurz.

Capitolul se încheie cu analiza influenței legii de mișcare a supapei asupra procesului gazodinamic. Se evidențiază efectul pozitiv al legilor de mișcare optimizate asupra variației coeficientului μ^v și US-ului supapei, în funcție de unghiul de rotație al arborelui de distribuție.

Cap.5. Instalații și metode de cercetare experimentală. Precizia măsurărilor, prezintă baza experimentală a cercetării și considerații asupra corelației dintre precizia calculului, execuției și a măsurărilor.

Se descrie standurile, dispozitivele și elementele de optimizare proiectate de autor și executate în cadrul Institutului Politehnic „Traian Vuia” Timișoara, dintre care se menționează:

- standul experimental Nr.1, destinat determinărilor statice și dinamice asupra distribuției motorului D - 103;
- standul experimental Nr.2, pentru efectuarea cercetărilor asupra distribuției altor motoare;
- dispozitivul de modelare mecanică a distribuției, adapta-

tii la batiul standului Nr.2;

- dispozitivul pentru măsurarea constantei elastice k ;
- transductorul inductiv pentru măsurarea vitezei;
- camele experimentale;
- arborii experimentali cu came asovibile.

De asemenea, se prezintă metodică de măsurare și echipamentul electronic experimental.

Pentru evaluarea calității rezultatelor finale se analizează precizia utilajului tehnologic de execuție și a echipamentului electronic utilizat. Se evidențiază posibilitatea realizării, cu echipamentul tehnologic și de măsură disponibil, a preciziilor prevăzute în lucrare.

Cap. 6, „rezultatele cercetării”, evaluează efectele optimizării asupra dinamicii distribuției, gazodinamicii motorului și supra-solicitărilor dinamice ale arcurilor. De asemenea, se descriu principalele programe de calcul, utilizate pentru rezolvarea problemelor de sinteză și analiză și modalități de valorificare a rezultatelor obținute.

Diferențele constatate între parametrii teoretici și reali ai mișcării tchetului și supapei au impus efectuarea analizei armonice a accelerațiilor măsurate la tchet, la supapă și pe batiul standului dinamic, punându-se în evidență sursele de erori.

În funcție de ponderea acestora apare posibilitatea evaluării regimului dinamic prin curbele teoretice ale mișcării.

Pe această cale se crează posibilitatea studiului dinamic al unui mecanism aflat în fază de proiectare, când rigiditatea și masa elementelor nu este încă definitiv precizată. Rezultatele obținute limitează aplicabilitatea acestei simplificări la cazurile când viteza unghiulară a arborelui de distribuție „ ω ”, este mult inferioară pulsației proprii „ ω_n ” a mecanismului.

Determinările desfășurate la frecvențe de rotație superioare celei nominale, evidențiază înrăutățirea regimului dinamic prin amplificarea vibrațiilor și apariția desprinderilor. O imagine sugestivă asupra controlului supapei rezultă din reprezentarea presupusă a diagramelor forței de inerție, corespunzătoare accelerației maxime negative (forța dinamică de desprindere) și forței arcului.

Se constată apariția desprinderilor la o valoare apropiată de regimul nominal al motorului, după care contactul se degradează accentuat.

Această observație infirmă valabilitatea practicii de reutilizare a unor profile de came la motoare de puteri sporite, funcționând cu turații superioare tipurilor de referință.

Avantajele oferite de utilizarea legilor de mișcare optimizate sînt reflectate de analiza comparativă a oscilogramelor parametrilor cinematici ai supapei, obținuți cu cama de referință și respectiv cu cama optimizată pe baza unei legi de mișcare fără șoc, de tip Kurz.

Rezultatele pozitive obținute au condus la proiectarea unei came optimizate după același procedeu, pentru motorul INMT, asigurîndu-se pe această cale, sporuri importante ale timpului-sectiune, concomitent cu atenuarea regimului dinamic.

Partea a doua a capitolului prezintă rezultate obținute în gazodinamica motorului, reflectată prin creșterea produsului $\mu \bar{v}$, a secțiunii de curgere controlate de supapă A_g și a unghiului-sectiune al supapei US, în raport cu condițiile de referință.

S-a studiat variația produsului $\mu \bar{v}$ în raport cu unghiul de rotație al camei, pentru trei tipuri de canale de admisiune ale motorului D-103 și două tipuri de came, armonică și optimizată, rezultatele obținute cu cama optimizată, fiind superioare.

Concluzii similare rezultă și din analiza motorului IMAE, în condițiile corespunzătoare a două tipuri de canale și trei legi de mișcare a supapei.

Valorile secțiunii A_g și SS-ului supapei calculate pentru motorul D-103, în condițiile utilizării a trei tipuri de came, înregistrează de asemenea sporuri însemnate prin utilizarea legilor de mișcare optimizate, confirmând importanța acestora la perfecționarea gazodinamicii motorului.

Rezultatele calculului privind solicitările arcurilor de distribuție, cu considerarea suprasolicitărilor dinamice elaborate pentru aceleași motoare, constituie o confirmare în plus a avantajelor oferite de legile optimizate.

În continuare se prezintă programele de calcul, elaborate pentru rezolvarea automată a algoritmilor stabilite în lucrare, privind calculul legii de mișcare și sinteza camei, cinematica mecanismului de distribuție, calculul cinetostatic.

1 - „IMTAB”, efectuează calculul parametrilor legii de mișcare și ai coordonatelor x și y ale profilului camei;

2 - „CININ” determină parametri cinematici ai punctelor caracteristice ale mecanismului, când se cunoaște legea de mișcare a punctului caracteristic al tchetului;

3 - „STATAV” calculează reacțiunile dinamice cu frecare și starea de tensiune din elementele mecanismului de distribuție;

4 - „ICI” se utilizează pentru determinarea parametrilor cinematici ai tchetului în cazul unor soluții existente, când se cunoaște profilul camei și dimensiunile mecanismului camă-tchet;

Capitolul se încheie printr-o analiză a modului de valorificare a rezultatelor obținute în teză.

Cap. 7 Concluzii. În încheierea lucrării sînt formulate principalele concluzii, cu caracter teoretic și aplicativ, privind

conținutul cercetării și posibilitatea utilizării lui practice.

X

X X

În cadrul studiilor teoretice, cercetărilor aplicative și determinărilor experimentale cuprinse în teză, autorul aduce următoarele contribuții:

a. Contribuții teoretice

- a.1 Analiza modelului matematic al mecanismului de distribuție și evaluarea soluțiilor obținute pe baza lui a permis stabilirea condițiilor de optimizare prin prescrierea legii de mișcare la nivelul tachtului;
- a.2 Studiul legii de tip Kurs și elaborarea algoritmilor pentru utilizarea acesteia la optimizarea mecanismului de distribuție. Perfecționarea acestei legi prin utilizarea unei expresii originale pe secțiunea I, a condus la majorarea timpului-secțiune, în condițiile menținerii unui profil convex al camii;
- a.3 Elaborarea relației analitice pentru calculul gabariturii camelor cu tacht oscilant;
- a.4 Elaborarea algoritmilor pentru calculul cinematic și cinetostatic al mecanismului camă-supapă;
- a.5 Stabilirea expresiilor coordonatelor profilelor de came, din compoziția principalelor tipuri de mecanisme camă-tacht ale distribuțiilor motoarelor cu ardere internă;
- a.6 Analiza dependenței dintre tipul mecanismului camă-tacht, profilul camii și legea de mișcare, cu observații importante pentru distribuțiile motoarelor policilindrice cu două linii;
- a.7 Studiul posibilităților de majorare a secțiunii de curgere a supapei prin majorarea produsului μV și al ridicării supapei.

b. Contribuții experimentale

- b.1 Metodica cercetărilor. S-a elaborat o metodică experimentală

100516

100516

complexă care permite evaluarea performanțelor reale ale soluțiilor teoretice propuse. Pe baza spectrului de frecvențe al sumoului au putut fi identificate sursele principale ale diferențelor constatate între legea de mișcare teoretică și legile de mișcare ale tachetului și supapei;

b.2 Instalații experimentale. S-au proiectat și realizat două standuri pentru încercări statice și dinamice ale mecanismelor de distribuție. Pentru realizarea determinărilor ele au fost echipate cu următoarele dispozitive originale:

- dispozitivul pentru măsurarea constantei elastice a mecanismului de distribuție;
- dispozitivul cu elasticitate reglabilă, pentru modelarea mecanică a mecanismului de distribuție;
- dispozitivul pentru studiul mișcării tachetului;
- traluctorul inductiv de viteză;
- came optimizate și arbori cu came amovibile pentru încercări pe monocilindru.

c. Contribuții aplicative

- c.1 Algoritme de calcul elaborate într-o formă accesibilă utilizării în proiectare;
- c.2 Completări la calculul regimului dinamic și al suprasolicităților dinamice ale arcurilor de distribuție;
- c.3 Studiul comparativ al influenței legilor de mișcare asupra gazo-dinamicii motorului, prin analiza variației produsului secțiunii de trecere controlate de supapă A_g și unghiului secțiune US, în funcție de unghiul de rotație al camei;
- c.4 Aplicarea procedurii de optimizare asupra distribuției motoarelor M-103 și M104. Primele încercări, la cald, pe monocilindrul M104, confirmă bunele calități ale camei optimizate.
- c.5 Utilizarea calculatorului pentru rezolvarea tuturor calculelor

Algoritmii și algoritmele diferitelor calcule pot fi asociate

YIMISOARA
BIBLIOTECA CENTRALA

349608

106c

cu ușurință în vederea rezolvării unor sarcini de diferite complexități; programele de calcul au fost rezolvate pe calculatorul PAM 6-256 din dotarea Institutului Politehnic "Traian Vuia" Timișoara și pot fi catalogate în bibliotecile de programe ale centrilor de calcul.

Procedeu de optimizare preconizat, constind în principal din proiectarea camelor de distribuție pe baza unor legi de mișcare optimizate pe considerente gazodinamice și dinamice, reprezintă o soluție sigură și economică, aplicabilă atât pentru perfecționarea motoarelor aflate în fabricație, cât și pentru realizarea noilor familii de motoare românești.

1. STUDIU MONOGRAFIC ASUPRA STADIULUI ACTUAL AL CERCETĂRII MECANISMULUI DE DISTRIBUȚIE AL MOTOARELOR CU ARDERE INTERNĂ

1.1. Generalități

Mecanismele de distribuție ale motoarelor cu ardere internă în patru timpi comandă mișcarea supapelor în scopul realizării secțiunilor necesare efectuării schimbului de încălzire.

Legile de mișcare ale supapelor, ca organe de control ale secțiunilor de curgere, trebuie să satisfacă condițiile optime ale proceselor de admisiune și evacuare. De acest considerent trebuie să se bazeze sinteza profilului camii, ca element purtător al informației.

Se constată însă, în multe cazuri, că supapele execută alte mișcări decât cele prescrise de camile de comandă. Este vorba de întrepreri în lanțul cinematic camii-supapă, urmate de efecte nedorite în comportarea motorului. Consecința directă a acestei comportări este dereglarea procesului de schimb de încălzire.

Rezultă astfel că studiul legii de mișcare a supapei și analiza influenței sale asupra funcționării distribuției constituie o componentă importantă a optimizării distribuției motoarelor cu ardere internă, rapide, în patru timpi, a căror rezolvare creează premise favorabile și altor cercetări.

1.2. Principalele lucrări analizate

Fenomenul de abatere a legii de mișcare a supapei de la legea impusă de camii, este remarcat în numeroase lucrări referitoare la comportarea mecanismului de distribuție [1, 29, 34, 37, 44, 45, 48]. De aceea preocupările cercetătorilor s-au concentrat spre determinarea corelațiilor ce se impun pentru realizarea condițiilor prescrise. Încă în 1924 Ljungvald [84] remarcă referindu-se la complexitatea aspectelor ce pot apărea aici, „dar pentru aproape toate cazurile se pot stabili datele necesare constructorului pe cale analitică, ast-

fel încât se poate părăsi calea tatonării, fără a face încercări pentru fiecare casă, ceea ce necesită mult timp aceste procedee se folosesc prea puțin în practică. Constructorul își alege forma camii pe baza unor deducții simple sau pe baza unor tipuri care au dat rezultatele scontate..." După decenii fără rezultate deosebite, ca urmare a problemelor remarcate în funcționarea motorelor la turații ridicate, în 1948, W. A. Dudley [19] constată importanța elasticității lanțului cinematic camă-supapă în funcționarea defectuoasă a mecanismului. El propune proiectarea profilului camii pe baza unei ecuații de mișcare de formă polinomială, cu considerarea proprietăților elastice ale mecanismului, introducând astfel metoda poliină. J. Feldinger [21] atribuie întreaga răspundere pentru comportarea dinamică a mecanismului de distribuție numai arcului supapei, motiv pentru care recomandă analiza armonică a legii de mișcare a supapei, ca sursă de oscilații și eliminarea armonicilor de rezonanță cu arcurile de distribuție.

Problemele oscilațiilor (vibrațiilor) mecanismelor cu came au constituit obiectul a numeroase cercetări [9, 27, 28, 33, 34, 36, 42, 49, 70, 94]. D. Kurs [49], constatând limitele utilizării unei legi de mișcare bazate pe o singură funcție, studiază legi combinate, care să asigure atenuarea vibrațiilor concomitent cu reducerea valorilor extreme ale vitezei și accelerației.

Preocupări pentru optimizarea legilor de mișcare au și alți cercetători [24, 69]. G. Nerge [68] propune optimizarea legilor de mișcare în funcție de accelerație, având și preocupări pentru sistematizarea parametrilor lor în raport cu cerințele diferitelor tipuri de mecanisme cu came.

Deosebit de importantă pentru cunoașterea comportării distribuției este analiza cinematică [26, 29, 44, 45, 106], alături de care se fac aprecieri și asupra efectului formei mecanismului în

evoluția parametrilor săi cinematici. Lucrarea [106] elaborată de J. Ziska concretizează aceste aspecte asupra distribuției cu comandă superioară.

O lucrare deosebit de valoroasă prin aplicațiile ei asupra mecanismului de distribuție, a apărut recent în redactarea lui D. Tessar și G.K. Matthew [96], autorii abordând probleme de sinteză dinamică, analiză și proiectarea mecanismelor cu came.

O mare importanță în aplicarea practică a rezultatelor cercetării o are elaborarea unor algoritmi de calcul programabile pe calculator; se remarcă în acest sens preocupările secției de construcții mecanice a Centrului de Cercetări Științifice și Tehnice - Bruxelles [107].

În țara noastră, contribuții deosebite la studiul dinamicii mecanismelor cu came au adus lucrările elaborate sub conducerea prof. dr. ing. Chr. Molecuți [73, 74, 75, 76, 77, 78]. Ele studiază legile generale ale mecanismelor cu came și propun soluții de optimizare.

Toate aceste preocupări necesită o corelare cu procesele gazodinamice din motor. În acest caz, un loc important îl ocupă cercetările asupra canalelor de admisiune și evacuare și studiul mișcării aerului în cilindru [83, 94, 97, 102, 103]. Pentru constatarea calității relative a diferitelor canale sînt suficiente cercetări de curgere staționare la o anumită diferență de presiune, indicii măsurați fiind $\mu \bar{v}$ și n_p/n în funcție de h/d .

Îmbunătățirea umplerii și formarea corespunzătoare a anesteoului în motoarele Diesel rapide impun creșterea simultană a indicilor $\mu \bar{v}$ și n_p/n [97, 108] spre limitele superioare implicînd majorarea curselor h a supapei.

Creșterea lui h peste o anumită limită nu aduce nici o îmbunătățire a lui $\mu \bar{v}$ din cauza desprinderilor, de pe profilul secțiunii de curgere, a fluidului de lucru și de asemenea generează dificultăți în

privința regimului dinamic de funcționare.

Corelarea condițiilor optime ale regimurilor dinamice și gestodinamice necesită un studiu complex, teoretic și experimental.

1.3. Concluzii asupra principalelor lucrări analizate

Unul dintre cele mai problematice aspecte din funcționarea mecanismului de distribuție este nerespectarea de către supapă a legii de mișcare comandate de camă. El are loc prin desprinderea de camă a elementului urmăritor (tachet, pârghie oscilantă sau supapă, în funcție de tipul mecanismului), sub forma unor salturi.

Forța arcurilor de distribuție, în mod normal, ar trebui să împiedice aceste salturi. Apariția lor se explică prin faptul că în calculele uzuale nu sînt cuprinse toate sursele de abateri de la legea teoretică, acestea fiind în principal următoarele:

1. Abateri de execuție ale camei;
2. Uzura profilului în timpul funcționării motorului;
3. Mecanismul rezistent neuniform al mecanismelor de distribuție și mișcarea neuniformă a arborelui cotit, care determină o rotație neuniformă a arborelui de distribuție, rezultînd o modificare a curbei accelerației;
4. Influența mecanismului unei supape asupra celorlalte supape;
5. Frecvențele de oscilație proprii diferite, ale arcurilor supapelor;
6. Elasticitatea proprie a mecanismului de distribuție, care îi conferă acestuia oscilații proprii ce perturbă puternic mișcarea teoretică a supapei.

Cercetările [17,65] au arătat că influența surselor de abateri descrise la 1...5 este relativ mică în comparație cu cea de la punctul 6. Este deci indicat ca la cercetarea mecanismului de distribuție să se studieze în primul rînd: posibilitatea controlului supapei ținînd cont de influența elasticității și numai deocî

astfel nu se obține rezultatul dorit, să se cerceteze și celelalte cauze ale abaterilor.

Camele folosite pentru comanda supapelor motoarelor cu ardere internă trebuie să asigure pe lângă proprietăți de funcționare foarte bune, un timp-sectiune maxim în raport cu timpul ce stau la dispoziția procesului de schimb de încălzire.

Propunerile formulate de lucrările analizate converg spre a rezolva aceste aspecte prin utilizarea unor legi de mișcare fără șoc, pentru supapă.

Pentru satisfacerea procesului de funcționare al motorului cu ardere internă în patru timpi, aceste legi trebuie să asigure o anumită alură a variației parametrilor cinematici.

În figura 1.1 sînt prezentate cîteva din legile cunoscute în literatura de specialitate [17].

Pentru comparație se folosește curba accelerației unei legi parabolice (curbă întreruptă). Introducerea a două curbe caracteristice de arc permite aprecierea gradului de utilizare a forței arcului, a presiunii de contact și a limitei maxime a turației.

Astfel Besthorn la drept curbă de ridicare o sinusoidă înclinată; la sfîrșitul cursei accelerația devine nulă. După cum se poate observa, contactul se realizează numai cu un șoc foarte puternic. Acest lucru implică puteri mari de acționare, strivirea suprafețelor, în special la virful camei și pierderi prin frecare.

La Vogel curba accelerației este compusă din secțiuni trapezoidale la Schläpke-Schröder, din două arce de parabolă, iar la Jante din arce de parabolă de gradul 2 și 4. În aceste trei cazuri, pentru caracteristica arcului $\frac{F}{P} = 0,2$ nu mai este posibilă o mîrire a turației, deoarece caracteristica arcului și forța de inerție sînt tangente. Presiunea de contact pe virful camei depășește valoarea limită admisibilă.

După Duilley-Stoddart este posibilă doar o creștere limitată a turației, pe când după Kurz, pentru aceeași caracteristică a arcului este posibilă cea mai mare creștere a turației. Această lege utilizează pentru ridicare o curbă compusă din trei secțiuni: sinusoidă superioară, de lungimea unei semiperioade, sinusoidă superioară de lungimea unui sfert de perioadă și un polinom de gradul patru.

În țara noastră, au fost elaborate lucrări de cercetare deosebit de valoroase privind legile de mișcare fără șoc [75]. Pentru analiză, parametrii lor cinematici se exprimă prin variabilele adimensionale λ, Y .

În raport cu abscisa adimensională $\lambda = 0,5$, legile de mișcare sînt împărțite în legi simetrice și asimetrice, figura 1.2. În general fiecare ramură a diagramei legii de mișcare este formată din două sectoare, unul de accelerare și unul de decelerare, fiecare sector putînd fi profilat după funcția convenabilă. Uneori între cele două sectoare se poate găsi un al treilea, cu mișcare uniformă. Făcînd analiza condițiilor de capăt și pe interval se constată că pentru reducerea forțelor de inerție și a șocurilor, trebuie ca în punctele de trecere să se realizeze condiții de continuitate cît mai bune, ceea ce presupune continuitatea deplasării și a unui număr consecutiv de derivate imediat superioare.

Deci

$$\begin{aligned}x = 0: & y(0) = y'(0) = \dots \dots \dots y^{(p)}(0) = 0 \\x = 1: & y(1) = 1; y'(1) = y^{(2)}(1) = \dots \dots y^{(p)}(1) = 0\end{aligned}\tag{1.1}$$

De asemenea, se pot impune limite și pentru valorile parametrilor cinematici în interiorul intervalului $0 - 1$:

$$y_{\min}^{(n)} \leq y^{(n)} \leq y_{\max}^{(n)}\tag{1.2}$$

corespunzător, rezultă coeficientul de planitudine:

$$\eta = \int_0^1 y(x) dx \quad (1.3)$$

și timpul secțiune:

$$\Sigma = \int_0^t s dt = \int_0^1 y dx \quad (1.4)$$

în care

$$t_0 = s_0 \cdot t_0; \quad s_0 = \frac{s}{y(x)}; \quad t_0 = \frac{t}{x} \quad (1.5)$$

Legile simetrice au valoarea coeficientului de planitudine

$\eta = 0,5$. Viteza este maximă în centrul intervalului ($x = 0,5$) și crește odată cu ordinal recordării, p . În același fel crește și accelerația maximă, apropiindu-se de centrul intervalului.

Reducerea acestor valori se poate realiza prin utilizarea legilor de mișcare nelineare, caracterizate de coeficientul de asimetrie k care leagă cele două porțiuni $y_1(x)$ și $y_2(x)$, ce alcătuiesc intervalul de ridicare, prin relația:

$$ky_1(x) + y_2(1 - kx) = 1 \quad (1.6)$$

și

$$y_1^{(n)}(x) + (-1)^n k^{n-1} y_2^{(n)}(1 - kx) = 0 \quad (1.7)$$

Folosind aceste legi se pot obține valori $\eta > 0,5$.

În cadrul rezolvirii condițiilor simultane de asigurare a timpului-secțiune și de fabricație a regimului dinamic de funcționare al mecanismului de distribuție, apar aspecte contradictorii.

O valoare mare a timpului secțiune se obține prin flancuri abrupte ale camii ceea ce coincide cu creșterea accelerațiilor. Corespunzător cresc și forțele arcurilor de distribuție, rezultând astfel valori mari ale presiunii de contact.

În general, complicațiile regimului dinamic se consideră rezolvute prin utilizarea unor legi de mișcare fără șoc, caracterizate prin

recordări de ordin superior și valori limitate ale valorilor extreme ale vitezei și accelerației.

În ceea ce privește cercetarea autorului, ea s-a dirijat spre analiza tuturor aspectelor amintite, în scopul elaborării unei metodologii eficiente pentru studiul și proiectarea mecanismelor de distribuție ale motoarelor cu ardere internă, acesta fiind un domeniu necoperit în literatura de specialitate și s-a concretizat în lucrări de cercetare elaborate individual și în colaborare [11, 47, 56...66].

Influența soluțiilor analitice și a rezultatelor experimentale, obținute de autor pe modele dinamice, asupra secțiunii de curgere controlate de supape, s-a studiat pe baza determinărilor efectuate pe standul staționar în Laboratorul de motoare termice, în cadrul unei teze de doctorat [103] și al cercetărilor în vederea optimizării gazodinamicii chiulaselor cu patru supape, realizate de laboratorul 25 - filiala I.N.T.C. Timișoara.

Lucrarea de față, evaluând importanța factorilor analizați în lucrările menționate asupra funcționării distribuției, își propune următoarele sarcini teoretice și aplicative:

- Studiul mecanismului de distribuție pe baza modelului său matematic și analiza legii de mișcare, în vederea corelării aspectelor de optimizare specifice motorului;
- Elaborarea unor soluții de sinteză și analiză cinematică, aplicabile în proiectare;
- Studiul influenței legii de mișcare asupra solicitărilor elementelor componente și gazodinamicii motorului;
- Realizarea instalațiilor experimentale în vederea cercetării mecanismelor de distribuție și verificării soluțiilor proiectate;
- Aplicarea calculului automat pentru rezolvarea calculelor de optimizare;
- Realizarea și experimentarea soluțiilor proiectate.

2. MODELUL DINAMIC-MATEMATIC AL MECANISMULUI DE

DISTRIBUȚIE

2.1. Generalități

Funcționarea mecanismelor de distribuție ale m.a.i. este cíclică și din punct de vedere cinematic este determinată de parametrii motoarelor pe care le echipază. Ciclul de funcționare se compune din faze active și faze de staționare. Pentru faza activă, legea de mișcare corespunde unei sintese bazate pe prescrierea valorilor deplasării supapei.

Din punct de vedere funcțional, între pozițiile extreme s-ar putea utiliza orice lege de mișcare, cu condiția să realizeze un timp-secțiune cât mai mare. Sub aspect dinamic, pentru reducerea forțelor de inerție și a șocurilor care apar în mecanismul de distribuție, în special la extremitățile fazelor active, este necesar să se realizeze o rucordare cât mai bună prin respectarea continuității deplasării y , vitezei \dot{y} și accelerației \ddot{y} .

La viteze ridicate, elasticitatea elementelor mecanismului de distribuție se manifestă prin modificarea parametrilor cinematici, reducându-i sau amplificându-i, ceea ce poate conduce la valori necorespunzătoare ale forțelor de inerție și la șocuri.

Elasticitatea mecanismului de distribuție își exercită influența asupra cursei supapei în felul următor: când flancul camii începe să acționeze tchetul sau culbutorul (în funcție de tipul distribuției) și să-l ridice, supapa nu îl urmează simultan, din cauze inerțiale elementelor intermediare; acestea rămân deci, în urmă și în consecință în ele apare o deformare elastică.

Acest aspect poate fi imaginat ea și când între camă și supapă s-ar interpune un arc cu rigiditate mare. Când forța elastică crește suficient, supapa este săltată înainte și stinge cursa impusă de camă. În această stare ea va avea o viteză cu mult superioară

celel prevăzute teoretic. În perioada următoare, întregul sistem este frânat în areul supapei.

Acest proces generează vibrații forțate. Ele se studiază după regulile teoriei oscilațiilor, aplicate unui model dinamic echivalent cu cel original.

2.2. Considerații asupra elaborării modelului matematic și utilizării acestuia

Obiectul principal al acestui studiu îl constituie stabilirea interdependenței dintre legea de mișcare comandată, semnal, și legea de mișcare impusă, răspuns, adică a ecuației de mișcare a sistemului; determinarea expresiei celei mai adecvate a semnalului, deci sinteza lui optimală, constituie astfel o problemă importantă pentru realizarea mișcării dorite.

La fiecare parte a distribuției, i se substituie o masă și un arc, fig. 2.1, rezolvarea problemei dinamice impune un volum mare de muncă. Se dă indicații asupra mișcării fiecărui element al distribuției.

Mecanismul de distribuție al m.a.i. poate fi reprezentat cu bună aproximație printr-un model dinamic cu un singur grad de libertate, figura 2.2. Ecuația de mișcare se obține din condiția de echilibru a forțelor.

La alcătuirea modelului dinamic se are în vedere următorul sistem de ipoteze:

- masa elementelor lanțului cinematic ce alcătuiesc mecanismul de distribuție se înlocuiește printr-o singură masă echivalentă, redusă la supapă;

- se consideră deplasarea tuturor elementelor mobile unidirecționale;

- se consideră numai elasticitatea sistemului în direcția deplasării;

- se consideră numai frecarea externă din cuplele de transmisie, iar forța de frecare proporțională cu viteza.

Notăm:

ix_0	- deplasarea comandată de camă, redusă în axa supapei	cm
x	- deplasarea supapei	cm
m	- masa redusă la supapă	kg
$F_1(t)$	- forța elastică a lanțului cinematic tchet-supapă	N
F_a	- forța elastică a arcului	N
F_0	- forța de pretensionare a arcurilor	N
F_f	- forța de frecare	N
F_g	- forța gazelor	N
F_G	- greutatea echivalentă	N

ecuația diferențială a mișcării masei „m” este:

$$m \frac{d^2x}{dt^2} = F_1(t) - F_a - F_f - F_g - F_G$$

în care înlocuind expresiile forțelor:

$$F_1(t) = k(ix_0 - x); \quad F_a = F_0 + k_a x; \quad F_f = cx \quad (2.1)$$

se obține relația:

$$m\ddot{x} + cx + F_0 + k_a x + kx + F_g + F_G = k \cdot i \cdot x_0 \quad (2.2)$$

care în mod obișnuit se utilizează sub forma simplificată:

$$m\ddot{x} + kx = kix_0 \quad (2.3)$$

pe baza următoarelor considerații:

- forța de frecare are valori reduse din cauza coeficientului de frecare, cuprins între 0,03 și 0,001;

- forța arcurilor este mică în raport cu forța elastică a sistemului, întrucât k_a este cuprinsă între $\frac{k}{15}$ și $\frac{k}{30}$, iar $F_0 \approx 0,25 \cdot F_{a0}$

F_{a0}

- forța gazelor are valori importante numai într-o fază scurtă, după deschiderea supapei de evacuare;

- Forța gravitațională are, în general, o valoare neglijabilă;
Soluția generală a ecuației (2.3) este de forma:

$$x = x_0 + x_f \quad (2.4)$$

x_0 , soluția generală a ecuației omogene fiind de forma:

$$x_0 = C_1 \sin \omega_n t + C_2 \cos \omega_n t = A \sin(\omega_n t + \varphi) \quad (2.5)$$

se presupune, în cazul general, pentru soluția particulară x_f , numită vibrație forțată, o formă similară, cu coeficienți variabili în funcție de timp. Se obține astfel expresia legii de mișcare a sistemului:

$$x = A_0 \sin(\omega_n t + \varphi) + \frac{1}{m \omega_n} \int_0^t F(\tau) \sin \omega_n (t - \tau) d\tau \quad (2.6)$$

În care A_0 și φ sînt constante de integrare, ce se determină din condițiile inițiale, $\omega_n = \sqrt{\frac{k}{m}}$, pulsația proprie, iar τ variabila în raport cu care se integrează.

În mod obișnuit, ecuația (2.3) se întâlnește sub forma:

$$\ddot{x} + \omega_n^2 x = \omega_n^2 i x_0 \quad (2.7)$$

aceasta constituind modelul matematic obținut pe baza modelării mecanicului printr-un sistem oscilant cu o singură masă.

Determinarea funcției răspuns, x , constituie o problemă de analiză și presupune cunoașterea funcției semnal x_0 .

Explicînd expresia (2.7) în raport cu x_0 , se poate rezolva problema inversă, de sinteză, conform ecuației (2.5)

$$x_0 = \left(x + \frac{1}{\omega_n^2} \ddot{x} \right) \frac{1}{i} \quad (2.8)$$

În mod obișnuit, mișcarea impusă este formulată ca o funcție de unghiul de rotație al camii, astfel că ecuația (2.8) poate fi scrisă și sub forma:

$$x_0 = \left(x + \frac{1}{\omega_n^2} \omega^2 \frac{d^2 \varphi}{d\varphi^2} \right) \frac{1}{i} \quad (2.9)$$

din care se observă că funcția semnal, utilizată pentru profilarea camii, mai depinde, în afară de x , și de proprietățile elastice ale

sistemului, prin ω_n , precum și de viteză unghiulară de rotație a camii, ω , ceea ce înseamnă că legea de mișcare, preconizată pentru supapă, se poate asigura numai la turația de proiectare.

Ecuația (2.8) pune în evidență analitic, condiția ca, în scopul obținerii unei funcții continue de profilare a camii, funcția corespunzătoare legii impuse x și cel puțin prima și două derivate, să fie continue.

Legile obținute din ecuația (2.8), alegând funcția x de formă polinomială, se numesc legi polidine, adică legi polinomiale, considerând și proprietățile dinamice.

În cazul utilizării legilor polinomiale de forma:

$$x = \sum_{n=1}^{\infty} \frac{1}{n!} a_n t^n \quad (2.10)$$

din ecuația (2.8) se obține:

$$x_0 = \sum_{n=1}^{\infty} \left(a_n + \frac{1}{\omega^2} a_n \frac{n(n-1)}{t^2} \right) \frac{1}{n!} t^n \quad (2.11)$$

Acă legea polidină este utilizată în alte condiții decât cele pentru care s-a proiectat, spre exemplu la o viteză diferită de cea considerată la calcularea ei, este posibilă apariția vibrațiilor.

Să completăm modelul (2.7) cu forța elastică a arcurilor de distribuție și cu forța gazelor F_g , care corespunde presiunii din cilindrul motorului, în momentul deschiderii supapei de evacuare, acțiunea ei manifestându-se sub formă de impulsuri.

În ipoteza absenței frecării se poate deci scrie, în locul modelului (2.7), a. presia:

$$m\ddot{x} + \omega^2 x + (k + k_g)x = ik(x_0 - x_{co}) - F_g - F_0 \quad (2.12)$$

în care x_{co} - deplasarea corespunzătoare prelucrării jocului.

Se notează cu $x(\varphi)$ legea de mișcare optată a supapei și cu ω_0 , viteza de rotație a camii la regimul de calcul. În acest caz se obține pentru x_0 expresia:

$$x_0 = \frac{1}{k} \left[m \dot{x}^2 \omega_0^2 + (1 + \frac{k}{k_0})x + \frac{F_0 + F}{k} \right] + x_{00} \quad (2.13)$$

care introdusă în (2.12) conduce la expresia:

$$m \dot{x}^2 \omega^2 + (k + k_0)x = m \dot{x}^2 \omega_0^2 + (k + k_0)x \quad (2.14)$$

Se observă că la regimul de calcul ($\omega = \omega_0$) legea de mișcare dată satisface ecuația (2.14), transformând-o în identitate. Astfel dacă $x(\varphi)$ satisface condițiile inițiale de mișcare ale supapei, $x(\varphi_0) = \dot{x}(\varphi_0) = 0$, adică este nulă în momentul începerii mișcării, atunci cu precizia condiționată de ipotezele adoptate, supape va urmări la regimul de calcul, legea adoptată, adică:

$$x(\varphi) \equiv X(\varphi) \quad (2.15)$$

Pentru alte valori ale lui ω_0 , $x(\varphi)$ nu mai reprezintă soluția ecuației de mișcare și legea preconizată se va denatura, înlocuind apariția de oscilații ale mecanismului de comandă.

În realitate, neglijarea frecării și a erorilor de execuție determină apariția oscilațiilor și la regimul de calcul, dar de slabă intensitate.

Referindu-se la ecuația (2.9) se poate face observația importantă că mecanismele cu camă, proiectate să funcționeze la o viteză „ ω ” mult inferioară pulsației proprii „ ω_n ” asigură un transfer mai precis al informației de la camă la elementul de ieșire.

Din ecuație rezultă că, în condițiile amintite, termenul al doilea al sumei din membrul drept își reduce substanțial valoarea.

Pentru un „ ω ” dat, aceste condiții se asigură prin creșterea lui ω_n , realizabilă prin reducerea masei sistemului și creșterea rigidității lui, conducând conform celor de mai sus, la reducerea diferențelor între legea comandată de camă x_0 și legea de mișcare a supapei, x . Practic aceasta conduce la posibilitatea realizării camelor polidine, optimizând fie legea de mișcare a supapei, fie legea

de mișcare a tachetului, atunci când mecanismul proiectat îndeplinește condițiile de mai sus.

În cazul mișcării neuniforme, $\omega \neq ct$, avem:

$$\varphi = f(t); \quad \omega = \frac{d\varphi}{dt} = f'(t); \quad \varepsilon = \frac{d^2\varphi}{dt^2} = f''(t) \quad (2.16)$$

mișcarea generată de cană este

$$\begin{aligned} x &= r(\varphi) & a) \\ \dot{x} &= \omega r'(\varphi) & b) \\ \ddot{x} &= \omega^2 r''(\varphi) + \varepsilon r'(\varphi) & c) \end{aligned} \quad (2.17)$$

Ecuația (2.17 b) prezintă următorul aspect: pentru două din punctele interesante ale canei și anume punctul corespunzător începutului mișcării și cel corespunzător cursei maxime, avem:

$$\dot{x} = 0 \quad \text{deoarece} \quad r'(0) = r'(\varphi) = 0 \quad (2.18)$$

Pentru aceste două puncte, membrul doi al ecuației (2.17 b) este nul, deci în aceste puncte, interesante pentru proiectare, dispăre influența regimului transitoriu.

Accelerația se poate calcula ca pentru $\omega = ct$, ecuația (2.17 c), cu condiția folosirii vitezei unghiulare momentane. Acă se folosește ω_{med} , abaterea rezultatului depinde de gradul de neuniformitate al vitezei unghiulare.

Pe alte porțiuni ale profilului, influența neuniformității asupra accelerațiilor poate fi considerabilă, cu atât mai mult cu cât sursele ei sînt foarte diverse: legea de mișcare a arborelui cotit, presiunea gazelor, abaterile profilului, oscilațiile proprii ale arborelui cu cana, jocuri în angrenajul de distribuție.

Un lucru ce se recomandă prin calitățile ei pentru mișcarea supapei este legea compusă, de tip cură. Se preconizează realizarea unui flanc compus dintr-o secțiune inițială, destinată preluării jocului și flancul principal compus din trei secțiuni. Secțiunile se delimitază prin unghiurile de rotație ale canei, notate $\psi_0, \psi_1, \psi_2, \psi_3, \dots, \psi_n$

filul diagramei legii de mișcare se completează cu staționarea inferioară și cu staționarea superioară, aceasta din urmă putând să și lipsească.

Se realizează astfel, pe secțiuni, următoarele legi, fig. 2.3:

secțiunea inițială: lege cosinusoidală de lungimea unei semiperioade.

Flancul principal:

- secțiunea 1: sinoidă superioară de lungimea unei semiperioade;
- secțiunea 2: sinoidă superioară de lungimea unui sfert de perioadă;
- secțiunea 3: polinom de gradul patru.

Utilizarea efectivă a acestei legi necesită cunoașterea corelațiilor dintre condițiile impuse și forma ei, ceea ce a impus elaborarea, în cadrul acestei lucrări, a analizei ce urmează.

Porțiunea antecamăi corespunde unghiului ψ_0 și la capătul ei, deplasarea este $s_{00} = h_0$. Ca urmare, legea de variație a deplasării are forma:

$$s_0 = h_0 \left(1 - \cos \pi \frac{\varphi}{2\psi_0} \right) \quad (2.20)$$

Cașa propriu-zisă, așa cum s-a arătat, se realizează din trei secțiuni.

Secțiunea 1, corespunzătoare unghiului ψ_1 se profilează astfel ca să asigure următoarea lege a deplasării:

$$s_1 = h \left(\frac{\varphi}{2\psi_1} - \frac{h}{2\pi} \sin 2\pi \frac{\varphi}{2\psi_1} \right) \quad (2.21)$$

în care:

$$h = 2(s_{10} - h_0) \quad (2.22)$$

și notînd

$$\frac{s_{10} - s_0}{\varphi_1} = c_{11} \quad \text{și} \quad \frac{s_{10} - s_0}{\pi} = c_{12} \quad (2.23)$$

relația (2.21) devine:

$$s_1 = s_0 + c_{11} \varphi_1 - c_{12} \sin \pi \frac{\varphi_1}{\psi_1} \quad (2.24)$$

Secțiunea 2 se desfășoară pe un unghi ψ_2 , urmînd condiția $\omega_2'' < 0$, legea de deplasare are pe această porțiune forma:

$$s_2 = s_{10} + c_{21} \varphi_2 + c_{22} \sin \pi \frac{\varphi_2}{2\psi_2} \quad (2.25)$$

în care

$$c_{21} = \frac{s_{20} - s_{10}}{\psi_2} \quad \text{și} \quad c_{22} = \frac{2(s_{20} - s_{10})}{2} \quad (2.26)$$

Secțiunea 3 se desfășoară pe un unghi ψ_3 și este profilată pornind de la următoarea lege generală:

$$s = c_1(\psi_3 - \varphi)^4 + c_2(\psi_3 - \varphi)^3 + c_3(\psi_3 - \varphi)^2 + c_4(\psi_3 - \varphi) + c_5 \quad (2.27)$$

care se particularizează astfel ca să asigure condițiile de capăt necesare bunei funcționări a mecanismului.

Se impun condițiile ca la capătul cursei viteza și supraaccelerația să fie nule, iar accelerația negativă, ceea ce duce la următoarele:

$$s' = \frac{ds}{d\varphi} = -4c_1(\psi_3 - \varphi)^3 - 3c_2(\psi_3 - \varphi)^2 - 2c_3(\psi_3 - \varphi) + c_4 \quad (2.28)$$

$$\left. \frac{ds'}{d\varphi} \right|_{\varphi=\psi_3} = 0 \Rightarrow c_4 = 0 \quad (2.29)$$

$$s'' = \frac{d^2s}{d\varphi^2} = 12c_1(\psi_3 - \varphi)^2 + 6c_2(\psi_3 - \varphi) + 2c_3 \quad (2.30)$$

$$\left. \frac{d^2s}{d\varphi^2} \right|_{\varphi=\psi_3} < 0 \Rightarrow c_3 < 0 \quad (2.31)$$

$$s''' = \frac{d^3s}{d\varphi^3} = -24c_1(\psi_3 - \varphi) - 6c_2 \quad (2.32)$$

UNIVERSITATEA DE ȘTIINȚE
TEHNOLOGICE
BUCUREȘTI

$$s''''(\varphi = \varphi_3) = 0 \Rightarrow c_2 = 0 \quad (2.33)$$

Ca urmare, dispar termenii de gradul 3 și 1 ai polinomului, iar coeficientul termenului de gradul 2 este negativ, rezultând următoarea expresie a legii deplasării pe această porțiune:

$$s_3 = s_{20} + c_{31}(\varphi_3 - \varphi_3)^4 - c_{32}(\varphi_3 - \varphi_3)^2 + c_{33} \quad (2.34)$$

Coeficienții „C” s-au notat cu doi indici, primul reprezentând secțiunea, iar al doilea diferențind coeficienții din aceeași secțiune.

Indicele c marchează vârful de sfârșit de interval.

Se obțin astfel următoarele expresii ale legilor de mișcare pe diversele porțiuni ale camii, [49]:

Antecama:

$$\text{cursa: } s_0 = h_0 \left(1 - \cos \frac{\pi}{2\varphi_0} \varphi_0\right) \quad (2.35)$$

$$\text{viteza: } s'_0 = \frac{v_0}{\omega} = h_0 \frac{\pi}{2\varphi_0} \sin \frac{\pi}{2\varphi_0} \varphi_0 \quad (2.36)$$

accelerația:

$$s''_0 = \frac{a_0}{\omega^2} = h_0 \left(\frac{\pi}{2\varphi_0}\right)^2 \cos \frac{\pi}{2\varphi_0} \varphi_0 \quad (2.37)$$

Camă principală:

secțiunea 1.

$$\text{cursa: } s_1 = h_0 + c_{11} \varphi_1 - c_{12} \sin \frac{\pi}{\varphi_1} \varphi_1 \quad (2.38)$$

$$\text{viteza: } s'_1 = \frac{v_1}{\omega} = c_{11} - c_{12} \frac{\pi}{\varphi_1} \cos \frac{\pi}{\varphi_1} \varphi_1 \quad (2.39)$$

accelerația:

$$s''_1 = \frac{a_1}{\omega^2} = c_{12} \left(\frac{\pi}{\varphi_1}\right)^2 \sin \frac{\pi}{\varphi_1} \varphi_1 \quad (2.40)$$

secțiunea 2.

$$\text{cursa: } s_2 = s_{10} + c_{21} \varphi_2 + c_{22} \sin \frac{\pi}{2\varphi_2} \varphi_2 \quad (2.41)$$

vitosa: $s_2^i = \frac{v_2^i}{\omega} = c_{21} + c_{22} \frac{\pi}{2\omega_2} \cos \frac{\pi}{2\omega_2} \varphi_2$ (2.42)

accelerația:

$$s_2^a = \frac{a_2^i}{\omega^2} = -c_{22} \left(\frac{\pi}{2\omega_2} \right)^2 \sin \frac{\pi}{2\omega_2} \varphi_2$$
 (2.43)

secțiunea 3.

cursa: $s_3 = s_{20} + c_{31}(\mu_3 - \varphi_3)^4 - c_{32}(\mu_3 - \varphi_3)^2 + c_{33}$ (2.44)

vitosa: $s_3^i = \frac{v_3^i}{\omega} = -4c_{31}(\mu_3 - \varphi_3)^3 + 2c_{32}(\mu_3 - \varphi_3)$ (2.45)

accelerația:

$$s_3^a = \frac{a_3^i}{\omega^2} = 12c_{31}(\mu_3 - \varphi_3)^2 - 2c_{32}$$
 (2.46)

d_0 - înălțimea antecamei:

$$s_{1c} = d_0 + c_{11} \mu_1$$
 (2.47)

$$s_{2c} = s_{1c} + c_{21} \mu_2 + c_{22}$$
 (2.48)

$$d + d_0 = s_{2c} + c_{33}$$
 (2.49)

Constantele se calculează pe baza condițiilor de continuitate în porțiunile de trecere:

$$d + d_0 = s_{30}^i \quad s_{00}^i = s_{11}^i \quad s_{2c}^i = s_{31}^i$$
 (2.50)

$$s_{2c}^a = s_{31}^a \quad s_{1c}^a = s_{21}^a \quad s_{2c}^a = s_{31}^a$$

din relațiile (2.35...2.46) rezultă ecuațiile:

$$c_{11} \mu_1 + c_{21} \mu_2 + c_{22} + c_{33} = d$$

$$c_{31} \mu_3^4 - c_{32} \mu_3^2 + c_{33} = 0$$

$$c_{11} - c_{12} \frac{\pi}{\omega_1} = s_{00}^i$$

$$c_{11} + c_{12} \frac{\pi}{\omega_1} - c_{21} - c_{22} \frac{\pi}{2\omega_2} = 0$$
 (2.51)

$$c_{21} + 4c_{31} \mu_3^3 - 2c_{32} \mu_3 = 0$$

$$c_{22} \left(\frac{\pi}{2\psi_2} \right)^2 + 12 c_{31} \psi_3^2 - 20 c_{32} = 0$$

ale căror soluții sînt:

$$c_{11} = \frac{k_1 s_{oc}^2 + k_2 \psi_1}{2\lambda_1 + \lambda_2 \psi_1} \quad c_{32} = \frac{20 c_{11} - s_{oc}^2}{k_2} \quad (2.52)$$

$$c_{12} = (c_{11} - s_{oc}^2) \frac{\psi_1}{\pi} \quad c_{22} = c_{32} k_1$$

$$c_{21} = c_{32} k_3 \quad c_{33} = c_{32} k_2$$

$$c_{31} = c_{32} \frac{1-s}{6\psi_3^2}$$

Pentru simplificare s-au introdus factorii k_1, k_2, k_3 și care rezultă din relația:

$$k_1 = 6s \left(\frac{\psi_2}{\pi} \right)^2, \quad k_2 = \frac{5+s}{6} \psi_3^2, \quad k_3 = \frac{4+2s}{3} \psi_3$$

$$\lambda_1 = k_1 + k_2 + k_3 \psi_2, \quad \lambda_2 = k_3 + 4s \frac{\psi_2}{\pi}, \quad s = \frac{s_{oc}^2}{s_{30}^2} < 1$$

Pentru o variație convenabilă a accelerațiilor negative, și implicit o bună umplere, precum și pentru asigurarea concordanței cu forța arcurilor, se utilizează $\psi_2/\psi_3 = 0,1 \dots 0,15$, $s = \frac{5}{8}$, iar unghiurile ψ_1 și $(\psi_2 + \psi_3)$ se aleg într-un raport invers față de raportul accelerațiilor maxime pozitive și negative.

La consumarea jocului dintre tachet și supapă, acestea împreună cu masele aferente vor primi brusc viteza din punctul respectiv, apărînd astfel un șoc cărui îi corespunde forța:

$$F = v \sqrt{m \cdot k} \quad (2.53)$$

Utilitatea antecamei constă în faptul că asigură o accelerație mică în momentul consumării jocului, precum și reducerea vitezei în punctul de contact. Cursa antecamei trebuie să depășească jocul maxim astfel ca să se poată asigura un profil care să reducă viteza și accelerația în momentul contactului.

Intrucit la profilarea canalelor după această lege pot apare concavități, în special în porțiunea de profil corespunzătoare secțiunii I, aspect indesezirabil pentru tehnologia actuală, în cadrul prezentei lucrări s-a studiat o lege modificată de formă polinomială a deplasării pe această porțiune. În necesitatea asigurării continuității în capetele secțiunii pentru funcție și primele două derivate, rezultă pentru noua lege 6 condiții, care permit determinarea a 6 coeficienți, rezultând un polinom de gradul 5 de forma următoare:

$$s_1(\varphi) = A_0 + A_1 \frac{\varphi}{\vartheta_1} + A_2 \left(\frac{\varphi}{\vartheta_1}\right)^2 + A_3 \left(\frac{\varphi}{\vartheta_1}\right)^3 + A_4 \left(\frac{\varphi}{\vartheta_1}\right)^4 + A_5 \left(\frac{\varphi}{\vartheta_1}\right)^5 \quad (2.54)$$

Primele două derivate au expresiile:

$$s_1'(\varphi) = \frac{1}{\vartheta_1} [A_1 + 2A_2 \frac{\varphi}{\vartheta_1} + 3A_3 \left(\frac{\varphi}{\vartheta_1}\right)^2 + 4A_4 \left(\frac{\varphi}{\vartheta_1}\right)^3 + 5A_5 \left(\frac{\varphi}{\vartheta_1}\right)^4] \quad (2.55)$$

$$s_1''(\varphi) = \frac{1}{\vartheta_1^2} [2A_2 + 6A_3 \frac{\varphi}{\vartheta_1} + 12A_4 \left(\frac{\varphi}{\vartheta_1}\right)^2 + 20A_5 \left(\frac{\varphi}{\vartheta_1}\right)^3] \quad (2.56)$$

Iar relațiile pentru determinarea coeficienților sînt:

$$\begin{aligned} \varphi &= 0 \\ s_1''(0) &= \frac{2A_2}{\vartheta_1^2} = 0 \end{aligned} \quad (2.57)$$

$$s_1'(0) = \frac{A_1}{\vartheta_1} = C_{11} - C_{12} \frac{\pi}{\vartheta_1} \quad (2.58)$$

$$s(0) = A_0 = A_0 \quad (2.59)$$

$$\varphi = \varphi_1$$

$$s_1''(\varphi_1) = \frac{1}{\vartheta_1^2} (2A_2 + 6A_3 + 12A_4 + 20A_5) \quad (2.60)$$

$$\begin{aligned} s_1'(\varphi_1) &= \frac{1}{\vartheta_1} (A_1 + 2A_2 + 3A_3 + 4A_4 + 5A_5) = \\ &= C_{11} + C_{12} \frac{\pi}{\vartheta_1} \end{aligned} \quad (2.61)$$

$$s_1(\varphi_1) = A_0 + A_1 + A_2 + A_3 + A_4 + A_5 + A_6 =$$

$$= H_0 + C_{11} \vartheta_1 \quad (2.62)$$

din care rezultă:

$$A_0 = H_0$$

$$A_1 = C_{11} \vartheta_1 - C_{12} \overline{\pi}$$

$$A_2 = 0$$

$$A_3 = 2C_{12} \overline{\pi}$$

$$A_4 = -C_{12} \overline{\pi}$$

$$A_5 = 0$$

Ca urmare, expresiile funcției și primelor două derivate sînt:

$$s_1(\varphi) = H_0 + (C_{11} \vartheta_1 - C_{12} \overline{\pi}) \frac{\varphi}{\vartheta_1} + 2C_{12} \overline{\pi} \left(\frac{\varphi}{\vartheta_1}\right)^3 - C_{12} \overline{\pi} \left(\frac{\varphi}{\vartheta_1}\right)^4$$

$$s_1'(\varphi) = \frac{1}{\vartheta_1} [C_{11} \vartheta_1 - C_{12} \overline{\pi} + 6C_{12} \overline{\pi} \left(\frac{\varphi}{\vartheta_1}\right)^2 - 4C_{12} \overline{\pi} \left(\frac{\varphi}{\vartheta_1}\right)^3] \quad (2.63)$$

$$s_1''(\varphi) = \frac{1}{\vartheta_1^2} [12C_{12} \overline{\pi} \frac{\varphi}{\vartheta_1} - 12C_{12} \overline{\pi} \left(\frac{\varphi}{\vartheta_1}\right)^2] = \frac{12C_{12} \overline{\pi}}{\vartheta_1^2} \left[\frac{\varphi}{\vartheta_1} - \left(\frac{\varphi}{\vartheta_1}\right)^2\right]$$

Acua funcție, spre deosebire de cea prevăzută de Kurz, prezintă avantajele unor valori intermediare ale cursei, superioare, precum și o valoare a accelerației maxime, care de fapt este, totodată, valoarea maximă a întregii legi, diminuată. Legea kurz modificată pe secțiunea I prin polinomul de gradul 4, propus de autor, este denumită în continuare „b modificată”.

2.3. Rezolvarea ecuației de mișcare în cazul camelor armonice

Majoritatea distribuțiilor motoarelor în patru timpi au în structură lor camă armonice. În cele ce urmează, se prezintă un model original de rezolvare a problemei de analiză dinamică, expusă anterior, elaborat în cadrul studiului de optimizare a distribuției motorului $\omega = 103$.

Se consideră o camă cu profil din trei arce de cerc, figura 2.4,

se asigură tachmentului pe porțiunile unui flanc, următoarele legi de mișcare:

$$\begin{aligned} x_{o1}(\alpha) &= h_0 + h_1 - r_1 \cos(\alpha - \alpha_1) \\ x_{o2}(\alpha) &= x_{o1}(\alpha_2) + r_2 \cos\beta = \\ &= h_2 \cos(\alpha - \alpha_2 + \beta) \\ x_{o3}(\alpha) &= x_{o2}(\alpha_3) + r_3 \cos\alpha_3 - h_3 \cos\alpha \end{aligned} \quad (2.64)$$

în care:

h_0 - deplasarea corespunzătoare antecamei;

$\alpha = \omega t$ - unghiul de rotație al camii, măsurat în raport cu axa de simetrie a profilului de bază;

$h_1, h_2, h_3, \alpha_1, \alpha_2, \alpha_3, \beta$, sînt constante ale camii.

Înlocuind aceste expresii în ecuația (2.7) se obțin următoarele ecuații diferențiale:

$$\begin{aligned} a) \ddot{x} + \omega_n^2 x &= \omega_n^2 i [h_0 + h_1 - r_1 \cos(\alpha - \alpha_1)] \\ b) \ddot{x} + \omega_n^2 x &= \omega_n^2 i [x_{o1}(\alpha_2) + h_2 \cos\beta - \\ &- h_2 \cos(\alpha - \alpha_2 + \beta)] \\ c) \ddot{x} + \omega_n^2 x &= \omega_n^2 i [x_{o2}(\alpha_3) + h_3 \cos\alpha_3 - h_3 \cos\alpha] \end{aligned} \quad (2.65)$$

Se observă că forța perturbatoare este armonică.

Soluția generală a ecuației omogene este

$$x = C_1 \cos \omega_n t + C_2 \sin \omega_n t \quad (2.66)$$

iar soluția particulară a ecuației diferențiale neomogene în de-a lungul profilului camii, formele:

$$\begin{aligned} a) x_0 &= A_1 + B_1 \cos(\alpha - \alpha_1) + D_1 \sin(\alpha - \alpha_1) \\ b) x_0 &= A_2 + B_2 \cos(\alpha - \alpha_2 + \beta) + D_2 \sin(\alpha - \alpha_2 + \beta) \\ c) x_0 &= A_3 + B_3 \cos \alpha + D_3 \sin \alpha \end{aligned} \quad (2.67)$$

în care A_1, B_1, D_1 sînt constante care urmează să fie determinate.

se calculează în acest scop derivatele de ordinul doi:

$$a) \ddot{x}_0 = -B_1 \omega^2 \cos(\alpha - \alpha_1) - D_1 \omega^2 \sin(\alpha - \alpha_1)$$

$$b) \ddot{x}_0 = -B_2 \omega^2 \cos(\alpha - \alpha_2 + \beta) - D_2 \omega^2 \sin(\alpha - \alpha_2 + \beta) \quad (2.68)$$

$$c) \ddot{x}_0 = -B_3 \omega^2 \cos \alpha - D_3 \omega^2 \sin \alpha$$

Înlocuind (2.67) și (2.68) în (2.65) se obțin prin identificare următoarele grupuri de valori ale constantelor:

$$a) A_1 = 1(H_0 + h_1); \quad B_1 = \frac{h_1 n^2}{1 - n^2} i; \quad D_1 = 0$$

$$b) A_2 = [x_{01}(\alpha_2) + h_2 \cos \beta] i; \quad B_2 = \frac{h_2 n^2}{1 - n^2} i; \quad D_2 = 0 \quad (2.69)$$

$$c) A_3 = [x_{02}(\alpha_3) + h_3 \cos \varphi_3] i; \quad B_3 = \frac{h_3 n^2}{1 - n^2} i; \quad D_3 = 0$$

în care: $n = \frac{\omega}{\omega_n}$

Se pot scrie astfel expresiile soluțiilor generale,

$$a) x = C_1 \cos \omega_n t + C_2 \sin \omega_n t + [H_0 + h_1 + \frac{h_1 n^2}{1 - n^2} \cos(\alpha - \alpha_1)] i \quad (2.70)$$

$$b) x = C_1^* \cos \omega_n t + C_2^* \sin \omega_n t + [x_{01}(\alpha_2) + h_2 \cos \beta + \frac{h_2 n^2}{1 - n^2} \cos(\alpha - \alpha_2 + \beta)] i$$

$$c) x = C_1^{**} \cos \omega_n t + C_2^{**} \sin \omega_n t + [x_{02}(\alpha_3) + h_3 \cos \alpha + \frac{h_3 n^2}{1 - n^2} \cos \alpha] i$$

Ele reprezintă soluțiile ecuației vibrațiilor neamortizate, în treținute de o forță periodică.

Coefficienții C_1, C_2 se pot stabili fie din condiții inițiale, fie pe baza unor valori determinate experimental, determinându-se astfel expresiile legii de mișcare a supapei corespunzătoare celor trei por-

țiuni ale flancului cemei armonice.

Prin derivarea lor se obțin ecuațiile vitezei și accelerației, fiind astfel posibilă calcularea tuturor parametrilor cinematici ai supapei și deci analiza regimului dinamic al mecanismului de distribuție cu considerarea elasticității.

În regim staționar forțele de amortizare nu pot fi neglijate total și ca urmare, din expresiile (2.70), vibrația proprie se amortisează, mișcarea sistemului apropiindu-se de vibrația forțată, exprimată prin ecuațiile:

$$a) x = \left[d_0 + u_1 + \frac{u_1 n^2}{1 - n^2} \cos(\alpha - \alpha_1) \right] i$$

$$b) x = \left[x_{01}(\alpha_2) + u_2 \cos \beta + \frac{u_2 n^2}{1 - n^2} \cos(\alpha - \alpha_2 + \beta) \right] i \quad (2.71)$$

$$c) x = \left[x_{02}(\alpha_3) + u_3 \cos \alpha_3 + \frac{u_3 n^2}{1 - n^2} \alpha \right] i$$

Un indice semnificativ pentru calitățile dinamice ale unei legi de mișcare este „coeficientul de dinamicitate”. El se definește ca raport între valorile extreme ale accelerațiilor, și ținând considerarea elasticității elementelor:

$$k_{din} = \frac{x''_{max}}{ix''_{0 \max}}$$

Valoarea lui k_{din} , rezultată din raportul maximele pozitive, reflectă starea de suprasolicitare dinamică a zonelor de contact ale elementelor mecanismului; raportul maximele negative caracterizează gradul de creștere a forțelor de desprindere, dând indicații asupra necesității majorării rigidității arcurilor de distribuție.

2.4. Analiza regimului dinamic al arcurilor

Arcul spiral este o formație capabilă de oscilații, asemănătoare unei bare cilindrice solicitate axial. Dacă arcușul este într-un anumit loc, din echilibru, perturbația se va propaga, cu o viteză funcție de

proprietățile materialului și dimensiuni, de-a lungul axei și se va reflecta la capete, în funcție de modul de fixare a acestora. Făcând abstracție de pierderi, în cazul perturbațiilor periodice devine posibilă apariția rezonanței, fiind amplitudinile pot deveni infinite.

Aceste amplitudini cresc în realitate, pînă la o valoare maximă limită, a cărei mărime depinde, în afara masei și rigidității arcului, de amplitudinea funcției perturbatoare și de amortizare.

Ca urmare, apar solicitări suplimentare ale arcurilor, care impun analiza procesului lor de oscilație.

Funcția perturbatoare este legea de mișcare a supapei; ea se transmite unui capăt al arcului, celălalt rămînînd fix.

Expresia legii de oscilație a arcului, rezultă din ecuația diferențială liniară de oscilație. În acest scop se impune dezvoltarea în serie Fourier a legii cursei supapei, ca funcție perturbatoare. Problema se va reduce astfel la un caz de perturbare printr-o funcție armonică. Perioada funcției cursei este 2π , corespunzătoare unei rotații a arborelui cu came.

În general, orice mișcare periodică ce se efectuează după legea:

$$x = f(t)$$

unde $f(t)$ este o funcție periodică, cu perioada T , se poate considera ca o mișcare rezultantă a unui număr infinit de mare de oscilații armonice. Oscilațiile armonice componente se obțin prin dezvoltarea funcției $f(t)$ în serie Fourier. Dacă notăm $\frac{2\pi}{T} = \omega$, avem:

$$x = f(t) = \frac{a_0}{2} + \sum_{i=1}^{\infty} (a_i \cos i\omega t + b_i \sin i\omega t) \quad (2.72)$$

Termenii cu $i=1$ constituie armonica fundamentală. Grupînd funcțiile sinus și cosinus se obține expresia:

$$f(t) = c_0 + \sum_{i=1}^{\infty} c_i \sin(i\omega t + \varphi_i) \quad (2.73)$$

În felul acesta, funcția $f(t)$ este dezvoltată într-o serie de componente armonice în care a_1 și φ_1 sînt, respectiv, amplitudinea și unghiul de fază.

Amplitudinea oscilației componente de ordinul i se calculează cu relația:

$$a_i = \sqrt{a_i^2 + b_i^2} \quad (2.74)$$

în care

$$a_i = \frac{\omega}{\pi} \int_0^{\frac{2\pi}{\omega}} f(t) \cos(i\omega t) dt \quad (2.75)$$

$$b_i = \frac{\omega}{\pi} \int_0^{\frac{2\pi}{\omega}} f(t) \sin(i\omega t) dt$$

$$i = 1, 2, \dots$$

Determinarea valorilor a_i și b_i cu ajutorul acestor relații face parte din analiza armonică.

Dacă funcția cursei are o expresie analitică simplă, determinarea primitivelor nu prezintă dificultăți. Când legea este formată din mai multe secțiuni, ca spre exemplu cazul distribuțiilor cu cime armonice și cu cime fără șoc, intervalul de integrare se va subdivida.

Dacă expresia funcției cursei este mai complicată, se poate recurge la o formulă de evaluare de formă:

$$i \approx \hat{i} = \sum_{i=1}^n A_i f(x_i) \quad (2.76)$$

care exprimă aproximativ valoarea integralei, urmînd ca prin evaluarea restului să se stabilească măsura aproximării. Pentru simplificarea se pot considera numai cîteva armonici, celelalte putîndu-se neglija, în funcție de precizia de evaluare a fenomenului real și de valorile amplitudinilor armonicilor de ordin superior.

Să considerăm $f(\infty)$ funcția cursei capătului liber al arcului; relațiile (2.75) vor lua forma:

$$a_1 = \frac{1}{\pi} \int_0^{2\pi} f(\alpha) \cos(1\alpha) d\alpha \quad \text{a)} \quad (2.77)$$

$$b_1 = \frac{1}{\pi} \int_0^{2\pi} f(\alpha) \sin(1\alpha) d\alpha \quad \text{b)}$$

Procedeuul matematic utilizat în acest caz este integrarea parțială repetată. Ca urmare, integralele (2.77) se transformă în șiruri de:

$$a_1 = \left[f(\alpha) \frac{\sin 1\alpha}{1} + f'(\alpha) \frac{\cos 1\alpha}{1^2} - f''(\alpha) \frac{\sin 1\alpha}{1^3} - \right. \\ \left. - f'''(\alpha) \frac{\cos 1\alpha}{1^4} + f^{IV}(\alpha) \frac{\sin 1\alpha}{1^5} + \dots \right]_0^{2\pi} \quad \text{a)} \quad (2.78)$$

$$b_1 = \left[-f(\alpha) \frac{\cos 1\alpha}{1} + f'(\alpha) \frac{\sin 1\alpha}{1^2} + f''(\alpha) \frac{\cos 1\alpha}{1^3} - \right. \\ \left. - f'''(\alpha) \frac{\sin 1\alpha}{1^4} + f^{IV}(\alpha) \frac{\cos 1\alpha}{1^5} + \dots \right]_0^{2\pi} \quad \text{b)}$$

în care schimbarea sensului se produce odată cu termenul în sinus.

Dacă funcția cursei se compune din mai multe legi, este necesară divizarea intervalului $0 - 2\pi$ în subdiviziuni: 0 la α_1 pentru $f_1(\alpha)$, α_1 la α_2 pentru $f_2(\alpha)$, etc. într-o dezvoltare adecvată, grupând termenii după puterile lui „i” și ținând cont de faptul că în special acestea fără șoc asigură continuitatea în punctele de recordare atât a funcției cât și a unui număr de derivate, în mod obișnuit cel puțin a primelor două, pentru a_1 se obține expresia:

$$a_1 = -\frac{1}{1^4} \left\{ \cos 1\alpha_1 [f_1'''(\alpha_1) - f_2'''(\alpha_1)] + \cos 1\alpha_2 [f_2'''(\alpha_2) - \right. \\ \left. - f_3'''(\alpha_2)] + \cos 1\alpha_3 [f_3'''(\alpha_3) - f_4'''(\alpha_3)] + \dots \right\} + \\ + \frac{1}{1^5} \left\{ \sin 1\alpha_1 [f_1^{IV}(\alpha_1) - f_2^{IV}(\alpha_1)] + \sin 1\alpha_2 [f_2^{IV}(\alpha_2) - \right. \\ \left. - f_3^{IV}(\alpha_2)] + \dots \right. \quad (2.79)$$

termenii din parantezele drepte fiind o măsură pentru schimbarea derivatelor cursei la locurile de racordare.

O expresie asemănătoare se obține și pentru b_1 , în cazul utilizării unor legi de mișcare identice la ridicare și coborîre, rezultă o altă simplificare, deoarece.

$$f(\alpha) = f(2\pi - \alpha) \quad (2.80)$$

caz în care coeficienții b_1 ai dezvoltării seriei devin zero, deoarece integrala ecuației (2.77 b) este nulă. Integrala ecuației (2.77 a) între limitele 0 și 2π , în aceleași condiții, este de două ori mai mare decât integrala de la 0 la π . Aplicând aceste observații, va fi deci suficientă calcularea girului (2.79) pentru faza de urcare și dublarea rezultatului pentru a obține a_1 .

În cazul unei legi de mișcare fără șoc, cu un ropaus inferior și unul superior și un profil compus din patru părți, identic la ridicare și coborîre, figura 2.5, conforma celor de mai sus, se obține pentru a_1 expresia:

$$\begin{aligned} \frac{\pi}{2} a_1 = & \frac{1}{1^4} \left\{ \cos 1\alpha_1 f_2'''(\alpha_1) - \cos 1\alpha_2 [f_2'''(\alpha_2) - f_3'''(\alpha_2)] - \right. \\ & - \cos 1\alpha_3 [f_3'''(\alpha_3) - f_4'''(\alpha_3)] - \cos 1\alpha_4 [f_4'''(\alpha_4) - f_5'''(\alpha_4)] - \\ & - \cos 1\alpha_5 f_5'''(\alpha_5) \left. \right\} - \frac{1}{1^5} \left\{ \sin 1\alpha_1 f_2^{IV}(\alpha_1) - \sin 1\alpha_2 [f_2^{IV}(\alpha_2) - \right. \\ & - f_3^{IV}(\alpha_2)] - \sin 1\alpha_3 [f_3^{IV}(\alpha_3) - f_4^{IV}(\alpha_3)] - \sin 1\alpha_4 [f_4^{IV}(\alpha_4) - \\ & - f_5^{IV}(\alpha_4)] - \sin 1\alpha_5 f_5^{IV}(\alpha_5) \left. \right\} - \frac{1}{1^6} \left\{ \cos 1\alpha_1 f_2^V(\alpha_1) - \right. \\ & - \cos 1\alpha_2 [f_2^V(\alpha_2) - f_3^V(\alpha_2)] - \cos 1\alpha_3 [f_3^V(\alpha_3) - f_4^V(\alpha_3)] - \\ & - \cos 1\alpha_4 [f_4^V(\alpha_4) - f_5^V(\alpha_4)] - \cos 1\alpha_5 f_5^V(\alpha_5) \left. \right\} + \dots \quad (2.31) \end{aligned}$$

Expresia (2.31) este o serie infinită a cărei întrebuințare practică dă o valoare aproximativă pentru a_1 . Aproximarea este cu

atit mai bună cu cît se iau în considerare mai mulți termeni, adică cu cît crește ordinul derivatelor. Convergența șirului crește însă destul de repede odată cu creșterea ordinului armonice și dacă nu se impune o precizie prea mare, el poate fi limitat la a 5-a sau a 6-a derivată. Abateres pentru $i = 10$ este de numai câteva procente.

Cînd se consideră și jocul supapei, se va ține seama de faptul că în realitate aceasta se deschide după ce funcția cursei $f_2(\alpha)$ a crescut cu „j”, corespunzător unghiului α_j . Curșa începe cu o bătaie și ca urmare termenul $f_1'(\alpha_j) - f_2'(\alpha_j) = -f_2'(\alpha_j)$ păstrează o valoare finită.

Pentru limitarea suprasolicităților dinamice ale arcurilor este necesar ca frecvența proprie a acestora să fie stît de înaltă încît armonicile de rezonanță ale legii de mișcare să aibe amplitudini cît mai mici, avînd ca efect reducerea amplitudinii oscilațiilor proprii.

O altă cale de limitare a amplitudinilor armonicilor funcției perturbatoare este anularea termenilor de la începutul șirului, deoarece aceștia au ponderea cea mai mare în valoarea expresiei, fapt care se asigură impunînd condiții de recordare cît mai bune funcțiilor componente. Expresia legii de oscilație a arcului rezultă ca soluția ecuației de echilibru a elementului de arc sub acțiunea forțelor elastice, de inerție și de amortisare.

$$\frac{\partial^2 Y}{\partial t^2} + 2b \frac{\partial Y}{\partial t} = a^2 \frac{\partial^2 Y}{\partial x^2} \quad (2.82)$$

în care

$$a^2 = \frac{g k l_0^2}{\gamma l_0^3 S_0} \quad \text{și} \quad 2b = \frac{g l_0 c}{\gamma l_0^3 S_0}$$

k fiind constanta elastică a arcului;

l_0 - lungimea arcului protensionat;

S_0 - secțiunea sîrmei;

l_0 - lungimea activă a arcului;

c - coeficient de amortizare.

Această ecuație descrie propagarea perturbației într-un mediu liniar elastic, cu amortizarea funcție de viteză. Parametrul „a” reprezintă viteza de propagare a undei de presiune și viteza în arc; el este condiționat de constante ale materialului și dimensiunii; b este factorul dependent de amortizare.

Soluția ecuației (2.82) rezultă pentru următoarele condiții de margine: la capătul fix al arcului deplasarea y este nulă, la capătul al doilea ea corespunde funcției perturbatoare. În cazul rezonanței cu o armonică, amplitudinea de rezonanță fiind mai mare decât suma celorlalte armonici, se va lua în considerare numai armonica respectivă.

Acest lucru permite și neglijarea unghiului de defasare a armonicilor, în calcul rămânând doar armonica de rezonanță de ordinul i cu expresia $c_i \sin i\omega t$, pentru care trebuie stabilită amplitudinea oscilației arcului. Expresia soluției ecuației de oscilație a arcului are în consecință, forma:

$$y = A_1 \sin(i\omega t + \varphi) \quad (2.83)$$

amplitudinea de rezonanță calculându-se cu expresia aproximativă:

$$A_1 = \frac{\omega_n}{b \cdot \gamma} c_i \sin \lambda \pi \frac{x}{l_0} \quad (2.84)$$

în care

x este distanța punctului considerat al arcului

precomprinat față de suprafața de sprijin;

$\lambda = 1$ pentru oscilația fundamentală;

și

$\lambda = 2, 3 \dots$ pentru oscilațiile superioare;

$$\omega_n = \frac{g}{l_0} \sqrt{\frac{E G}{2 \gamma}} - \text{pulsatia proprie a arcului în funcție de dimensiuni}$$

Expresia ei în funcție de efortul specific alternant este:

$$\omega_n = \pi \frac{\tau' - 1}{h} \sqrt{\frac{E}{2g\gamma}} \quad (2.85)$$

Pentru $\gamma = 0.10^{-3} \frac{\text{daN}}{\text{cm}^3}$ și $g = 825.10^3 \frac{\text{daN}}{\text{cm}^2}$, se obține pentru pulsația proprie a oscilației fundamentale, relația de calcul:

$$\omega_n = 0.82 \frac{\tau' - 1}{h} \quad (2.86)$$

$\tau' - 1 = \frac{\tau - \tau_0}{\psi}$ efortul specific alternant, determinat fără luarea în considerare a factorului de răsuire ψ , ($\psi = 1$), a cărui expresia este:

$$\psi = \frac{1 + 0.2j}{j - 1}, \quad \text{cu } j = \frac{D}{d}$$

τ, τ_0 - eforturile specifice statice, pentru supapa deschisă și respectiv închisă;

h - cursa maximă a supapei;

h și τ_{-1} fiind mărimile caracteristice care determină valoarea lui ω_n , rezultă că se poate modifica frecvența proprie a arcului modificând fie una dintre ele, fie amândouă,

Amplitudinea maximă de rezonanță are următoarea expresie, dedusă din (2.84):

$$A_1 \max = \frac{\omega_n}{b \cdot \pi} \cdot a_1 \quad (2.87)$$

Creșterea de aproximare a acestei mărimi este de ordinul de mărime al amplitudinii a_1 , care este mică comparativ cu A_1 din cauza valorii mici a amortizării. În calculul solicitării suplimentare dinamice, intervenind derivata amplitudinii A_1 în raport cu x , creșterea considerată devine neglijabilă pentru calculul final.

Efortul suplimentar la torsiune $\bar{\tau}$, corespunzător regiunii de oscilație, se calculează pornind de la expresia forței elastice datorate deformației Y .

$$F = k \cdot l_0 \frac{dY}{dx} \quad (2.88)$$

in care inlocuind expresia lui k :

$$k = \frac{6ad^4}{8ID^3}, \quad (2.89)$$

relația efortului specific la torsiune in arc

$$\tau = \frac{8PD}{d^3} \quad (2.90)$$

și expresia (2.85) a pulsației proprii se obține:

$$\tau = \frac{l_0 \omega_n}{\pi} \sqrt{\frac{2KG}{E}} \frac{l_y}{l_x} \quad \text{pentru } \psi = 1 \quad (2.91)$$

Introducând expresia lui y din (2.83) se obține solicitarea suplimentară datorată armonicilor de ordinul 1, sub forma:

$$\bar{\tau}_1 = \frac{l_0 \omega_n}{\pi} \sqrt{\frac{2KG}{E}} \frac{dA}{dx} \sin(i\omega t + \varphi), \quad (2.92)$$

al cărui maxim se obține pentru $\sin(i\omega t + \varphi) = 1$;

Solicitarea suplimentară maximă la rezonanță se obține înlocuind pe A_1 cu expresia corespunzătoare, (2.84), și considerând $\cos \lambda \pi \frac{A_1}{l_0} = 1$:

$$\bar{\tau}_{1 \max} = \frac{\lambda \omega_n^2}{\pi b} \sqrt{\frac{2KG}{E}} \cdot c_1 \quad (2.93)$$

Valoarea totală a solicitării suplimentare datorate armonicilor de ordinul 1 se obține dublând expresia (2.94), deoarece se are în vedere faptul că oscilația se produce în ambele sensuri cu aceeași amplitudine; pentru a lua în considerare și curbarea arcului se va înmulți cu factorul ψ .

Solicitarea totală alternantă se obține, deci, prin adunarea la solicitarea statică a solicitării dinamice, relația de calcul fiind:

$$\tau_{-1,1} = \tau_{-1} + 2\psi \bar{\tau}_{1 \max} \quad (2.94)$$

Pentru a ține seama de influența tuturor armonicilor asupra solicitării alternante, valorii rezultate din (2.94) i se pot adăuga eforturile rezultate din celelalte armonici.

Cu urmarea a acestor considerații la dimensionarea arcurilor

de distribuție, în afara condiției de respectare a solicitării admisibile statice, se vor alege dimensiunile astfel încât pulsația proprie a arcului să fie de 14 - 16 ori mai mare decât viteza unghiulară a arborelui cu came.

În felul acesta amplitudinile a_1 ale armonicilor de rezonanță vor fi suficient de mici pentru ca solicitările suplimentare corespunzătoare să nu majoreze solicitarea alternantă totală peste limitele admisibile.

Elementele prezentate mai sus fac obiectul calculelor de verificare elaborate de autor pentru arcurile de distribuție ale unor motoare fabricate în țară. Relații de formă (2.81) stau la baza unui criteriu original de comparare a proprietăților dinamice ale diferitelor legi de mișcare, prezentat în capitolul 5.

3. CONTRIBUȚII LA ANALIZA CINETICĂ ȘI SINTZA A MIȘCĂRII DE DISTRIBUȚIE ALE MOTORELOR CU MĂȘCĂRI UNIFORME

3.1. Generalități

Proiectarea mecanismelor de distribuție ale motoarelor în patru timpi și în mai deosebit a celor rapide, impune realizarea unei baze de calcul analitic, care să asigure determinarea exactă a elementelor caracteristice.

Asociată primelor două etape, de alegere a legii de mișcare a tchetului și de sinteză a camei, etapa de analiză cinematică asigură cunoașterea parametrilor cinetici ai tuturor elementelor mecanismului și creșcă posibilitatea evaluării comportării lui dinamice.

În cele ce urmează se va considera un mecanism de distribuție având schema cinematică prezentată în fig.3.1.

3.2. Alegerea legii de mișcare a elementului condus

De sigur, elementul a cărui mișcare interesează în primul rând, este supapa. În cazul elaborării unei soluții noi, adică în fazele de cercetare și proiectare ale unei distribuții, este recomandabil ca studiul să fie început prin optimizarea legii de mișcare fie a supapei, fie a tchetului.

Legea de mișcare optimă fiind de tipul „fără șoc”, elimină sursele principale de vibrații asigurând un regim dinamic liniștit și ca urmare, legea de mișcare se transmite de la supapă la tchet și invers, modificată doar prin funcția de transmitere a mecanismului.

Considerarea rigidității mecanismului de distribuție este neoportună, aceasta pentru că, pe de o parte, ea nu poate fi exact cunoscută, soluția constructivă neputând fi încă definitivată, iar pe

de altă parte, pentru că lipsa șocurilor diminuează efectul elasticității în ceea ce privește deformarea legii de mișcare. Ca urmare, în această etapă rigiditatea elementelor mecanismului intermediar se consideră infinită.

În cele ce urmează, se consideră o lege de mișcare de formă:

$$s_1 = f(c_1, \varphi_1) \quad (3.1)$$

în care s_1 , variabila dependentă, reprezintă lungimea arcului descris de punctul caracteristic al tachetului, în cazul de față centrul rolei, φ_1 , argumentul, unghiul de rotație al cazei, c_1 , coeficienți ale căror valori se aleg astfel încât să se asigure limitarea valorilor extreme ale vitezei și accelerației, realizarea condițiilor de continuitate, precum și timpul secțiune-maxim.

3.3. Calculul profilului casei

Se pornește de la faptul că la inversarea mișcării relative camă-tachet, profilul casei rezultă ca înfăgurătoarea pozițiilor succesive ale rolei.

Astfel, interpretând pozițiile succesive ale tachetului printr-o familie de cercuri, dată de ecuația $r(x, y, p)$ în care „p” este parametrul variabil, profilul casei rezultă ca înfăgurătoarea familiei considerate.

Ecuația ei se obține din sistemul:

$$\begin{aligned} F(x, y, p) &= 0 \\ \frac{\partial F(x, y, p)}{\partial p} &= 0 \end{aligned} \quad (3.2)$$

Pentru analiza următoare se folosește figura 3.2; camă devenind fixă, elementul fix se va roti în jurul ei cu viteza unghiulară $(-\omega_1)$.

Triunghiul inițial OA_0B_0 are lungimile laturilor cunoscute; cu ajutorul lor se pot calcula valorile unghiurilor ξ_0 și α_0 .

Considerând un sistem de coordonate solidar cu camă, avind originea în O - centrul de rotație al casei, axa OA făcînd unghiul ψ_0 cu

direcția ON_0 , sensurile axelor fiind cele considerate în fig.3.2, se determină coordonatele punctului A , centrul rolei, în raport cu care se stabilește ecuația $F(x, y, p)$.

Se observă că punctul S se mișcă față de A pe un arc de cerc, coordonatele lui rezultând din intersecția acestuia cu direcția mobilă AS .

Ecuația cercului cu centrul în A și raza l_{AS} este:

$$(x - x_A)^2 + (y - y_A)^2 = l_{AS}^2 \quad (3.3)$$

în care $x_A = l_{OA} \cos \varepsilon \quad (3.4)$

$$y_A = l_{OA} \sin \varepsilon$$

ε - unghiul direcției OA cu Ox

Ecuația dreptei de direcție variabilă AS este dată de relația:

$$y - y_A = - \operatorname{tg}(\xi - \varepsilon_1 + \delta_{21})(y - y_A) \quad (3.5)$$

în care

$$\delta_{21} = \frac{s_1}{l_{AS}} = \frac{r(\varphi_1)}{l_{AS}} \quad \text{- unghiul de oscilație al tchetului} \quad (3.6)$$

$$\varepsilon_1 = \varphi_0 + \varphi_1 - \alpha$$

Soluțiile sistemului format din ecuațiile (3.3) și (3.5), reprezentând coordonatele punctului S , sînt de forma:

$$x_S = x_A - \frac{l_{AS}}{\sqrt{p^2 + 1}} \quad \text{și} \quad y_S = y_A + \frac{p \cdot l_{AS}}{\sqrt{p^2 + 1}} \quad (3.7)$$

în care

$$p = \operatorname{tg}(\xi - \varepsilon_1 + \delta_{21})$$

Funcția $F(x, y, p)$ în care parametrul „ p ” este unghiul „ φ_1 ”, are expresia:

$$F(x, y, \varphi_1) = (x - x_A)^2 + (y - y_A)^2 - r^2 = 0 \quad (3.8)$$

în care r este raza rolei.

A doua ecuație a sistemului (3.2) este:

$$\frac{\partial F}{\partial \varphi} = (x - x_B)x'_1 + (y - y_B)y'_1 = 0 \quad (3.9)$$

in care $x_B = x_A - l_{AB} \cos(\xi - \varepsilon_1 + \delta_{21}) \quad (3.10)$

$$y_B = y_A + l_{AB} \sin(\xi - \varepsilon_1 + \delta_{21}) \quad (3.11)$$

$$x'_1 = \frac{\partial x_B}{\partial \varphi_1} = -l_{AB} \sin \varepsilon + l_{AB} \sin(\xi - \varepsilon_1 + \delta_{21}) \left(-1 + \frac{s_1}{l_{AB}}\right) \quad (3.12)$$

$$y'_1 = \frac{\partial y_B}{\partial \varphi_1} = l_{AB} \cos \varepsilon + l_{AB} \cos(\xi - \varepsilon_1 + \delta_{21}) \left(-1 + \frac{s_1}{l_{AB}}\right) \quad (3.13)$$

Soluțiile sistemului format de ecuațiile 3.8 și 3.9 reprezintă ecuațiile parametrice ale înfășurătoarei și au forma:

$$x'_0 = x_B - \frac{rx'_1}{\sqrt{x'^2_1 + y'^2_1}} \quad (3.14)$$

$$y'_0 = y_B + \frac{ry'_1}{\sqrt{x'^2_1 + y'^2_1}} \quad (3.15)$$

In cazul tachetului de translație cu rolă, coordonatele punctului P se exprimă prin relațiile:

$$\begin{aligned} x_P &= (r_0 + s_1) \cos \varphi_1 \\ y_P &= (r_0 + s_1) \sin \varphi_1 \end{aligned} \quad (3.16)$$

Ecuația $F(x, y, \varphi_1) = 0$ păstrează forma (3.8), iar ecuațiile parametrice ale înfășurătoarei, reprezentând coordonatele profilului camii, corespund expresiilor (3.14) și (3.15).

In cazul mecanismului camă-tachet de translație, plan, coordonatele punctului caracteristic al tachetului I, echivalentul punctului din cazurile precedente, au expresiile:

$$\begin{aligned} x_j &= (r_0 + s_1) \cos \varphi_1 \\ y_j &= (r_0 + s_1) \sin \varphi_1 \end{aligned} \quad (3.17)$$

iar ecuația $F(x, y, \varphi_1) = 0$ are forma:

$$y - y_j + \frac{1}{\operatorname{tg} \varphi_1} (x - x_j) = 0 \quad (3.18)$$

in care inlocuim relațiile (3.17) se obține:

$$[y - (r_0 + s_1) \sin \varphi_1] \operatorname{tg} \varphi_1 + x - (r_0 + s_1) \cos \varphi_1 = 0 \quad (3.19)$$

și în final se obține sistemul:

$$F(x, y, \varphi_1) = y \sin \varphi_1 - (r_0 + s_1) + x \cos \varphi_1 = 0 \quad (3.20)$$

$$\frac{\partial F(x, y, \varphi_1)}{\partial \varphi_1} = y \cos \varphi_1 - x \sin \varphi_1 - s_1^i = 0$$

ale cărui soluții

$$x_0 = (r_0 + s_1) \cos \varphi_1 - s_1^i \sin \varphi_1 \quad (3.21)$$

$$y_0 = (r_0 + s_1) \sin \varphi_1 + s_1^i \cos \varphi_1$$

sau exprimate sub forma:

$$x_0 = x_j - s_1^i \sin \varphi_1 \quad (3.21')$$

$$y_0 = y_j + s_1^i \cos \varphi_1$$

reprezintă coordonatele profilului camei.

3.4. Calculul parametrilor cinematici ai supapeilor

Acest calcul reprezintă rezolvarea cinematicii mecanismului intermediar tachet-supapă, fig. 3.1, compus dintr-un mecanism patru-later A_0ABB_0 , fig. 3.3 și un mecanism cu culisă de tranlație armonioasă, fig. 3.4.

Ca urmare, se consideră mecanismul patru-later A_0ABB_0 , în care elementul motor A_0A aparținând tachetului oscilant, are parametrii cinematici $\varphi_2, \omega_2, \varepsilon_2$.

Valorile lor curente se calculează cu relațiile:

$$\varphi_{21} = \varphi_2 - \frac{s_1}{l_{A_1}} \quad (3.22)$$

$$\omega_{21} = \frac{s_1 \cdot \omega_2}{l_{A_1}} \quad (3.23)$$

$$\varepsilon_{B_1} = - \frac{s_1^* \cdot \omega_1^2}{l_{AL}} \quad (3.24)$$

ω_1 fiind viteza unghiulară a camii.

Pentru determinarea parametrilor cinematici unghiulari ai culbutorului, elementul BB_0 al patrulaterului, φ_4 , ω_4 , ε_4 , se aplică metoda ecuațiilor vectoriale.

Relațiile de calcul sînt următoarele:

$$\varphi_3 = 2\pi - (\gamma - \beta) \quad (3.25)$$

$$\varphi_4 = \pi - \beta - \bar{\nu} \quad (3.26)$$

$$\gamma = \text{arc tg} \frac{l_4 \sin \mu}{l_3 - l_4 \cos \mu} \quad (3.27)$$

$$\mu = \text{arc cos} \frac{l_3^2 + l_4^2 - l_2^2 - l_1^2 + 2l_1 l_2 \cos \varphi_2}{2l_3 l_4} \quad (3.28)$$

$$\beta = \text{arc tg} \frac{l_2 \sin \varphi_2}{l_1 - l_2 \cos \varphi_2} \quad (3.29)$$

$$\bar{\nu} = \text{arc tg} \frac{l_3 \sin \mu}{l_4 - l_3 \cos \mu} \quad (3.30)$$

Iar

$$\begin{vmatrix} \omega_3 \\ \omega_4 \end{vmatrix} = \begin{vmatrix} \frac{-l_4 \cos \varphi_4}{k} & \frac{-l_4 \sin \varphi_4}{k} \\ \frac{-l_3 \cos \varphi_3}{k} & \frac{-l_3 \sin \varphi_3}{k} \end{vmatrix} \begin{vmatrix} l_2 \omega_2 \sin \varphi_2 \\ -l_2 \omega_2 \cos \varphi_2 \end{vmatrix} \quad (3.31)$$

în care:

$$k = l_3 l_4 \sin \varphi_3 \cos \varphi_4 - l_3 l_4 \cos \varphi_3 \sin \varphi_4 \quad (3.32)$$

9.

$$\begin{vmatrix} \varepsilon_3 \\ \varepsilon_4 \end{vmatrix} = \begin{vmatrix} \frac{-l_4 \cos \varphi_4}{l_2} & \frac{-l_4 \sin \varphi_4}{l_2} \\ \frac{-l_3 \cos \varphi_3}{l_2} & \frac{-l_3 \sin \varphi_3}{l_2} \end{vmatrix} \begin{vmatrix} c_{(1)} \\ c_{(2)} \end{vmatrix} \quad (3.33)$$

in care

$$\begin{aligned} c_{(1)} &= l_2 \varepsilon_2 \sin \varphi_2 + l_2 \omega_2^2 \cos \varphi_2 + l_3 \omega_3^2 \cos \varphi_3 - \\ &\quad - l_4 \omega_4^2 \cos \varphi_4 \end{aligned} \quad (3.34)$$

$$\begin{aligned} c_{(2)} &= -l_2 \varepsilon_2 \cos \varphi_2 + l_2 \omega_2^2 \sin \varphi_2 + l_3 \omega_3^2 \sin \varphi_3 - \\ &\quad - l_4 \omega_4^2 \sin \varphi_4 \end{aligned} \quad (3.35)$$

in mecanismul urmator, fig. 3.4 relațiile de calcul pentru deplasarea, viteza și accelerația supapei sînt:

$$s_B = l_{B_0C} (\sin \beta_0 - \sin \beta_1) \quad (3.36)$$

$$v_B = l_{B_0C} \omega_4 \cos \beta_1 \quad (3.37)$$

$$a_B = l_{B_0C} \omega_4^2 \sin \beta_1 + l_{B_0C} (\cos \beta_1) \varepsilon_4 \quad (3.38)$$

in care $\beta_1 = \arctg \frac{d}{a} - \varphi_{41} - \gamma$ - unghiul direcției B_0C a culbutorului cu axa B_0A .

γ - unghiul ascuțit format de bratele culbutorului.

3.5. stabilirea legii de mișcare a tachtului, cînd se cunoaște profilul camii

Literatura de specialitate prezintă analiza cinematică a mecanismelor cu came armonice și tangențiale.

Profilele camelor moderne, stabilite pe baza unor considerații de genul celor expuse anterior, sînt prezentate în documentații prin coordonatele lor cartesiene sau polare, oțeodată și cu precizări asupra tipului legii de mișcare impuse tachtului.

Se impune astfel stabilirea unor relații pentru calculul parametrilor cinematici ai tachtului; adecvate acestui caz, pentru

tipurile de mecanisme cu came utilizate în distribuția motoarelor cu ardere internă.

Să considerăm pentru început cazul unui mecanism de distribuție cu tachet plan centric, fig. 3.5, cama fiind definită prin coordonatele carteziene ale punctelor profilului real, puncte în care se consideră contactul camă-tachet.

Pentru rezolvare se asimilează forma profilului, între două puncte succesive date, printr-un arc de cerc. Cei trei parametri ai fiecărui arc de cerc, adică coordonatele centrului (a_j, b_j) și raza R_j se determină punând condiția ca arcul de cerc să treacă prin trei puncte succesive ale profilului. Începutul a două arce succesive diferă printr-un pas.

Ca urmare, pentru definirea fiecărui arc se pune condiția ca ecuația cercului $(x - a_j)^2 + (y - b_j)^2 = R_j^2$ să fie verificată de coordonatele (x_1, y_1) a trei puncte succesive date ale profilului obținându-se astfel câte un sistem de trei ecuații, ale cărui soluții sînt a_j, b_j, R_j . Notăm cu δ_j distanța centrului arcului la centrul camii, valoarea sa se calculează cu relația:

$$\delta_j = \sqrt{a_j^2 + b_j^2} \quad (3.33)$$

Se consideră mișcarea relativă inversă. În figura 3.5 elementele care interesează sînt:

- r_j - raza de curbură a profilului camii în punctul de contact; ea este paralelă cu direcția de translație a tachetului;
- φ_1 - unghiul poziției curente a direcției de translație cu poziția sa inițială;
- ψ_1 - unghiul razei curente a punctului de contact cu raza inițială;
- β_1 - unghiul la centru al arcului care aproximează profilul între două puncte succesive date;

φ_1 - unghiul format de raza ω_1 a punctului curent al profilului cu direcția ce trece prin centrul camii;

α_1 - unghiul format de raza inițială a arcului cu direcția ce trece prin centrul camii;

O_1 - centrul arcului;

I_1 - punctul cunoscut al profilului;

r - raza cercului de bază.

Unghiurile $\varphi_{11} = \beta_{11} = \chi_{11}$ se determină din triunghiul $\omega_1 I_1$ cu relația:

$$\varphi_{11} = \text{arc tg} \frac{a_1(y_{11} - b_1) - b_1(x_{11} - a_1)}{a_1(x_{11} - a_1) + b_1(y_{11} - b_1)} \quad (3.40)$$

Din figură, ținând cont de observațiile făcute, rezultă pentru deplasarea tachetului următoarea expresie:

$$s_{11}(\varphi) = h_1 - r - \delta_1 \cos \varphi_{11} \quad (3.41)$$

Pe lungimea profilului dintre două puncte date, expresia (3.41), a deplasării are ca variabilă pe φ_1 , restul mărimilor fiind constante.

Ca urmare, viteza tachetului se calculează cu relația:

$$v_{11} = \delta_1 (\sin \varphi_{11}) \cdot \omega_1 \quad (3.42)$$

iar accelerația:

$$a_{11} = \delta_1 (\cos \varphi_{11}) \cdot \omega_1^2 \quad (3.43)$$

Unghiul φ_2 este egal cu suma dintre φ_1 și unghiul direcțiilor curente ale tachetului, egal cu β_{12} , ca unghiuri cu laturile paralele. Rezultă astfel relația:

$$\varphi_{12} = \varphi_1 + \beta_{12} \quad (3.44)$$

în care φ_1 este valoarea maximă a lui φ_{11} .

Se observă că:

$$\beta_{12} = \chi_{12} = \alpha_2 \quad (3.45)$$

în care

$$\gamma_{12} = \text{arc tg } \frac{a_2(y_{12} - b_2) - b_2(x_{12} - a_2)}{a_2(x_{12} - a_2) + b_2(y_{12} - b_2)} \quad (3.46)$$

și

$$\alpha_2 = \text{arc tg } \frac{a_2(b_1 - b_2) - b_2(a_1 - a_2)}{a_2(a_1 - a_2) + b_2(b_1 - b_2)} \quad (3.47)$$

relația (3.38) devine:

$$\varphi_{12} = \varphi_1 + \gamma_{12} - \alpha_2 \quad (3.48)$$

Deplasarea tchetului pe intervalul arcului al doilea variază conform legii:

$$s_{12} = u_2 - r - \delta_2 \cdot \cos \gamma_{12} \quad (3.49)$$

Pentru a exprima deplasarea explicit în raport cu φ_{12} se înlocuiește γ_{12} cu expresia sa calculată din (3.48) și rezultă relația:

$$s_{12}(\varphi_{12}) = u_2 - r - \delta_2 \cdot \cos(\varphi_{12} - \varphi_1 + \alpha_2) \quad (3.50)$$

corespunzător pentru viteză și accelerație rezultă relațiile:

$$v_{12}(\varphi_{12}) = \omega_1 \delta_2 \sin(\varphi_{12} - \varphi_1 + \alpha_2) \quad (3.51)$$

$$a_{12}(\varphi_{12}) = \omega_1^2 \delta_2 \cos(\varphi_{12} - \varphi_1 + \alpha_2) \quad (3.52)$$

Pentru intervalul arcului al treilea se stabilesc următoarele relații:

$$\varphi_{13} = \varphi_2 + \beta_{13} \quad (3.53)$$

$$\beta_{13} = \pi + \gamma_{13} - \alpha_3 \quad (3.54)$$

$$\gamma_{13} = \varphi_{13} - \varphi_2 + \alpha_3 - \pi \quad (3.55)$$

Deplasarea tchetului:

$$s_{13}(\varphi_{13}) = u_3 - r - \delta_3 \cos(\varphi_{13} - \varphi_2 + \alpha_3) \quad (3.56)$$

Viteza tchetului:

$$v_{13}(\varphi_{13}) = \omega_1 \delta_3 \sin(\varphi_{13} - \varphi_2 + \alpha_3) \quad (3.57)$$

Accelerația tchetului:

$$a_{13}(\varphi_{13}) = \omega_1^2 \delta_3 \cos(\varphi_{13} - \varphi_2 + \alpha_3) \quad (3.58)$$

Se observă că relațiile de calcul ale deplasării, vitezei și

accelerației tacheului își păstrează forma, indiferent de poziția centrului O_j cu condiția măsurării unghiurilor în sens trigonometric direct.

Se considerăm în continuare, cazul unui mecanism de distribuție cu tacheu oscilant, ceea fiind definită prin coordonatele profilului real, figura 3.6.

Se pune deci, problema determinării în pozițiile relative corespunzătoare punctelor date $I(x_1, y_1)$, a unghiului ξ_1 de oscilație a tacheului și a unghiului φ_1 de rotație a camei. Profilul camei se aproximează, pe intervalul dintre două puncte cunoscute, prin arce de cerc.

În triunghiul variabil O_1A_1 rezultă:

$$\xi_1 = \arccos \frac{l_{O_1A_1}^2 + l_{O_1O_2}^2 - l_{O_2A_1}^2}{2l_{O_1O_2} \cdot l_{O_1A_1}} \quad (3.59)$$

în care $l_{O_1A_1}$ și $l_{O_2A_1}$ sînt lungimi date, iar $l_{O_1O_2}$ se calculează cu relația:

$$l_{O_1O_2} = \sqrt{x_1^2 + y_1^2} \quad (3.60)$$

în care x_1 și y_1 sînt coordonatele centrului rolei, care se calculează în funcție de coordonatele punctului de contact $I(x_1, y_1)$ și de unghiul β_1 , pe care raza de curbură a profilului îl face cu abscisa.

$$\beta_1 = \arctg \frac{y_1 - b_1}{x_1 - a_1} \quad (3.61)$$

în care a_1, b_1 sînt coordonatele centrelor de curbură O_1 .
rezultă astfel relațiile:

$$x_{O_1} = x_1 + \frac{r}{\cos \varepsilon_1} \quad (3.62)$$

$$y_{O_1} = y_1 + \frac{r}{\sin \varepsilon_1} \quad (3.63)$$

Se notează cu ε_1 unghiul direcției curente O_1A_1 cu abscisa, iar unghiul $\angle A_1O_1A_2$, cu α_1 .

$$\alpha_1 = \arccos \frac{l_{O_1B}^2 + l_{O_1A}^2 - l_{AB}^2}{2l_{O_1B} l_{O_1A}} \quad (3.64)$$

Se observă că

$$\varepsilon_1 = \widehat{\angle O_1 A B} - \alpha_1 \quad (3.65)$$

în care

$$\widehat{\angle O_1 A B} = \arctg \frac{y_2}{x_2} \quad (3.66)$$

Unghiul de rotație a cantei, φ_1 , se calculează cu relația:

$$\varphi_1 = \varepsilon_1 - \varepsilon_0 \quad (3.67)$$

Când profilul cantei este definit prin coordonatele profilului teoretic, rezolvarea se simplifică prin faptul că se cunosc direct coordonatele centrului rolei, adică x_1 și y_1 .

Se obțin în final, perechi de valori ξ_1, φ_1 , corespunzătoare numărului de puncte date ale profilului.

Pentru determinarea legii de variație a unghiului de oscilație a tachetului $\xi_1 = f(\varphi_1)$, se aproximează profilul real prin arce de cerc corespunzătoare fiecărui interval limitat de două puncte cunoscute. Ca urmare, pe acest interval centrul rolei, se deplasează pe un arc de cerc de rază R_1 , coordonatele lui fiind soluțiile sistemului (3.68) format de ecuațiile cercurilor cu centrul în A_1 și rază l_{A_1B} , respectiv în O_1 și rază R_1

$$\begin{aligned} (x - x_{A_1})^2 + (y - y_{A_1})^2 &= l_{A_1B}^2 \\ (x - a_1)^2 + (y - b_1)^2 &= R_1^2 \end{aligned} \quad (3.68)$$

în care

$$\begin{aligned} x_{A_1} &= l_{O_1A} \cos \varepsilon_1 \\ y_{A_1} &= l_{O_1A} \sin \varepsilon_1 \end{aligned} \quad (3.69)$$

$$\varepsilon_1 = \varphi_0 + \varphi_1 = \alpha \quad (3.70)$$

Rezultă astfel că soluțiile sistemului (3.62) sînt de forma:

$$x_{A_1} = f_{11}(\varphi_1) \quad \text{și} \quad y_{A_1} = f_{12}(\varphi_1) \quad (3.71)$$

aceste soluții fiind valabile pe intervalul dintre două puncte cunoscute. Pe acest interval lungimea $l_{0,1}$ variază în funcție de φ_1 după o lege de formă:

$$l_{0,1} = \sqrt{x_{\xi_1}^2 + y_{\xi_1}^2} \quad (3.72)$$

care introdusă în relația (3.59) determină expresia dependenței unghiului de oscilație al tachetului ξ_1 de rotație al camii φ_1 , pe intervalul considerat.

Uneori rezolvarea acestor aspecte necesare stabilirii dependenței funcționale dintre mișcarea tachetului și mișcarea camii, când se cunosc a priori de valori ale acestor mărimi, se poate simplifica prin folosirea metodelor matematice uzuale de aproximare, ca metoda interpolării și metoda celor mai mici pătrate. Rezultatele astfel obținute pot fi verificate prin folosirea relațiilor de sinteză a profilului.

Rezolvarea tuturor acestor calcule pe calculator asigură operativitate și posibilitatea unor rezultate optimizate.

3.6. Dependența profilului camii de legea de mișcare și tipul mecanismului considerat

Elementul de inițializare a studiului unei distribuții de motor cu ardere internă este opura de distribuție, a se stabiliște prin calculul schimbului de încălzitură sau se adoptă după motor similar. În etapa următoare se aleg legile de mișcare ale supapei la ridicare și coborîre. Urata ridicării și coborîrii, deci unghiurile de rotație a camii, ca și aspectul legilor respective, se stabilesc pe baza unor condiții de optimizare dinamică și de schimb de încălzitură.

Este interesant de observat faptul că, la sinteza mecanismelor cu came, se obțin profile simetrice sau asimetrice, funcție atât de aspectul razurilor de ridicare și coborîre ale legii de mișcare, cât și de tipul mecanismului considerat.

Când cele două ramuri au forme diferite, se obțin prin proiectare, în general, came cu profile asimetrice atât sub aspectul formei, cât și al unghiurilor pe care se dispun.

În cele ce urmează se va analiza corelația unghiurilor de dispunere a profilelor de ridicare și coborîre pentru tipurile de mecanisme cu came utilizate în distribuțiile motoarelor cu ardere internă, fiind legile de ridicare și coborîre sînt identice.

Să considerăm mecanismele din fig. 3.7.

Se remarcă faptul că în mișcarea relativă cană-tachet, se disting două unghiuri:

- unghiul de rotație a camii, φ ;
- unghiul rasei vectoriale a punctului de contact, ψ .

Acese două unghiuri diferă în timpul decării, dar iau valori egale la capătul cursei.

Prin inversarea mișcării relative unghiul φ este materializat între poziția curentă a direcției de translație și poziția sa inițială.

Din geometria zonelor de contact cană-tachet, se observă că în orice poziție intermediară carecure „i”, raza de curbură R_i a profilului nu trece prin centrul de rotație al camii și ca urmare unghiul φ_i va fi diferit de ψ_i , fig. 3.7 a, b, c.

La extremitățile profilului rasele de curbură și rasele vectoriale ale punctului de contact se confundă, adică $R_0 = \rho_0$ și $R_f = \rho_f$ și ca urmare $\varphi_f = \psi_f$, adică cele două unghiuri devin egale.

Dar unghiul φ este argumentul funcției prin care se exprimă legea de mișcare a tachetului, unghiul ψ este unghiul la centru al profilului camii. Dacă la capătul cursei cele două unghiuri devin egale, se subînțelege că dacă ridicarea și coborîrea se fac după aceeași lege, profilul camii rezultate este simetric.

Să considerăm un mecanism cu cană și tachet oscilant cu rolă

fig.3.3.

Se notat cu O - centrul de rotație al canei, cu a - centrul de oscilație a tachetului, cu r - centrul rolei, cu ψ - unghiul direcției mobile O_1 cu direcția inițială O_0 . Observațiile referitoare la relațiile dintre φ_1 și α_1 sînt valabile și în acest caz.

Să considerăm triunghiul variațiilor OAR .

În poziția inițială acesta este complet determinat. Se pot calcula unghiurile α_0 și ξ_0 .

În continuare unghiul ξ se modifică corespunzător legii de mișcare impusă tachetului, adică $\xi_1 = \xi_0 + \xi(\varphi)$, iar unghiul α_1 și latura O_1R iau valori funcție de acesta.

Considerînd triunghiul OAR , pe profilul de ridicare, în două poziții OAR_0 și OAR_1 , se observă următoarea relație între unghiuri:

$$\psi_{1r} = \varphi_1 + \alpha_1 = \alpha_0 \quad (3.73)$$

din care rezultă că:

$$\psi_{1r} \neq \varphi_1, \text{ deoarece } \alpha_1 \neq \alpha_0$$

În ceea ce privește evoluția valorică a unghiului α_1 , se pot stabili următoarele aspecte:

Triunghiul deformațiilor OAR are laturile OA și AR de lungime dată.

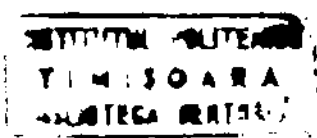
La creșterea unghiului ξ_1 latura OR crește, iar unghiul α_1 se modifică.

Relația de calcul a lui α_1 este dată de legea cosinus și e-

$$\cos \alpha_1 = \frac{l_{AO}^2 + l_{OR}^2 - l_{AR}^2}{2 l_{AO} \cdot l_{OR}} = f(l_{OR}) \quad (3.74)$$

fiind deci o funcție de l_{OR} .

Valoarea lui l_{OR} pentru care α_1 devine maxim este soluția ecuației:



$$r'(l_{01}) = \frac{1}{2 l_{01}} \left(1 - \frac{l_{AO}^2 - l_{AO}^2}{l_{01}^2} \right) = 0 \quad (3.75)$$

din care rezultă:

$$l_{01}^2 = l_{AO}^2 - l_{AO}^2 \quad (3.76)$$

Relația (3.76), corespunzând unui triunghi dreptunghic, demonstrează că α_1 atinge un maxim când unghiul din B este drept.

Ca urmare, α_1 crește odată cu ξ_1 pînă cînd unghiul α_{B1} atinge valoarea de 90° , apoi scade și deci, în cazul cel mai general, unghiul corespunzător porțiunii de profil parcurse de punctul de contact, este diferit de unghiul de rotație a camii.

Pe profilul de coborîre, relația (3.73) devine:

$$\psi_{1c} = \psi_1 + \alpha_1 - \alpha_f \quad (3.77)$$

deci și aici:

$$\psi_{1c} \neq \psi_1$$

Se observă că, în cazul general, valorile maxime ale unghiurilor profilurilor de ridicare și coborîre sînt diferite, și anume:

$$\psi_r \neq \psi_c \quad (3.78)$$

raportul lor fiind determinat de corelația sensurilor de rotație a camii și tachetului. La inversarea sensului de rotație a camii, formele celor două profile se vor modifica. În acest punct de vedere se impune o observație importantă:

În cazul motoarelor policilindrice cu două linii, acționate de arbori cu came, distincți, atunci cînd sensul de rotație al accesorilor este identic, în scopul asigurării unor legi de mișcare identice a supapelor celor două linii, se pot folosi came identice numai dacă legile de mișcare sînt identice la ridicare și coborîre. Camele respective vor staea rola tachetului cu flancurile inverse. Alegînd legi de ridicare și coborîre a supapelor diferite, va rezulta, în mod obligatoriu, necesitatea echipării celor doi arbori de distribuție cu came diferite, fig. 3.9.

4. INFLUENȚA LEGII DE MIȘCARE A SUPAPEI ASUPRA COMPORTĂRII DYNAMICE ALE DISTRIBUȚIEI

4.1. Generalități

Proiectarea mecanismului de distribuție pe baza unei legi de mișcare optimizate a supapei este destinată să confere acestuia calități superioare atât în privința procesului gazodinamic, cât și în privința regimului dinamic de funcționare. Optimizarea legii de mișcare impune astfel analiza modului în care calitățile ei se reflectă asupra funcțiilor principale ale mecanismului de distribuție. Prin aceasta se studiază posibilitatea realizării unor corelații între parametrii funcționali ai motorului, parametrii constructivi ai mecanismului de distribuție și parametrii legii de mișcare.

Problematika realizării unei distribuții corespunzătoare trebuie să cuprindă și preocuparea pentru îndeplinirea unor condiții de siguranță în funcționare și de anșuranță.

Ca urmare, legea de mișcare a supapei, optimizată sub aspectul condițiilor dinamice și de umplere, trebuie să asigure un nivel al solicitărilor elementelor mecanismului în limitele valorilor admisibile.

În scopul verificării acestor condiții este necesară studiarea prin metoda cinetostatică a mecanismului de distribuție, urmată de calculul stărilor de tensiune, precum și a unui calcul de verificare a arcurilor, ținând cont de suprasolicitările dinamice ale acestora.

4.2. Calculul cinetostatic al mecanismului de distribuție

Metoda cinetostatică permite calculul reacțiunilor dinamice din cuplele cinematice și prin aceasta stabilirea stării de sollicitare a elementelor componente ale mecanismului de distribuție. Termenii corespunzători frecării se introduc în calcul prin aproximații succesive.

Mecanismul de distribuție fiind plan, se pot scrie, conform principiului lui d'Alembert, pentru fiecare element câte trei ecuații scalare de echilibru:

$$F_x + F_x \text{ leg} + F_{xi} = 0 \quad (4.1)$$

$$F_y + F_y \text{ leg} + F_{yi} = 0 \quad (4.2)$$

$$M_z + M_z \text{ leg} + M_{zi} = 0$$

Se utilizează indicii 1 ... 7, în concordanță cu numărul elementului asupra căruia acționează forța a, g, i, în concordanță cu originea forțelor: a - forța elastică; g - forța gazelor; i - forța de inerție.

Pentru reacțiuni se utilizează simbolul R, urmat de două cifre, prima indicând numărul elementului de la care provine reacțiunea, a doua, numărul elementului asupra căruia aceasta acționează. Având în vedere caracterul alternativ al mișcării mecanismului, se adoptă ca sens pozitiv al forțelor, sensul accelerațiilor negative.

Elementul 7 - supapa, este acționată de către culbutor prin intermediul patinei 6, figura 4.1.

Supapa se află în echilibru sub acțiunea forței arcului F_{7a} , forței gazelor F_{7g} , forței de inerție F_{7i} , greutateii G_7 și reacțiunilor dinamice cu frecare notate cu asterisc, R_{17}^* și R_{67}^* .

Forțele considerate se calculează cu următoarele relații:

$$\begin{aligned} \bar{F}_{7a} &= F_0 + c \cdot a_7; \quad \bar{F}_{7g} = 1 - \frac{\varphi_2}{\varphi_{2g}} \cdot F_{v8} \\ \bar{F}_{v8} &= \frac{\pi d^2}{4} (P_g - 1); \quad \bar{F}_{71} = -m_7 \cdot a_7 \end{aligned} \quad (4.3)$$

in care:

- φ_{2g} este unghiul de svans la evacuare corespunzător arborelui cu canel; pentru $\varphi_2 > \varphi_{2g}$ se ia $\bar{F}_{7g} = 0$;

- P_g este presiunea gazelor (rezultă din diagramă indicată).
 ecuația vectorială de echilibru a supapei:

$$\bar{F}_{7a} + \bar{F}_{7g} + \bar{F}_{71} + \bar{G}_7 + \bar{R}_{17}^* + \bar{R}_{67}^* = 0 \quad (4.4)$$

se descompune în ecuațiile de proiecție:

$$\bar{F}_{7a} + \bar{F}_{7g} - \bar{F}_{71} - \bar{G}_7 + R_{17y}^* - R_{67y}^* = 0 \quad (4.5)$$

și

$$R_{17x}^* - R_{67x}^* = 0 \quad (4.6)$$

Prin scrierea relațiilor între componentele de frecare și componentele normale ale reacțiunilor R_{17}^* și R_{67}^* rezultă ecuațiile:

$$R_{17y}^* = f_1 \cdot R_{17x}^* \quad (4.7)$$

$$R_{67x}^* = f_1 \cdot R_{67y}^* \quad (4.8)$$

in care f_1 este coeficientul de frecare în cuplurile de transmisie (ghidsaje).

Ecuațiile (4.5 ... 4.8) determină componentele reacțiunilor care se calculează cu relațiile:

$$\begin{aligned} R_{17}^* &= R_{17x}^* \sqrt{1 + f_1^2} \\ R_{67}^* &= R_{67y}^* \sqrt{1 + f_1^2} \end{aligned} \quad (4.9)$$

Elementul 6, împreună cu forțele și momentele care acționează asupra lui este reprezentat în figura 4.2.

Ecuația de echilibru este următoarea:

$$\bar{R}_{76} + \bar{G}_6 + \bar{R}_{56} + \bar{F}_{G1} = 0 \quad (4.10)$$

in care:

$$F_{G1} = - R_6 \cdot a_7 \quad (4.11)$$

reacțiunile se calculează prin aproximații succesive, numărul treptelor de aproximare fiind limitat de precizia impusă.

La prima aproximație se neglijează frecarea în articulație, iar la aproximațiile următoare ea se calculează pe baza rezultatelor anterioare.

În această situație, ecuațiile de proiecții corespunzătoare acestui element sînt:

$$R_{56y}^* - R_{76y}^* + G_6 + F_{G1} = 0 \quad (4.12)$$

$$\text{și} \quad R_{56x}^* = f \cdot R_{76y}^* \quad (4.13)$$

din care se calculează componentele R_{56y}^* și R_{56x}^* ale reacțiunii din articulație cu ajutorul cărora se determină componentele forței de frecare corespunzătoare, cu relațiile:

$$F_{fcx} = f_2 R_{56y}^* \quad (4.14)$$

$$\text{și} \quad F_{fcy} = f_2 R_{56x}^* \quad (4.15)$$

în care f_2 este coeficientul de frecare în cupla de rotație.

Se trece la următoarea aproximație în care se calculează componentele reacțiunii din articulația C, cu considerarea frecării, și anume:

$$R_{56y}^* = R_{76y}^* - G_6 - F_{G1} + F_{fcx} \quad (4.16)$$

$$\text{și} \quad R_{56x}^* = f_1 R_{76y}^* - F_{fcx} \quad (4.17)$$

și componentele forței de frecare:

$$F_{fcx} = f_2 R_{56y}^* \quad (4.18)$$

$$\text{și} \quad F_{fcy} = f_2 R_{56x}^*$$

urînd să se calculeze valoarea rezultantei:

$$R_{56}^* = \sqrt{R_{56x}^{*2} + R_{56y}^{*2}} \quad (4.19)$$

Recalcularea se încheie cînd diferența valorilor reacțiunii rezultante în două aproximații succesive, devine:

$$\varepsilon^* \leq \frac{1}{10} \cdot \varepsilon_5^* \quad (4.20)$$

Momentul de frecare din articulația C se calculează cu relația:

$$M_{f56} = f_2 \cdot \varepsilon_5^* \cdot \frac{d_0}{2} \quad (4.21)$$

în care d_0 este diametrul articulației din C.

poziția reacțiunii R_{76y}^* rezultă din ecuația de momente scrisă pentru elementul C în raport cu punctul C:

$$M_{f56} - R_{76y}^* \cdot h - f_1 \cdot R_{76y}^* \cdot h = 0 \quad (4.22)$$

$$h = \frac{M_{f56} - f_1 \cdot R_{76y}^* \cdot h}{R_{76y}^*} \quad (4.23)$$

Elementul 5 - culbutorul - execută o mișcare oscilantă în jurul articulației A_0 .

Forțele de inerție ale acestui element se reduc la o forță de inerție rezultantă R_{51} , aplicată în centrul său de greutate și la un moment M_{51} al forțelor de inerție.

$$R_{51} = -m_5 \cdot a_5 \quad (4.24)$$

$$M_{51} = -I_{s5} \cdot \varepsilon_5$$

Acest torsor se înlocuiește printr-un sistem echivalent, compus dintr-o forță de inerție tangențială acționând în O_1 , R_{51c} și o forță de inerție normală aplicată în O_1 , R_{51n} :

$$R_{51c} = - \frac{I_{s5} \cdot \varepsilon_5 + m_5 \cdot \varepsilon_5 \cdot l_{30c}^2}{l_{30c}} = - \frac{I_{30c}}{l_{30c}} \cdot \varepsilon_5 = - m_{\text{culb}} \cdot \varepsilon_5 \cdot l_{30c} \quad (4.25)$$

$$M_{51c} = m_5 \cdot \omega_5^2 \cdot l_{30c} \quad (4.26)$$

în care:

m_{culb} - masa culbutorului, m_5 , redusă în O_1 .

În fig. 4.3 este desenat culbutorul cu forțele și momentele ce

acționează asupra lui.

Ecuațiile de proiecții ale forțelor, pentru elementul 5, în prima aproximație, neglijând frecarea, sînt:

$$R_{65x}^* - R_{51c}^* \sin(\beta - \gamma) + R_{51s}^* \cos \vartheta - R_{15x} - R_{45x} = 0 \quad (4.27)$$

$$R_{65y}^* - R_{51c}^* \cos(\beta - \gamma) + R_{51s}^* \sin \vartheta - G_5 - R_{15y} + R_{45y} = 0 \quad (4.28)$$

în care

$\gamma = \arctg \frac{a}{l_{B0c}}$ - unghiul dintre brațele culbutorului

$\vartheta = \arctg \frac{y_B}{x_B}$; x_B, y_B fiind coordonatele centrului de greutate G_5 al culbutorului.

$\beta = \arctg \frac{c}{d} - (\varphi_5 - \pi)$ - unghiul brațului B_0B al culbutorului, cu axa $v - X_0$.

Ecuația de momente în raport cu B_0 , în aceleași condiții, este următoarea:

$$R_{65y}^* \cos(\beta - \gamma) \cdot l_{B0c} + R_{65x}^* \sin(\beta - \gamma) l_{B0c} + R_{51c}^* l_{B0c} + R_{165} + G_5 x_B + R_{45x} l_{B0B} \sin \beta - R_{45y} l_{B0B} \cos \beta = 0 \quad (4.29)$$

Elementul 4 - tija împingătoare, se află în echilibru dinamic sub acțiunea forței de inerție, a greutateii și reacțiilor din A și B, fig.4.4.

Se consideră masa elementului concentrată în A și B.

Ecuațiile de proiecții ale forțelor după direcțiile axelor de coordonate, în prima aproximație, sînt:

$$R_{54x} - R_{34x} + F_{41B}^n \cos \beta + Z_{41B}^t \sin \beta - F_{41A}^n \sin \delta + F_{41A}^t \cos \delta = 0 \quad (4.30)$$

$$R_{54y} - R_{34y} + F_{41B}^n \sin \beta - F_{41B}^t \cos \beta - F_{41A}^n \cos \delta - F_{41A}^t \sin \delta + G_4 = 0 \quad (4.31)$$

în care:

$$F_{41B}^n = \frac{m_3}{2} \cdot \omega_5^2 l_{503}$$

$$F_{41B}^t = -\frac{m_3}{2} \cdot \varepsilon_5 l_{503}$$

(4.32)

$$F_{41A}^n = \frac{m_3}{2} \cdot \omega_3^2 l_{30A}$$

$$F_{41A}^t = -\frac{m_3}{2} \cdot \varepsilon_3 l_{30A}$$

m_3 - masa tijei împingătoare

$$G_4 = m_4 g$$

$$\delta = \arctg \frac{d}{c} + \varphi_3$$

Ecuația de momente în raport cu A, centrul de greutate al elementului 3 este dată de relația:

$$\begin{aligned} & F_{41B}^n \sin \mu \frac{l_{AB}}{2} - F_{41B}^t \cos \mu \frac{l_{AB}}{2} + m_{5Ax} \frac{l_{AB}}{2} \cdot \cos \xi - \\ & - m_{5Ay} \frac{l_{AB}}{2} \sin \xi + F_{41A}^n \frac{l_{AB}}{2} \sin \varepsilon - F_{41A}^t \frac{l_{AB}}{2} \cos \varepsilon + \\ & + m_{3Ax} \frac{l_{AB}}{2} \cos \xi - m_{3Ay} \frac{l_{AB}}{2} \sin \xi = 0 \end{aligned} \quad (4.33)$$

în care:

$$\xi = \arctg \frac{d}{c} + \varphi_4$$

$$\varepsilon = \delta - \xi = \varphi_3 - \varphi_4$$

$$\mu = 2\pi - \varphi_5 + \varphi_4$$

Soluțiile sistemului de ecuații (4.27 ... 33) sînt: R_{15x} , R_{15y} , R_{45x} , R_{45y} , R_{34x} , R_{34y} - componentele reacțiunilor fără frecare din articulațiile B, C și A.

Se calculează, în continuare, reacțiunile și momentele de frecare din articulațiile B, C și A:

$$R_{15} = \sqrt{R_{15x}^2 + R_{15y}^2}$$

$$R_{45} = R_{54} = \sqrt{R_{45x}^2 + R_{45y}^2}$$

$$R_{34} = R_{43} = \sqrt{R_{34x}^2 + R_{34y}^2}$$

(4.34)

$$M_{f15} = f_2 \frac{d_{B2}}{2} R_{15}$$

$$M_{f45} = f_2 \frac{d_3}{2} R_{45}$$

$$M_{f34} = f_2 \frac{d_4}{2} R_{34}$$

Urmează recalcularea reacțiunilor cu frecare, cînd în ecuațiile de momente, (4.29) și (4.33) se introduc și momentele de frecare.

Sistemul de ecuații (4.27 ... 33) ia forma:

$$R_{65x}^* = F_{51c} \sin(\beta - \gamma) + F_{51s} \cos \theta - R_{15x}^* -$$

$$- R_{45x}^* = 0 \quad (4.27^*)$$

$$R_{65y}^* = F_{51c} \cos(\beta - \gamma) + F_{51s} \sin \theta - G_5 -$$

$$- R_{19y}^* + R_{45y}^* = 0 \quad (4.28^*)$$

$$R_{65y}^* \cos \beta l_{B0C} + R_{65x}^* \sin \beta l_{B0C} - R_{51c}^* \cdot l_{B0C} +$$

$$+ R_{165}^* + G_{515}^* + R_{45x}^* l_{B0B} \sin \beta - R_{45y}^* l_{B0B} \cos \beta +$$

$$+ R_{115}^* + R_{145}^* = 0 \quad (4.29^*)$$

$$R_{54x}^* - R_{34x}^* + R_{41B}^n \cos \beta + R_{41B}^t \sin \beta - R_{41A}^n \sin \delta +$$

$$+ R_{41A}^t \cos \delta = 0 \quad (4.30^*)$$

$$R_{54y}^* - R_{34y}^* + R_{41B}^n \sin \beta - R_{41B}^t \cos \beta - R_{41A}^n \cos \delta -$$

$$- R_{41A}^t \sin \delta + G_A = 0 \quad (4.31^*)$$

$$R_{41B}^n \sin \mu = R_{41B}^t \cos \mu + R_{54x}^* \cos \xi - R_{54y}^* \sin \xi +$$

$$+ R_{41A}^n \sin \varepsilon - R_{41A}^t \cos \varepsilon - R_{34x}^* \sin \xi - R_{34y}^* \cos \xi -$$

$$- R_{15x}^* - R_{15y}^* = 0 \quad (4.32^*)$$

Condiția de precizie impusă este:

$$\varepsilon^* = R_{15x}^*(1+\lambda) - R_{15y}^* \leq \frac{1}{10} R_{15x}^*$$

Elementul 3 - tachelul oscilant - execută o mișcare oscilantă în jurul articulației din A_0 .

Forțele de inerție ale acestui element se reduc la un sistem

echivalent ecoups dintr-o forță de inerție tangențială acționând în A , F_{31A} și o forță de inerție normală, aplicată în B , F_{31B} :

$$F_{31A} = - \frac{I_{A3} \cdot \varepsilon_3 + m_3 \cdot \varepsilon_3 \cdot l_{A03}^2}{A0A} = - \frac{I_{A3}}{A0A} \cdot \varepsilon_3 =$$

$$= - m_3 \cdot \varepsilon_3 \cdot l_{A0A} \quad (4.35)$$

$$F_{31B} = m_3 \cdot \omega^2 \cdot l_{A0B} \quad (4.36)$$

în care

m_3 - masa tachetului 3, redusă în A .

În fig. 4.5, este desenat tachetul oscilant cu forțele și momentele ce acționează asupra lui.

Ecuațiile de proiecții ale forțelor, în prima aproximație neglijând frecarea, sînt:

$$R_{43x}^* = R_{13x} + R_{23x} + F_{31B} \sin(\delta_1 + \delta) +$$

$$+ F_{31A} \cos \delta = 0 \quad (4.37)$$

$$G_3 + R_{43y}^* = F_{31A} \sin \delta - R_{23y} + R_{13y} -$$

$$- F_{31B} \cos(\delta_1 + \delta) = 0 \quad (4.38)$$

Ecuația de momente în raport cu punctul A este următoarea:

$$- R_{43y}^* \cdot l_{A0A} \sin \delta + R_{43x}^* \cdot l_{A0A} \cos \delta + F_{31A} \cdot l_{A0A} +$$

$$+ R_{23y} \cdot l_{A0B} \sin(\alpha_3 + \delta) - G_3 \cdot l_{A0B} \sin(\delta_1 + \delta) +$$

$$+ R_{23x} \cdot l_{A0B} \cos(\alpha_3 + \delta) = 0$$

unde:

$$\delta_1 = \left| \arctg \frac{y_B}{x_B} - \arctg \frac{y_{\bar{B}}}{x_{\bar{B}}} \right|$$

reacțiunea R_{2y} fără frecare, acționează pe direcția normalei $n - n$ în punctul de contact al rolei cu cama.

Determinarea sistemului de ecuație (4.37 ... 39) ce conține patru necunoscute, $R_{2x}, R_{2y}, R_{23x}, R_{23y}$ se asigură prin completarea lui cu încă două relații de legătură între reacțiunea R_{23} și componentele sale, exprimate prin intermediul coeficientului unghiular m , al normalei la profilul camei.

$$R_{23x} = R_{23} \cos(\arctg m) \quad (4.40)$$

$$R_{23y} = R_{23} \sin(\arctg m) \quad (4.41)$$

Cînd studiul cinetostatic se face concomitent cu sinteza profilului, coeficientul „ m ” se exprimă prin relația:

$$m = \frac{\frac{\partial F}{\partial y}}{\frac{\partial F}{\partial x}} \text{ respectiv } m = - \frac{dx}{dy} \quad (4.42)$$

În funcție de felul cum este definit profilul camei, implicit sau parametric, se efectuează studiul unui mecanism de distribuție, a cărui camă este definită prin coordonatele centrului rolei, atunci pentru stabilirea lui „ m ” se impune fie determinarea funcției ei profilului, folosind una din metodele cunoscute, - interpolare și a celor mai mici pătrate, întrucît ne aflăm în situația de a cunoaște o dependență numerică între „ m ” valori ale coordonatelor profilului, fie aproximînd pe intervalul dintre trei puncte succesive date, profilul real prin arce de cerc și exprimînd coeficientul unghiular al normalei în funcție de coordonatele punctului dat și coordonatele centrului cercului „ a, b ”, și anume:

$$m = \frac{2y_1 + b}{2x_1 + a} \quad (4.43)$$

Acest din urmă caz implică următoarele considerații:

- punctul considerat va fi punct mijlociu al arcului de aproxima-
re și se va afla în poziția de funcționare dată prin unghiul

$$\psi_1' \quad \psi_1 = \psi_0 + i \cdot p - \varphi_{21} \quad (4.44)$$

în care

$$\psi_0 = \alpha_0 + \text{arc tg } \frac{b}{a} \quad (4.45)$$

p - pasul unghiular între două puncte date

- coordonatele celor trei puncte folosite pentru definirea arcu-
lui de aproximație se calculează cu relațiile:

$$x_1 = k_1 \cos \psi_1 \quad (4.46)$$

$$y_1 = k_1 \sin \psi_1$$

- se formează sisteme de forma:

$$x_{i-1}^2 + y_{i-1}^2 + ax_{i-1} + by_{i-1} + c = 0$$

$$x_i^2 + y_i^2 + ax_i + by_i + c = 0 \quad (4.47)$$

$$x_{i+1}^2 + y_{i+1}^2 + ax_{i+1} + by_{i+1} + c = 0$$

din care rezultă a, b, c și se determină funcția de aproximație

$$f(x, y) = x^2 + y^2 + ax + by + c = 0 \quad (4.48)$$

Coeficientul unghiular al normalei se determină cu relația:

$$m = \frac{\frac{\partial f(x, y)}{\partial y}}{\frac{\partial f(x, y)}{\partial x}} \quad (4.49)$$

Înlocuind expresiile (4.40) și (4.41) în ecuația de momente
(4.3), se obține mărimea reacțiunii fără frecare:

$$\begin{aligned} \mu_{23} &= \frac{k_{43y}^* l_{AOA} \sin \delta - k_{43x}^* l_{AOA} \cos \delta - P_{31A} l_{AOA} + G_3 l_{AOB} \sin(\delta_1 + \delta)}{l_{AO} \sin(\alpha_3 + \delta) \cdot \sin \text{arc tg } m + \cos(\alpha_3 + \delta) \cdot \cos \text{arc tg } m} \\ &= \frac{l_{AO} (k_{43y}^* \sin \delta + k_{43x}^* \cos \delta + P_{31A} + G_3 l_{AOB} \sin(\delta_1 + \delta))}{l_{AO} \cos(\alpha_3 + \delta - \text{arc tg } m)} \quad (4.50) \end{aligned}$$

În continuare, din relațiile (4.37), (4.38) rezultă componentele reacțiunii R_{13}^*

$$R_{13x}^* = R_{23x}^* + R_{43x}^* = F_{31s} \sin(\delta_1 + \delta) + F_{31a} \cos \delta \quad (4.51)$$

$$R_{13y}^* = R_{23y}^* - R_{43y}^* + F_{31s} \cos(\delta_1 + \delta) + F_{31a} \sin \delta - G_3 \quad (4.52)$$

În aproximația următoare, luându-se în considerare frecarea, relația (4.50) se completează cu termenii reprezentând momentele de frecare din cuplurile cinematice: $M_{r13}, M_{r43}, M_{r23}, M_{r23}^*$

$$M_{r13} = f_2 R_{13} \frac{d\Delta}{2} = f_2 \frac{d\Delta}{2} \sqrt{R_{13x}^2 + R_{13y}^2} \quad (4.53)$$

$$M_{r23} = f_2 \cdot h_{23} \cdot \frac{d\Delta}{2}$$

$$M_{r23}^* = \mu \cdot R_{23}$$

μ - coeficient de frecare de rostogolire

Se notează:

$$\Delta = G_3 \cdot l_{103} \cdot \sin(\delta_1 + \delta)$$

În felul acesta, relațiile (4.50, 51, 52) devin:

$$R_{23}^* = \frac{l_{103} (R_{43x}^* \sin \delta + R_{43y}^* \cos \delta + F_{31s}) - M_{r43} + M_{r13} - M_{r23} + M_{r23}^*}{l_{103} \cos(\alpha_3 + \delta) - \text{arc tg } n} \quad (4.50')$$

$$R_{13x}^* = R_{23x}^* + R_{43x}^* = F_{31s} \sin(\delta_1 + \delta) + F_{31a} \cos \delta \quad (4.51')$$

$$R_{13y}^* = R_{23y}^* - R_{43y}^* + F_{31s} \cos(\delta_1 + \delta) + F_{31a} \sin \delta - G_3 \quad (4.52')$$

Condiția de precizie impusă este

$$\varepsilon^* = R_{23x+1}^* - R_{23x}^* \leq \frac{1}{10} R_{23x}^*$$

Cunoscând variația reacțiunii R_{23}^* și a momentului M_{r23} pe un ciclu, se poate determina momentul rezistent la axul cu came

$$M_n = h_{23} \cdot \delta + M_{r32}$$

în care

d - brațul reacțiunii R_{23}^* față de centrul de rotație a
canei.

$$M_{R32} = M_{R23}$$

Momentul M_R , astfel determinat, corespunde unui singur meca-
nism de distribuție. Variația pe un ciclu a momentului rezistent
la arborele cu came al întregii distribuții însumează valorile mo-
mentane corespunzătoare tuturor mecanismelor componente, considera-
te în concordanță cu decalajul dintre came. În relațiile preceden-
te se observă că variația reacțiunii R_{23} normală pe cană este a-
fectată de valoarea coeficientului unghiular al normalei la profil
și ca urmare depinde de forma profilului canei.

Corelația între forța de contact dintre tachet și cană F , re-
acțiunea normală R_{23} și forma canei, se exprimă prin intermediul
unghiului de presiune α .

$$R_{23} = \frac{F}{\cos \alpha} \quad (4.54)$$

Valoarea unghiului de presiune, în cazul mecanismului cu ta-
chet oscilant cu rolă, se determină în funcție de legea de mișcare
a tachetului, de dimensiunile și poziția mecanismului, figura 4.6.
Peste schema mecanismului desenată la scara k_g , se construiește
poligonul vitezelor rabătute, astfel ca viteza canei să fie repre-
sentată prin segmentul BC .

În aceste condiții, scara vitezelor va avea valoarea $k_v = \omega \cdot k_g$.

Viteza rabătută a tachetului se suprapune peste BA , iar vite-
za relativă va fi paralelă cu normala, triunghiul OAB corespunzând
decî vitezelor rabătute.

Se notează cu C piciorul perpendicularei din O pe AB . În tri-
unghiul OAB , unghiul OAB este egal cu unghiul de presiune α .

În figură se observă că:

$$\operatorname{tg} \alpha = \frac{CB}{OC} \quad \text{în care} \quad CB = AB - AC, \quad \text{sau}$$

$$CB = AB - (AE - AO \cos \psi)$$

și

$$AC = AO \sin \psi$$

Înlocuind segmentele prin măsurile ce le reprezintă și scări-
le respective se obține următoarea relație de calcul a unghiului de
presiune:

$$\operatorname{tg} \alpha = \frac{\frac{v_T}{\omega} \pm (l_{AO} \cos \psi - l_{AE})}{l_{AO} \cdot \sin \psi} \quad (4.55)$$

în care semnul (+) și (-) se consideră după cum $l_{AO} > l_{AE}$
și $l_{AO} < l_{AE}$.

În relația (4.55) raportul $\frac{v_T}{\omega}$ reprezintă viteza redusă a cen-
trului rolei s_1 , iar unghiul de oscilație al tchetului, ψ , se poate
înlocui prin suma $\psi = \xi_0 + \frac{s_1}{l_{AE}}$.

Se obține astfel relația:

$$\operatorname{tg} \alpha = \frac{s_1 \pm l_{AO} \cos(\xi_0 + \frac{s_1}{l_{AE}}) - l_{AE}}{l_{AO} \sin(\xi_0 + \frac{s_1}{l_{AE}})} \quad (4.56)$$

care permite studiul variației unghiului de presiune în func-
ție de legea de mișcare a tchetului și dimensiunile mecanismului.

În pozițiile extreme, viteza tchetului fiind zero, relația
(4.56) devine:

$$\operatorname{tg} \alpha = \pm \frac{l_{AO} \cos(\xi_0 + \frac{s_1}{l_{AE}}) - l_{AE}}{l_{AO} \sin(\xi_0 + \frac{s_1}{l_{AE}})} \quad (4.57)$$

Relația (4.57) permite rezolvarea mai multor probleme:

a) cunoscând dimensiunile mecanismului, rasele extreme ale ce-
nei, rase rolei și unghiul de oscilație al tchetului se calculează
valorile unghiului de presiune α , pe cercul de bază și pe vârful
cenei.

b) cunoscând dimensiunile mecanismului și unghiul de presiune
se poate calcula pentru $s_1 = 0$, rasea minimă a profilului teoretic al
cenei. În acest scop se determină unghiul ξ , și apoi folosind tea-

rens cosinus se calculează lungimea l_0 din triunghiul OAT, adică suma dintre raza minimă a camei și raza rolei tachetului.

c) cunoscând dimensiunile mecanismului, unghiul de presiune și unghiul de oscilație maxim al tachetului, se determină suma dintre raza maximă a camei și raza rolei.

Având în vedere dependența dintre forța de contact F și reacțiunea normală R_2 , relația (4.54), precum și dintre F și reacțiunea normală din articulația 1, R_1 , exprimată prin relația:

$$R_{13} = F \cdot \operatorname{tg} \alpha \quad (4.58)$$

rezultă necesitatea proiectării unor mecanisme cană-tachet care să realizeze valori limitate ale unghiului de presiune.

4.3. Considerații asupra compatibilității funcționale a arcurilor mecanismelor de distribuție ale motoarelor

4.3.1. Determinarea elementelor de bază pentru calculul arcurilor

Chiparea distribuției motoarelor cu ardere internă cu arcuri corespunzătoare, constituie o problemă cu implicații atât în privința funcționării, cât și a fiabilității.

Forțele dezvoltate de arcuri trebuie să asigure închiderea forțată a mecanismului de acționare a supapei, deci urmărirea continuă a profilului camei și pentru aceasta ele trebuie să depășească forțele de inerție, îndreptate în sensul desprinderii tachetului de cană și totodată să compenseze efectul forțelor de frecare și gazelor.

Aceste condiții se exprimă prin relațiile:

$$F_a = \alpha F_{is} \quad (4.59)$$

și

$$F_0 > \frac{\pi d_1^2}{4} p \quad (4.60)$$

în care:

F_2 - forța arcului; în mod obișnuit, valoarea sa maximă;

F_{12} = $M_2 \cdot a_2$ forțe de inerție a mecanismului de distribuție, reduse la supapă;

M_2 - masă echivalentă a mecanismului de acționare, redusă la supapă;

$\alpha = 1,3 \div 1,6$ - coeficient de siguranță;

a_2 - accelerația maximă negativă a supapei; legile cele mai exacte mișcării supapei au această valoare la capătul cursei;

$$p = 4,5 \div 4,8 \text{ daN/cm}^2;$$

d_1 - diametrul secțiunii supapei.

Pentru calculul lui F_{12} este necesară cunoașterea sistemului real al forțelor de inerție corespunzătoare mecanismului considerat, figura 4.7.

Se observă faptul că componentele normale ale forțelor de inerție corespunzătoare navelor oscilante sînt preluate de articulații, în mecanism transmitîndu-se numai componentele tangențiale.

Pentru considerată tendința mecanismului, ce sub acțiunea sistemului forțelor de inerție, să se deplaseze în sensul deschiderii supapei. Arcurile au rolul de a echilibra prin forțele această tendință, asigurînd continuitatea mișcării. Ca urmare, F_{12} se determină dintr-un calcul cinetostatic, avînd semnificația componentei verticale a reacțiunii dinamice reduse la supapă, mecanismul fiind încărcat cu forțele de inerție ale elementelor. F_2 apare ca o forță de echilibrare.

Se obține astfel expresia:

$$F_{12} = \left[(F_{12a} + F_{12b}) \cos \varphi \cos \varphi + F_{12c} \right] \cos \beta_1 \sqrt{\frac{p d_1^2}{4 \sigma_c}} + F_{12d} \cos \beta_1 + F_{12e} \quad (4.61)$$

în care înlocuind termenii cu expresiile lor în funcție de

masă și accelerație, rezultă relația:

$$M_B \cdot a_B = \left[(m_t + \frac{m_4}{2}) \varepsilon_2 l_{AOA} \cos \varphi \cdot \cos \psi + \frac{m_4}{2} \varepsilon_4 l_{BOB} \right] \cdot \cos \beta_1 \frac{l_{BOB}}{l_{BOC}} + m_{culb} \varepsilon_4 \cdot l_{BOC} \cos \beta_1 + m_7 \cdot a_7 \quad (4.62)$$

Relația (4.62) permite calcularea valorii forței de inerție reduse la supapă în funcție de masele elementelor componente, de dimensiuni și de accelerațiile punctelor mecanismului.

Pentru calculele curente se pot face simplificări; astfel din expresia accelerației supapei

$$a_B = l_{BOC} \omega_4^2 \sin \beta_1 - l_{BOC} \varepsilon_4 \cos \beta_1 \quad (4.63)$$

se poate neglija primul termen datorită valorilor mici ω_4 și β_1 , apoi elementul (3), tija, execută o mișcare foarte apropiată de o translație astfel încît

$$\varepsilon_2 l_{AOA} \cos \varphi \cos \psi \approx \varepsilon_4 l_{BOB} \quad (4.64)$$

În felul acesta relația (4.62) ia forma:

$$M_B \cdot l_{BOC} \cdot \varepsilon_4 \cos \beta_1 = (m_t + m_4) \cdot \varepsilon_4 l_{BOB} \cos \beta_1 \frac{l_{BOB}}{l_{BOC}} + m_{culb} \varepsilon_4 l_{BOC} \cos \beta_1 + m_7 l_{BOC} \cdot \varepsilon_4 \cos \beta_1 \quad (4.65)$$

Operațiunile simplificării se obține relația de calcul a masei echivalente reduse la supapă a mecanismului de distribuție.

$$M_B = (m_t + m_4) \left(\frac{l_{BOB}}{l_{BOC}} \right)^2 + m_{culb} + m_B + \frac{m_{SGS}}{3} + m_{gal} + m_{taler} \quad (4.66)$$

Cînd mecanismul este echipat cu tachet în mișcare de translație, în relație vor interveni masa integrală a tachetului și accelerația absolută, care la motoarele cu dimensiuni și turații ridicate, vor determina valori mai mari ale forței de inerție reduse și in-

plicit forțe mai mari ale arcurilor.

Considerând în cele două variante constructive că tacheții ar avea aceeași masă, forța de inerție tangențială corespunzătoare tachețului oscilant este o traine din forța de inerție corespunzătoare tachețului în mișcare de translație; în realitate, varianta cu tacheț oscilant asigură masa mai mică, ceea ce conferă un plus de avantaj din acest punct de vedere.

După determinarea valorii F_{10} a forței de inerție corespunzătoare accelerației maxime negative, va putea fi determinată valoarea necesară a forței corespunzătoare a arcurilor, care în mod obișnuit este forța lor maximă, accelerația maximă negativă realizându-se la capătul cursei.

Așa cum s-a arătat la studiul legilor de mișcare, atunci când variația accelerației este lină în zona valorilor negative, variația forței arcurilor va putea urmări pe o zonă largă variația forței de inerție asigurând mecanismului așa numita „stare de plutire”. Ca urmare se va putea determina rigiditatea optimă a arcurilor, coeficientul „ α ” putând lua valori sub limitele menționate; totodată se poate preciza presiunea maximă de contact p_{\max} dintre tacheț și cană, care nu trebuie să depășească valoarea admisibilă.

Cu elementele astfel precisate urmează să fie formulate datele pentru calculul arcurilor. Ele se referă la diametrul exterior, lungimea de montaj, forța de lucru, forța inițială de montaj, cursa activă de lucru, numărul de cicluri de variație a solicitării pe minut.

După stabilirea dimensiunilor, se determină eforturile unitare efective, obținute prin adunarea la solicitarea statică a solicitării dinamice, datorate regimului de oscilații al arcurilor.

4.3.2. Verificarea arcurilor de distribuție luind în considerare suprasolicitările dinamice

Ca urmare a considerațiilor din 3.2 se impune verificarea adecvată a arcurilor.

În fig.4.8 este prezentată variația amplitudinii oscilațiilor unui arc de supapă, luând în considerare mai multe armonici.

Se vede că în cazul rezonanței influența celorlalte armonici este foarte mică, ceea ce dovedește justetea simplificării prin considerarea numai a armonicii de rezonanță.

În ecuația (2.95), c_1 este cunoscut din analiza armonică a funcției cursei, astfel că în afara factorului amortizării b , toate elementele necesare calculului sînt cunoscute. Cercetările lui Hassmann [35] dau lămuriri asupra mărimii ei.

Se remarcă valori minime ale amortizării pentru tensiuni inițiale normale. La tensiuni mai mari, crește amortizarea datorită lovirii reciproce a spirelor, iar la tensiuni mai mici, datorită saltului capetelor arcului pe talere. Deoarece în ecuația (2.93) amortizarea se află la numitor, interesează numai valoarea ei minimă, fig.4.9.

Se poate astfel efectua calculul solicitărilor suplimentare, datorate oscilațiilor, la un arc dat, pentru o camă dată.

Dacă turația arborelui cu came poate oscila între n_1 și n_2 , atunci se va stabili pentru fiecare armonică, corespunzătoare valorilor întregi i cuprinse între $\frac{n_1}{n_1}$ și $\frac{n_2}{n_2}$, amplitudinile c_i , apoi amortizarea b și în final solicitarea $\bar{\sigma}_i \max$, după care se calculează solicitarea alternantă totală, corespunzătoare fiecărei armonici i , considerate.

Se trebuie să fie mai mică decât solicitarea oscilantă admisibilă.

În caz că nu este satisfăcută această condiție, se vor modi-

fica dimensiunile arcului sau, în extrem, cama.

De obicei este suficient să se analizeze rezonanța pentru oscilația fundamentală ($\lambda = 1$) deoarece rezonanța pentru oscilațiile de ordin superior se află la valori ale numerelor de ordine i , foarte mari, ale căror amplitudini sunt foarte mici.

Se poate lucra, în consecință, cu un coeficient de siguranță mai mic decât cel obișnuit în calculul static, având în vedere apropierea considerațiilor de calcul, de cele reale.

Experimental se constată că solicitările reale sînt inferioare celor rezultate din calcul din cauza elasticității mecanismului, care atenuează șocurile mai dure, datorate profilului necorespunzător al camei. Solicitățile calculate se manifestă numai la turațiile de rezonanță - turații critice - care practic nu trebuie să dureze prea mult timp, aceasta în cazul motoarelor cu turație variabilă, ca de exemplu motoarele autovehiculelor. În cazul motoarelor cu un grad de neuniformitate al turației mic, se pot alege astfel condițiile încît turația nominală să fie în afara valorilor critice.

Considerînd cazul unei came polidine care asigură supapei o lege de mișcare sinustică $f(\varphi)$, etapele calculului sînt următoarele:
- se stabilește pulsația proprie a oscilației fundamentale a arcului, cu relația:

$$\omega_n = \frac{\tilde{\pi} \cdot a_n}{30}$$

$$\text{în care } a_n = 3,2 \frac{\tau'_{-1}}{h}$$

$$\tau'_{-1} = \frac{\tau - \tau_0}{\psi} \quad \text{efortul specific alternant static}$$

$$\tau = \frac{3k \cdot D^3}{d^3} \quad \text{efortul specific pentru supape deschise}$$

$$\tau_0 = \frac{3k \cdot D^3}{d^3} \quad \text{efortul specific pentru supape închise}$$

$$\psi = \frac{1 + \nu_1 \varepsilon^2}{j - 1} \quad \text{factor de răscuire}$$

$$j = \frac{z^B}{d} \quad \text{indicele arcului}$$

- se calculează turările critice, cuprinse între $n_{c \min}$ și $n_{c \max}$, le corespund valorilor i întregi cuprinse între $\frac{n_n}{n_{c \max}}$ și

$$\frac{n_n}{n_{c \min}}.$$

- corespunzător valorilor i se calculează efortul suplimentar maxim $\bar{\sigma}_1 \max$ cu relația (2.93) în care c_1 , amplitudinea armonicei perturbatoare, este egală cu a_1 , b_1 fiind nulă.

Fiind cunoscută de jocul supapei, α_j fiind unghiul de consumare a jocului, amplitudinea a_1 se calculează cu relația:

$$\begin{aligned} \frac{\gamma}{2} a_1 = & -\frac{1}{1^2} f_2''(\alpha_1) \cos 1 \alpha_1 + \frac{1}{1^3} f_2'''(\alpha_1) \sin 1 \alpha_1 + \\ & + \frac{1}{1^4} \left\{ \cos 1 \alpha_1 f_2''''(\alpha_1) - \cos 1 \alpha_2 [f_2''''(\alpha_2) - f_3''''(\alpha_2)] - \right. \\ & - \cos 1 \alpha_3 [f_3''''(\alpha_3) - f_4''''(\alpha_3)] - \cos 1 \alpha_4 [f_4''''(\alpha_4) - \\ & - f_5''''(\alpha_4)] - \cos 1 \alpha_5 f_5''''(\alpha_5) \left. \right\} - \frac{1}{1^5} \left\{ \sin 1 \alpha_1 f_2''''(\alpha_1) - \right. \\ & - \sin 1 \alpha_2 [f_2''''(\alpha_2) - f_3''''(\alpha_2)] - \sin 1 \alpha_3 [f_3''''(\alpha_3) - f_4''''(\alpha_3)] - \\ & - \sin 1 \alpha_4 [f_4''''(\alpha_4) - f_5''''(\alpha_4)] - \sin 1 \alpha_5 f_5''''(\alpha_5) \left. \right\} - \frac{1}{1^6} \cdot \\ & \left\{ \cos 1 \alpha_1 f_2''''(\alpha_1) - \cos 1 \alpha_2 [f_2''''(\alpha_2) - f_3''''(\alpha_2)] - \cos 1 \alpha_3 \cdot \right. \\ & \left. [f_3''''(\alpha_3) - f_4''''(\alpha_3)] - \cos 1 \alpha_4 [f_4''''(\alpha_4) - f_5''''(\alpha_4)] - \right. \\ & \left. - \cos 1 \alpha_5 f_5''''(\alpha_5) \right\} \quad (4.67) \end{aligned}$$

În cazul adoptării legii de mișcare a supapei de tip λ urs, expresiile funcțiilor componente și ale derivatelor necesare pentru

calculul lui a_1 sînt prezentate mai jos.

Din relația (2.36) rezultă:

$$\text{pentru } \alpha \in [\alpha_1, \alpha_2] \quad \text{unde } \alpha_2 = \alpha_1 + \vartheta_0$$

$$\text{și } \alpha - \alpha_1 = \varphi_0$$

$$r_2^{\prime}(\alpha) = s_0^{\prime} = a_0 \frac{\tilde{J}}{2\vartheta_0} \sin \frac{\tilde{J}}{2\vartheta_0} (\alpha - \alpha_1)$$

$$r_2^{\prime\prime}(\alpha) = s_0^{\prime\prime} = a_0 \left(\frac{\tilde{J}}{2\vartheta_0}\right)^2 \cos \frac{\tilde{J}}{2\vartheta_0} (\alpha - \alpha_1)$$

$$r_2^{\prime\prime\prime}(\alpha) = s_0^{\prime\prime\prime} = -\left(\frac{\tilde{J}}{2\vartheta_0}\right)^3 r_2^{\prime}(\alpha)$$

$$r_2^{\prime\prime\prime}(\alpha_1) = 0; \quad r_2^{\prime\prime\prime}(\alpha_2) = -a_0 \left(\frac{\tilde{J}}{2\vartheta_0}\right)^3$$

$$r_2^{\text{IV}}(\alpha) = s_0^{\text{IV}} = -\left(\frac{\tilde{J}}{2\vartheta_0}\right)^4 r_2^{\prime\prime}(\alpha)$$

$$r_2^{\text{IV}}(\alpha_1) = -a_0 \left(\frac{\tilde{J}}{2\vartheta_0}\right)^4; \quad r_2^{\text{IV}}(\alpha_2) = 0$$

$$r_2^{\text{V}}(\alpha) = s_0^{\text{V}} = \left(\frac{\tilde{J}}{2\vartheta_0}\right)^5 r_2^{\prime}(\alpha)$$

$$r_2^{\text{V}}(\alpha_1) = 0; \quad r_2^{\text{V}}(\alpha_2) = a_0 \left(\frac{\tilde{J}}{2\vartheta_0}\right)^5$$

Din relația (2.40) rezultă:

$$\text{pentru } \alpha \in [\alpha_2, \alpha_3] \quad \text{unde } \alpha_3 = \alpha_1 + \vartheta_0 + \vartheta_1$$

$$\text{și } \alpha - \alpha_1 - \vartheta_0 = \varphi_1$$

$$r_3^{\prime}(\alpha) = s_1^{\prime} = a_{12} \left(\frac{\tilde{J}}{\vartheta_1}\right)^3 \cos \frac{\tilde{J}}{\vartheta_1} (\alpha - \alpha_1 - \vartheta_0)$$

$$f_3^{III}(\alpha_2) = c_{12} \left(\frac{\tilde{J}}{\nu_1}\right)^3; \quad f_3^{III}(\alpha_3) = -c_{12} \left(\frac{\tilde{J}}{\nu_1}\right)^3$$

$$f_3^{IV}(\alpha) = s_1^{IV} = -c_{12} \left(\frac{\tilde{J}}{\nu_1}\right)^4 \sin \frac{\tilde{J}}{\nu_1} (\alpha - \alpha_1 - \vartheta_0)$$

$$f_3^{IV}(\alpha_2) = 0; \quad f_3^{IV}(\alpha_3) = 0$$

$$f_3^V(\alpha) = s_1^V = -\left(\frac{\tilde{J}}{\nu_1}\right)^2 f_3^{III}(\alpha)$$

$$f_3^V(\alpha_2) = -c_{12} \left(\frac{\tilde{J}}{\nu_1}\right)^5; \quad f_3^V(\alpha_3) = c_{12} \left(\frac{\tilde{J}}{\nu_1}\right)^5$$

in relația (2.43) rezultă:

pentru $\alpha \in [\alpha_3, \alpha_4]$ unde $\alpha_4 = \alpha_1 + \vartheta_0 + \vartheta_1 + \vartheta_2$

și $\alpha - \alpha_1 - \vartheta_0 - \vartheta_1 = \varphi_2$

$$f_4^{III}(\alpha) = s_2^{III} = -c_{22} \left(\frac{\tilde{J}}{2\nu_2}\right)^3 \cos \frac{\tilde{J}}{2\nu_2} (\alpha - \alpha_1 - \vartheta_0 - \vartheta_1)$$

$$f_4^{III}(\alpha_3) = -c_{22} \left(\frac{\tilde{J}}{2\nu_2}\right)^3; \quad f_4^{III}(\alpha_4) = 0$$

$$f_4^{IV}(\alpha) = s_2^{IV} = c_{22} \left(\frac{\tilde{J}}{2\nu_2}\right)^4 \sin \frac{\tilde{J}}{2\nu_2} (\alpha - \alpha_1 - \vartheta_0 - \vartheta_1)$$

$$f_4^{IV}(\alpha_3) = 0; \quad f_4^{IV}(\alpha_4) = c_{22} \left(\frac{\tilde{J}}{2\nu_2}\right)^4$$

$$f_4^V(\alpha) = s_2^V = -\left(\frac{\tilde{J}}{2\nu_2}\right)^2 f_4^{III}(\alpha)$$

$$f_4^V(\alpha_3) = c_{22} \left(\frac{\tilde{J}}{2\nu_2}\right)^5; \quad f_4^V(\alpha_4) = 0$$

in relația (2.44) rezultă:

pentru $\alpha \in [\alpha_4, \alpha_5]$ unde

$$\alpha_5 = \alpha_1 + \vartheta_0 + \vartheta_1 + \vartheta_2 + \vartheta_3$$

și

$$\alpha - \alpha_1 - \vartheta_0 - \vartheta_1 - \vartheta_2 = \varphi_3$$

$$f_5'''(\alpha) = s_3''' = -24 C_{31} \vartheta_3 - (\alpha - \alpha_1 - \vartheta_0 - \vartheta_1 - \vartheta_2)$$

$$f_5'''(\alpha_4) = -24 C_{31} \vartheta_3; \quad f_5'''(\alpha_5) = 0$$

$$f_5^{IV}(\alpha) = s_3^{IV} = 24 C_{31}; \quad f_5^{IV}(\alpha_4) = f_5^{IV}(\alpha_5) = 24 C_{31}$$

$$f_5^V(\alpha) = s_3^V = 0$$

Prin folosirea funcției modificate a lui $s_1(\varphi)$ - echivalentul lui $f_3(\alpha)$ în analiza armonică, rezultă următoarele expresii aferente relației (4.87)

$$f_3'''(\alpha) = s_1''' = \frac{120 \frac{1}{2} \tilde{\pi}}{\vartheta_1^2} \left(1 - 2 \frac{\alpha - \alpha_1 - \vartheta_0}{\vartheta_1}\right)$$

$$f_3'''(\alpha_2) = \frac{120 \frac{1}{2} \tilde{\pi}}{\vartheta_1^2}; \quad f_3'''(\alpha_3) = -\frac{120 \frac{1}{2} \tilde{\pi}}{\vartheta_1^2}$$

$$f_3^{IV}(\alpha) = s_1^{IV} = -\frac{240 \frac{1}{2} \tilde{\pi}}{\vartheta_1^3} = ct$$

$$f_3^V(\alpha) = s_1^V = 0$$

Din diagrama fig.4.9 se extrage valoarea amortizării minime și se calculează solicitarea totală alternantă cu relația (2.94).

4.4. Influența lăcii de mișcare a supapei asupra secțiunii efective

O sarcină importantă a proiectării distribuției m.a.i. este realizarea condițiilor necesare pentru ca în cilindru să se introducă o cantitate cât mai mare de încălțură proaspătă. Criteriul perfecțiunii umplerii îl constituie coeficientul de umplere, η_v . Un element important al diminuării acestui indice îl constituie pierderile gazodinamice prin canalul de admisie, supapei revenindu-i rolul

hotărîtor.

Aceasta controlează prin forma, dimensiunile și legea de mișcare, mărimea și variația secțiunilor transversale oferite trecerii încălzirii proaspete în cilindru, precum și devierea direcției a ceteia. Creșterea secțiunilor de trecere poate fi realizată prin majorarea atât a diametrului, cât și a cursei supapei sau prin folosirea a două supape de admisie pe cilindru.

Majorarea dimensiunilor supapei determină creșterea masei sale și implicit a forțelor de inerție ale mecanismului de distribuție.

Utilizarea a două supape de admisie pe cilindru, asigură creșterea comodă a secțiunii totale, dar complică construcția chiulasei precum și mecanismul de acționare al supapelor.

În ceea ce privește mărirea cursei supapei, această soluție determină creșterea forțelor de inerție din cauza valorilor mărite ale accelerațiilor.

Dezvoltarea camelor polidine a dus la realizarea unor legi de mișcare ale supapei capabile să asigure un regim dinamic corespunzător la turații ridicate, astfel încât creșterea cursei să poată servi drept cale sigură pentru îmbunătățirea performanțelor motorului.

Influența supapei de admisie asupra coeficientului de umplere se manifestă în primul rând, prin secțiunea litrică:

$$A_L = \frac{A_{tm}}{V_s} \quad (4.68)$$

în care

A_{tm} este secțiunea de trecere medie, a supapei de admisie.

V_s - cilindrul.

Cursa maximă a supapei se alege, principial, astfel încât să se realizeze secțiunea litrică corespunzătoare tipului motorului considerat. Uneori ea se determină din condiția ca secțiunea oferită de supapă la ridicarea ei maximă să fie egală cu secțiunea canalului.

Secțiunea de trecere A_t , corespunzător notațiilor din figura 4.10, are expresia:

$$A_t = \frac{\tilde{\pi}}{2} [(d_c + 2h \cos \gamma \sin \gamma) + d_c] \cdot h \cos \gamma \quad (4.69)$$

Produsul dintre coeficientul de debit μ și secțiunea de trecere A_t , μA_t , reprezintă secțiunea efectivă A_{ef} .

Ea se poate prezenta și sub forma $\mu \sqrt{F_v}$, în care produsul $\mu \sqrt{F_v}$ reprezintă un indice ce caracterizează calitatea tehnică de curgere a ansamblului organelor de admisie, iar F_v este secțiunea scaunului supapei.

Ca urmare, studiul corelației dintre legea de mișcare a supapei și secțiunea efectivă poate fi abordat pe două căi:

- prin efectul legii de mișcare asupra secțiunii de trecere A_t ;
- prin influența legii de mișcare asupra indicelui de curgere $\mu \sqrt{F_v}$.

Din expresia (4.68) se observă că secțiunea de trecere A_t este o funcție de gradul doi a deplasării supapei h , ceea ce face ca utilizarea curselor majorate ale supapei să fie o soluție avantajoasă pentru creșterea secțiunii efective.

Creșterea secțiunii de trecere A_t se reflectă în majorarea indicilor T_s , relația (4.70) și U_s , relația (4.71), cu consecințe pozitive asupra performanțelor motorului.

$$T_s = \int A_t dt \quad (4.70)$$

$$U_s = \int A_t d = \pi \frac{V_s \cdot \tilde{\pi}}{V_c} \quad (4.71)$$

în care n este turația arborelui cotit

v_g - viteza medie de curgere a gazului.

$\frac{V_s \cdot \eta \cdot V}{V_s}$ - volumul cinematic de fluid.

Volumul cinematic de fluid fiind o mărime evasieconstantă pentru un motor dat, rezultă că realizarea unor turații majorate impune creșterea corespunzătoare a „uesului”, în a cărui expresie secțiunea de trecere A_t poate fi exprimată ca o funcție de unghiul de rotație al camii. Forma acestei funcții derivă din expresia (4.69) și din legea de mișcare a supapei, rezultând astfel relația:

$$\int_0^{2\psi_r} A(\varphi) d\varphi = \pi \frac{V_s \cdot \eta \cdot V}{V_s} \quad (4.72)$$

în care $2\psi_r$ este unghiul de rotație al camii, corespunzător intervalului de mișcare al supapei, pentru o lege simetrică. Se constată astfel că sporirea timpului secțiune al legii de mișcare a supapei, reprezentând creșterea valorilor intermediare ale deplasării, constituie un mijloc important pentru măștrarea US-ului supapei.

Determinările efective, ale căror rezultate sînt prezentate în capitolul 6, evidențiază avantajele oferite de legile de mișcare optimizate.

În cazul unei legi de mișcare constituite din mai multe secțiuni se va considera integrala pe porțiuni. Relația (4.72) completează în felul acesta tabloul condițiilor funcționale pe care trebuie să le îndeplinească legea de mișcare aleasă, fiind o condiție utilizabilă pentru verificarea valorilor coeficienților care asigură „uesul” necesar. În cadrul calculului de optimizare „uesul” apare deci ca un parametru cu valoare finală impusă.

Utilizarea calculatorului permite corelarea acestei valori cu valorile optime ale celorlalți parametri, evitînd complicarea relațiilor de determinare a coeficienților legii și permițînd controlul eficient al restricțiilor introduse.

Produsul μ^V se determină experimental în condițiile unui regim de curgere staționar, deci diferit de cel real; cu toate acestea, rezultatele obținute pot servi drept indici de comparație și funcționării diferitelor motoare.

În mod obișnuit indicele μ^V se reprezintă în funcție de raportul dintre cursă și diametrul șanului supapei $\frac{h}{d_0}$. Curba $\mu^V = f\left(\frac{h}{d_0}\right)$ poate fi interpretată ca și caracteristica statică a canalului considerat și constituie un criteriu de comparație a calităților de curgere ale diferitelor canale.

Adunarea în evidență a influenței legii de mișcare a supapei asupra indicelui μ^V se poate realiza prin reprezentarea variației lui în raport cu unghiul de rotație al arborelui cu came, figura 4.11. Pentru un anumit canal, în condițiile menținerii nemodificate a dimensiunilor și arhitecturii sale, utilizarea legilor de mișcare cu timp-secțiune sperii permite obținerea unor creșteri substanțiale ale indicelui μ^V .

În concluzia considerațiilor rezultate din acest capitol este necesar să se sublinieze faptul că optimizarea distribuției motoarelor cu ardere internă implică satisfacerea simultană a unor condiții complexe, a căror rezolvare necesită corelarea aspectelor cu caracter dinamic și gazodinamic.

Caracterul laborios al calculelor impune utilizarea calculatorului. Soluția finală rezultă ca sintesă a cercetărilor etapizate pentru realizarea integrală a optimizării.

5. INSTALAȚII ȘI METODE DE EXPERIMENTARE. PRECIZIA

INSTALAȚIE.

Verificarea rezultatelor analitice și corelarea elementelor de calcul cu parametri reali ai mecanismelor studiate a fost realizată cu ajutorul următoarelor instalații experimentale:

5.1. Instalația pentru studiul distribuției

motorului D-103

Primele măsurări au vizat distribuția motorului D-103 echipată cu un ax cu came cu profile din arce de cerc și tacheți plani concentrici, mișcarea transmitându-se la supape prin intermediul unui mecanism prevăzut cu tijă împingătoare și calbutor. Acest tip de mecanism de distribuție cu arbore de distribuție inferior, a cărui rigiditate poate fi cuprinsă între 130 și 900 $\frac{\text{daN}}{\text{cm}}$ face ca între legea de mișcare generată de camă și legea de mișcare reală a supapei să apară diferențe sesizabile.

Pentru cercetările experimentale s-a realizat standul nr. 1, echipat cu un arbore cu came și două mecanisme de distribuție de tip D-103, unul de admisiune și al doilea de evacuare.

Standul s-a conceput astfel încât să servească atât determinărilor statice, cât și celor dinamice.

În acest scop el a fost echipat pentru măsurătorile statice, cu un mecanism de acționare de tip melc-roată și sistem indicator fixat pe capătul opus al arborelui cu came figura 5.1 a, iar pentru măsurătorile dinamice, cu un motor electric și o transmisie cu curea, figura 5.1 b, ce permite acționarea lui la diferite turații.

Studiul experimental a început cu determinări statice, măsurându-se cu comparatorul (1) profilele camelor și cu (2) deplasările supapelor.

Cu această ocazie s-au putut constata, la unii arbori de distribuție noi, diferențe substanțiale între profile și între legile de

mişcare ale supapelor impuse de came de același tip și deci, implicit diferențe față de legile de mișcare prescrise.

Aceste abateri, provenite din prelucrare, determină de la început, funcționarea mecanismului de distribuție în condiții înrăutățite, constând din apariția unor forțe de inerție majorate, ce cauzează pe de o parte sufloricitări, iar pe de altă parte desprinderi, datorită depășirii forței arcului; abaterile de profil generează, de asemenea, șocuri în sistem.

Măsurătorile dinamice s-au desfășurat pe standul echipat cu o instalație electronică de tip AET, determinându-se deplasările, vitezele și accelerațiile supapelor.

Scheema bloc a instalației electronice de măsură, se prezintă în figura 5.2.

5.1.1. Prelucrarea rezultatelor experimentale

Mădăcina medie pătratică (M.M.) a semnalului cercetat se poate citi pe instrumentul aparatului 3, etalonat la începutul măsurării. Pentru etalonare s-a folosit o masă de etalonare și un generator Urteil-1, iar, de asemenea, amplitudinea semnalului se poate calcula în raport cu amplitudinea oscilogramei; astfel dacă se notează cu: A_s - amplitudinea oscilogramii semnalului cercetat, A_e - amplitudinea oscilogramii semnalului etalon, s_e - amplitudinea M.M. a semnalului etalon, a_s și a_e - scările de amplificare ale semnalelor de cercetat și etalon, atunci valoarea M.M. a semnalului cercetat se calculează cu relația:

$$I_0 = \frac{s_e \cdot A_s \cdot a_e}{A_e \cdot a_s}$$

iar amplitudinea semnalului se calculează cu relația $I = \sqrt{2} \cdot I_0$

Figura 5.3 reprezintă semnalele etalon pentru:

- deplasare, avind $s_e = 2,4$ mm, amplitudinea oscilogramii $A_e = 59$ mm, la scara $a_e = 32 \times 10^{-4}$ l;

- viteză, avind $s_0 = 0,7 \frac{m}{s}$, amplitudinea oscilogramei $A_0 = 13$ mm, la scara $a_0 = 10 \times 0,1$;

- accelerație, avind $s_0 = 55 \frac{m}{s^2}$, amplitudinea oscilogramei $A_0 = 17,5$ mm, la scara $a_0 = 100 \times 1$.

Din analiza preciziei aparatului de oscilografare optică, rezultă că valorile intermediare ale parametrului analizat „1” sînt proporționale cu ordonatele „ A_x ” ale oscilogramei, factorul de proporționalitate fiind raportul $\frac{I}{A_0}$. Erorile corespunzătoare acestor determinări sînt prezentate în tabelul 5.1 și se situează în jurul lui 1%.

Simplificarea modului de prelucrare a rezultatelor experimentale se referă la oscilogramele deplasării, vitezei și accelerației supapei.

Oscilograma deplasării, figura 5.4., este încadrată într-un sistem de axe rectangulare φ ca, avind în abscisă unghiul de rotație al camei. Cu amplitudinea oscilogramei $A_0 = 63$ mm și scara de amplificarea $a_0 = 10 \times 0,1$ se obține cursa supapei $h = \sqrt{2} \cdot \frac{2,4 \cdot 63 \cdot 3,2}{59,1,0} = 11,6$ mm

Coeficienții axelor au valorile

$$k = \frac{h}{A_0} = \frac{11,6}{63} \frac{mm}{mm}$$

$$k_0 = \frac{h}{A_0} = \frac{11,6}{63} \frac{mm}{mm}$$

Ca urmare unghiular $\varphi_2 = 16^\circ$, $\varphi_3 = 27^\circ$ și $\varphi_v = 71^\circ$, reprezentative pentru profilul considerat, ele corespunzînd punctelor de racordare ale arcilor ce compun profilul camei, le vor corespunde în diagramă abscisele l_1 calculabile cu relația:

$$l_1 = \frac{r_1}{k \varphi}$$

avind următoarele valori:

$$l_{\varphi_2} = 10,7 \text{ mm}$$

$$l_{\varphi_3} = 18,2 \text{ mm}$$

$$l_{p_v} = 47 \text{ mm}$$

Valorile „ s_x ” ale deplasării se obțin amplificând ordonatele corespunzătoare absciselor de mai sus cu scara k_s , adică:

$$s_x = A_x \cdot k_s$$

și au valorile de mai jos:

$$s_2 = 0,874 \text{ mm}$$

$$s_3 = 2,03 \text{ mm}$$

$$h = 11,6 \text{ mm}$$

În figura 5.5 se prezintă oscilogrammele vitezelor și accelerațiile supapei. Amplitudinea oscilogrammei vitezei fiind $A_v = 27 \text{ mm}$ și scara de amplificare $a_v = 10 \times 0,1$, se obține pentru viteza maximă valoarea:

$$v = \sqrt{2} \cdot \frac{0,7 \cdot 27 \cdot 1}{13,1} = 2,06 \frac{\text{m}}{\text{s}}$$

Amplitudinea pozitivă a oscilogrammei accelerației este $A_{op} = 36 \text{ mm}$ și scara de amplificare 32×1 , valoarea accelerației este:

$$a = \sqrt{2} \frac{55 \cdot 36 \cdot 100}{17,5 \cdot 32} = 495 \frac{\text{m}}{\text{s}^2}$$

5.2. Instalația pentru cercetarea profilului caxelor

În scopul experimentării unor caxe cu profile optimizate a fost realizat standul nr.2, figura 5.6.

În aceste condiții, alături de caxele divizate din arborele de distribuție al motorului D-103, au fost experimentate caxe cu profile optimizate, figura 5.7.

Se remarcă formă mult mai plină a caxei cu profil optimizat - 1, în raport cu forma ascuțită a caxei cu profil din arce de cerc - 2, ceea ce atestă diferența certă în privința timpilor-secțiune.

Oscilogrammele obținute cu caxe optimizate, evidențiază parametri cinematici îmbunătățiți, figura 5.3.

În raport cu parametrii caxei de referință, prin utilizarea caxei optimizate se obține: a) creșterea cronosecțiunii legii cu

20%, ceea ce se reflectă proporțional asupra timpului-sectiune al su-papei; b) reducerea vitezei maxime cu 25%; c) reducerea valorilor extreme ale accelerației cu 40%.

5.3. Dispozitive mecanice și electrice

5.3.1. Dispozitiv pentru modelarea mecanică a mecanismu-lui de distribuție

Pentru simplificarea amenajărilor necesitate de instalația ex-perimentală în vederea experimentării distribuțiilor altor motoare s-a realizat dispozitivul din figura 5.9.

În figura 5.10, a, se prezintă fotografia dispozitivului.

Pentru măsurarea parametrilor cinematici ai mecanismelor cu rigidități mari se folosește dispozitivul modificat, figura 5.10 b; este eliminat secul de arcuri taler, astfel că tachetul acționează direct masa adițională.

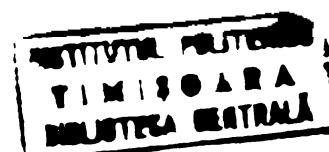
Pentru măsurarea legii de mișcare a tachetului, ca și pentru modelarea mecanismelor cu arbore de distribuție superior la care ma-se echivalentă este neglijabilă, se utilizează o soluție simplifica-tă, prezentată în figura 5.11. Tachetul 1, prezentat aici în varianta cu rolă, este menținut în contact cu cama de către arcul 2. Traducto-rul se montează pe capătul exterior al tachetului.

5.3.2. Traductor inductiv de viteză

Pentru creșterea preciziei de redare a vitezei, asigurată prin evitarea integrării semnalului primit de la traductorul de accelera-ție, s-a realizat, în concepție originală, un traductor inductiv de vi-teză, figura 5.12. Schema lui este reprezentată în fig. 5.1.3

Fotografia din figura 5.14 reprezintă standul nr.2 echipat cu dispozitivul de modelare mecanică a distribuției și cu traductorul inductiv de viteză.

Pentru evacuare se folosește un cilindru de tablă, care acoper traductorul, figura 5.15.



Valoarea ridicată a semnalului ($1,5 \div 2 V$) permite redarea lui directă printr-un osciloscop de serviciu, fără amplificator suplimentar, ceea ce simplifică substanțial condițiile experimentale.

5.3.3. Dispozitiv pentru determinarea constantei elastice a mecanismului de distribuție

Valoarea constantei elastice „k” a mecanismului de distribuție, este necesară pentru calculul parametrilor cinematici ai mecanismului de distribuție, cu considerarea elasticității acestuia.

Pentru determinarea ei a fost proiectat dispozitivul din figura 5.16, de concepție originală, echipat cu un dinamometru de tip pot-coavă, avînd constanta elastică $k_p = 200 \frac{\text{daN}}{\text{mm}}$. Deformațiile mecanismului și diametrului se măsoară cu două comparatoare.

Dispozitivul se așează pentru măsurare, cu montanții - 10 pe chiulasa motorului, tija colierului se introduce în ghidul supapei și colierul ridică culbutorul, ca în figura 5.17.

În mod riguros, rigiditatea mecanismului nu este constantă; variația ei pe ciclu fiind mică, pentru simplificarea calculelor s-a lucrat cu valoarea constantei elastice corespunzătoare ridicării maxime a supapei.

5.3.4. Arbori de distribuție cu came anovibile pentru încercări pe monocilindri experimentali

Rezultatele obținute pe instalațiile experimentale au permis verificarea metodelor analitice și soluțiilor obținute pe această cale, definitivîndu-se, sub aspect dinamic, profilul camei de optimizare. O asemenea camă, realizată pentru motorul D-103, este prezentată în figura 5.7.

În consecință au fost proiectați arbori de distribuție, cu came anovibile, pentru monocilindri D-103 și I.N.A.T., în soluții de asamblare cu dantură frontală și cu bușe elastice.

În figura 5.18 a,b, se prezintă arborele de distribuție realizat pentru monocilindrul D-103, în soluția cu dantură frontală, arborele 1 este prevăzut cu canal de pană pentru fixarea bușei distanțiere 2, camele 3 fixându-se prin dantura frontală DF, prelucrată pe umerii lor și ai bușei și stringerea axială cu șurubul 4; butucul 5 se assemblează prin pană paralelă. Bușa distanțieră 2, este prevăzută cu diviziuni pentru poziționarea camelor.

Pentru monocilindrul I.N.M.T. s-au realizat arbori de distribuție în ambele variante de asamblare.

Prima variantă executată a fost cu bușe elastice, figura 5.19 a,b.

Soluția constă din camele 1 asamblate pe arborele 2 prin bușă elastică 3, strânsă axial cu piulița 4; butucul 5 se montează cu pană paralelă și se strânge cu piulița 6. Bușă intermediară se assemblează prin pană paralelă și este prevăzută cu diviziuni pentru poziționarea camelor.

Varianta a doua a fost executată în soluția de asamblare cu dantură frontală și a fost experimentată cu bune rezultate pe monocilindru.

5.3.5. Dispozitiv cu came sablon indexabil pentru prelucrarea arborilor de distribuție monobloc.

Prezintă realizarea arborilor de distribuție cu came monobloc, în variante diferite ale fazelor de distribuție pentru policilindri, implicând echiparea mașinii de rectificat arbori cu came, cu un șablon cu came indexabil, figura 5.20.

Cele trei părți componente și anume: 1 - corpul; 2 - came de amplasare și 3 - came de evacuare, sînt prevăzute cu găuri a de indexare.

Modificarea cu un grad a intervalelor dintre găurile piesei mijlocii - came 2, față de intervalele pieselor laterale, 1 și 3, face

posibilă decalarea lor relativă cu oite un unghi ce poate lua valori de la 0 la $\pm 8^\circ$, din grad în grad, prin fixarea corespunzătoare a știfturilor 4.

5.4. Ensemblele instalației experimentale

În figura 5.21 este prezentată instalația completă în timpul efectuării determinărilor. Se observă în principal: dispozitivul de modelare mecanică a distribuției, cutia standului, motorul electric, oscilografal cu bucle, traductori piezoelectrice de accelerație montate pereche pentru redarea simultană a doi parametri.

O schemă electronică modificată, utilizabilă pentru măsurarea, vizualizarea și oscilografieră parametrilor cinematici ai elementului studiat, precum și pentru analiza armonică a acestor mărimi, este prezentată în figura 5.22.

Ea se compune din: 1 - traductor (de deplasare, de viteză sau de accelerație); 2 - traductor inductiv fără contact, pentru poziție; 3 - punte tensometrică U₁ III; 4 - aparat cu un canal pentru măsurat vibrații SA 213; 5 - aparat cu trei canale pentru măsurat vibrații SA 231; 6 - oscilograf cu bucle 12 LS-1; 7 - sursă NG 4 pentru alimentarea lămpii oscilografului; 8 - sursă NG 3 pentru alimentarea motorășelor oscilografului.

Instalația experimentală realizată poate fi adoptată fără dificultăți diferitele tipuri de distribuții, permițând verificarea operativă a soluțiilor preconizate și asigurând reducerea încercărilor de optimizare a fazelor de distribuție pe motor.

Completarea acestor încercări cu analiza cinematică și cinetostatică, precum și cu analiza dinamică a arcurilor crează o imagine complexă asupra calităților soluției considerate.

5.5. Prezenta măsurării

Aparatele de măsură dinamice ar trebui să redă cu mare fidelitate amplitudinea și faza mărimii măsurate. La oscilografieră ep-

tică apar erori datorită sistemului optic și transportului hirtiei pe de o parte și datorită mecanismului de măsură pe de altă parte.

Cunoașterea aprofundată a tuturor mărimilor de influență permite menținerea erorii totale în limite destul de mici. Principalele erori se pot clasifica în felul următor:

1. erori datorate opticii oscilografului. Aici apare eroarea tangențială și eroarea de translație a fasciculului.

2. erori ale echipamentului mobil sub influența cimpului magnetic. Aici apar erori de tip cosinus și cinactice.

5.5.1. erori tangențiale

Corespondent variației în timp a mărimii de măsurat, oglinda și spotul luminos execută o mișcare de rotație în jurul axei oglinzii. Pentru o proporționalitate perfectă a oscilogramăi ar trebui ca hirtia de înregistrat să aibă în direcția spotului o curbă cu raza egală cu distanța dintre axa oglinzii și ecran. O conducere curbă a hirtiei este, practic, foarte greu de realizat din motive constructive și funcționale. Din această cauză apare așa zisă eroare tangențială, figura 5.23.

Se consideră cazul general, când spotul luminos formează cu perpendiculara la hirtia de înregistrare un unghi φ , determinat fie de un reglaj al galvanometrului buclă, fie ca urmare a variației mărimii de măsurat.

Pe baza legii reflexiei aceasta corespunde unei devieri a oglinzii echipamentului mobil cu $\varphi/2$. Deci dacă oglinda deviază cu $\Delta\varphi/2$ atunci spotul luminos deviază cu $\Delta\varphi$, descriind arcul s. $\Delta\varphi$, iar pe hirtia de înregistrat apare devierea $\Delta\alpha$. Se poate scrie relația:

$$\frac{\Delta\alpha}{s \cdot \Delta\varphi} = \frac{\operatorname{tg}(\varphi + \Delta\varphi) - \operatorname{tg}\varphi}{\Delta\varphi} \quad (5.1)$$

și dezvoltând în serie membrul drept rezultă:

$$\frac{\Delta\alpha}{s \cdot \Delta\varphi} \approx 1 + \varphi^2 + \varphi \cdot \Delta\varphi + \frac{(\Delta\varphi)^2}{3} \quad (5.2)$$

Se definește ca eroare tangențială relativă expresia:

$$\frac{\Delta \varphi}{z \cdot \Delta \varphi} \approx \varphi^2 + \varphi \cdot \Delta \varphi + \frac{(\Delta \varphi)^2}{3} \quad (5.3)$$

În relația (5.3) rezultă că la $\varphi \neq 0$ apar erori diferite pentru $+\Delta$ și $-\Delta\varphi$, ele fiind minime pentru $\varphi = 0$.

Figura 5.24 este reprezentarea grafică a relației (5.3) având ca parametru unghiul φ .

Pentru realizarea unei erori tangențiale minime se recomandă montarea galvanometrelor în blocul galvanometric, astfel ca spotul luminos să cadă perpendicular pe hirtia de înregistrare.

5.5.2. Erori de translație

La oscilografele cu spot luminos în fața hirtiei de înregistrare se află o lentilă cilindrică. În secțiune orizontală ea se comportă ca o placă plan-paralelă cu grosimea „d” prin care spotul luminos suferă o translație în sensul descreșterii deviației. Rezultă o eroare ΔC a deviației punctului luminos pe hirtia de înregistrat, denumită eroare de translație. Pentru calculul ei, conform figurii 5.25 se utilizează relația:

$$\Delta C = d \quad \text{tg}(\varphi + \Delta\varphi) - \text{tg} \varepsilon \quad (5.4)$$

Eroarea relativă are expresia:

$$\frac{\Delta C}{z \cdot \Delta \varphi} = \frac{d}{z \cdot \Delta \varphi} [\text{tg}(\varphi + \Delta\varphi) - \text{tg} \varepsilon] \quad (5.5)$$

În care introducând indicele de refracție al sticlei

$$n = \frac{\sin(\varphi + \Delta\varphi)}{\sin \varepsilon} \quad (5.6)$$

și pentru unghiuri mici înlocuind funcțiile sin și tg prin arcele corespunzător, se obține:

$$\frac{\Delta C}{z \cdot \Delta \varphi} = \frac{d}{z \cdot \Delta \varphi} (\varphi + \Delta\varphi) \left(1 - \frac{1}{n}\right) \quad (5.7)$$

Pentru $\varphi = 0$, adică spotul perpendicular pe hirtia de înregistrat, rezultă relația:

$$\frac{\Delta \varphi}{s \cdot \Delta \varphi} = \frac{d}{s} \left(1 - \frac{1}{n}\right) = \text{const.} \quad (5.8)$$

Și în legătură cu erorile de translație se păstrează observația că valorile minime corespund cazului când galvanometrul se reglează astfel ca spotul luminos să cadă perpendicular pe hîrtia de înregistrare; în această situație eroarea tangențială relativă este constantă pentru toate valorile. Mărimea acestei erori este determinată în principal de construcția oscilografului.

5.5.3. Erori cosinus

Curentul I proporțional cu mărimea de măsurat produce, în interacțiune cu câmpul magnetic permanent al blocului galvanometric, un moment rotitor M_{dI} asupra bobinei echipajului mobil al galvanometrului buclă. Acest moment rotitor se determină cu relația:

$$M_{dI} = B \cdot b \cdot l \cdot n \cdot I \quad (5.9)$$

în care

B este inducția magnetică

b , lățimea activă a bobinei

l , lungimea bobinei

n , numărul de spire ale bobinei.

Introducînd în relația (5.9) lățimea geometrică a bobinei, figura 5.25, ea devine:

$$M_{dI} = B \cdot b' \cdot l \cdot n \cdot I \cos(\varphi \pm \Delta\varphi) \quad (5.10)$$

În relația (5.10) se constată că momentul rotitor descrește cu creșterea deviației bobinei, rezultînd eroarea de cosinus.

Deși se notează:

$$M_{dI \text{ nec}} = B \cdot b' \cdot l \cdot n \cdot I \quad (5.11)$$

momentul rotitor necesar pentru $(\varphi \pm \Delta\varphi) = 0$, rezultă pentru eroarea cosinus relativă, expresia:

$$\frac{M_{dI} - M_{dI \text{ nec}}}{M_{dI \text{ nec}}} = \cos(\varphi \pm \Delta\varphi) - 1 \quad (5.13)$$

La calcularea erorii cosinus se are în vedere că sistemul se rotește cu $\varphi/2$ la o deviație φ a spotului luminos. Pentru această eroare să fie minimă este necesar ca galvanometrul tijă să fie astfel reglat în blocul galvanometric încât spotul luminos să fie în plan orizontal perpendicular pe hirtia de înregistrare, atunci când prin bobina galvanometrului știft nu circulă curent.

5.5.4. Erori dinamice

La redarea unei oscilații armonice, prin echipamentul mobil, apar erori de amplitudine și fază datorită parametrilor proprii ai sistemului oscilant. Modul în care frecvența proprie a instrumentului, frecvența măsurată și gradul de amortizare influențează redarea unei oscilații armonice este caracterizată prin următoarele relații:

$$A_n = \frac{1}{(1 - n^2 x^2)^2 + (2\alpha n x)^2} \quad (5.13)$$

și

$$\frac{t_{1n}}{T_0} = \frac{1}{2\pi n x} \cdot \arctg \frac{2\alpha n x}{1 - n^2 x^2} \quad (5.14)$$

în care

A_n este amplitudinea armonicilor de ordinul n

t_{1n} - întârzierea

T_0 - perioadă proprie a sistemului neamortizat

$$x = \frac{f}{f_0}$$

α - grad de amortizare

Dependența amplitudinii și a defasării de raportul x pentru diferite valori ale lui α , este reprezentată în figurile 5.27, 5.28.

Galvanometrele știft tip Zschlitz Nr. 4623.11 sînt acordate pe un grad de amortizare optim $\alpha = 0,6 \dots 0,7$ și au frecvența proprie $f_0 = 1000$ Hz.

În aceste condiții se realizează pe un domeniu de frecvență egal cu $0,5$ din frecvența proprie, o dependență constantă a amplitu-

dinii de x , abaterile regiunii de sensibilitate dinamic față de cel static, fiind mai mici de $\pm 10\%$; în aceleași condiții raportul t_1/T_0 se păstrează constant pe un domeniu de 50% din frecvența proprie, abaterile fiind de $\pm 5\%$.

Oscilogramela, analizate în cadrul acestui esportol, corespund deplasării vitezei și accelerației supapei mecanismului de distribuție în cazul utilizării unei came armonice de tip L-103 și respectiv a unei came optimizate, de tip polidin. În acest scop s-au folosit traductori piezoelectrice de accelerație, calibrarea aparatului făcându-se cu un preamplificator Brüel & Kjær Tip 4292 pentru un semnal $g \text{ m/s}^2$ și un traductor inductiv, Tip Inf - 102 a cărui etalonare s-a făcut în raport cu un semnal lent. Rezultatele prelucrării acestor oscilograme și precizia lor sînt prezentate în tabelul 5.1.

Măsurile notate cu asterisc corespund camei polidino.

În concluzia acestei analize se desprinde importanța utilizării unei instalații de măsură adecvate pentru redarea fenomenului urmărit.

Oscilogramela obținute în cadrul încercărilor au pus în evidență superioritatea parametrilor realizați prin folosirea acestor tipuri de came.

Tabelul 5.1

Fig.	Parametrul, valoare	Traductor	Deviația spotului mm	E r o r i			
				tang	transl	cos	Total
0	1	2	3	4	5	6	7
5.4	$h = 11,6 \text{ mm}$	deplasare	63	1,7	- 1	$-0,548$	$0,15$
5.4	$x_2 = 1,874 \text{ mm}$	accelerometru	4,5	0	- 1	$-0,007$	$-1,007$
5.4	$x_3 = 2,03 \text{ mm}$	"	14	0,1	- 1	$0,027$	$-0,9$
5.5	$v = 2,06 \text{ m/s}$	"	27	0,2	- 1	$-0,13$	$-0,92$
5.5	$a = 475 \text{ m/s}^2$	"	36	0,4	- 1	$-0,157$	$0,8$

	0	1	2	3	4	5	6	7
5.8	$h = 12,1$ mm de deplasare	51	1,5	- 1	-0,58	-0,08		
5.8	$v = 1,7$ m/s accelerastru	15	0,1	- 1	-0,06	-0,96		
5.8	$a = 261$ m/s ²	"	20	0,1	- 1	-0,06	-0,96	

5.6. Consideratii asupra preciziei de executie a profilului

Elementul determinant al realizării practice a condițiilor prevăzute la proiectarea mecanismului de distribuție este calitatea prelucrării profilului cunelor. În punct de vedere dinamic se apreciază ca satisfăcătoare precizia profilului care asigură abaterea sa mică de 5% ale accelerației maxime reale față de cea proiectată.

Desigur, precizia profilului este condiționată de procedeul tehnologic de prelucrare, precum și de metoda de poziționare a așchii.

Datorită complexității informațiilor necesare pentru prelucrarea profilului, s-a generalizat metoda de prelucrare prin copiere.

Ca urmare, erorile de prelucrare pot proveni din procesul de copiere propriu-zisă și din prelucrarea șablonului.

Problemele preciziei procesului de copiere fiind generale, în cele ce urmează se analizează elementele generate de prelucrarea șablonului, el fiind purtătorul informațiilor prelucrate prin proiectare.

Procedeele de prelucrare a șablonului sînt următoarele:

- trasare în coordonate și prelucrare ulterioară a profilului prin frezare și ajustare manuală;
- frezare în coordonate;
- eroziune electrică cu electrod filiform.

În ceea ce privește asigurarea poziției relației semifabricat-sculă se pot distinge următoarele metode:

- prin control numeric în trepte finite cu lungime mică

$$\delta = 2 \mu s$$

- prin pași cu comandă automată a lunginii și direcției de deplasare;
- prin controlul manual al poziției.

Primele două metode prezintă avantajul că elimină erorile datorate factorului uman.

În cazul poziționării prin prima metodă, figura 5.29, condițiile de precizie posibile situează abaterile minime ale profilului în intervalul $\pm \frac{\delta}{2}$.

Reducerea erorilor de prelucrare se obține folosind un șablon cu dimensiuni amplificate de 5 + 10 ori față de camă reală.

În fiecare caz precizia prelucrării este condiționată de o alegere corespunzătoare a punctelor prin care se definește profilul. S-a constatat că o amplasare prea apropiată a acestora poate deveni sursă de erori.

Relația criterială recomandată pentru calculul decalajului unghiular θ dintre două puncte succesive date, are următoarea expresie:

$$h \cdot \Delta \theta = \sqrt{r \delta - \delta^2} = 2 \sqrt{r \delta} \quad (5.15)$$

în care

h este raza polară a punctului inițial

r - factorul de amplificare a dimensiunilor șablonului

δ - eroarea datorată rugozităților suprafeței generate care se calculează cu relația:

$$\delta = \frac{\Delta}{4,4}, \Delta \text{ fiind înălțimea rugozității.}$$

Toleranța rezultată din considerațiile amintite, precum și în raport cu posibilitățile de control este $2t = 6\delta$.

Erorile astfel generate sînt locale și necumulative și se caracterizează prin înaltă frecvență, apropiată de frecvența sculei.

Pe lângă aceste erori se mai produc și erori periodice datorate

uzurii sculei, deformațiilor rezultate prin modificarea temperaturii, deascentrărilor etc. Frecvența acestor erori este foarte apropiată de frecvența sistemelor următoare și de aceea sînt dăunătoare pentru funcționarea mecanismului de distribuție al motorului. Domeniul de toleranțe corespunzător erorilor periodice cuprins între 0,01 mm poate genera abateri ale accelerației de 5 - 10 %.

În mod efectiv, mișcarea reală a sistemului acționat de camă se compune din mișcarea proiectată, primară, peste care se suprapune o componentă secundară, căreia îi vor corespunde componente secundare ale vitezei și accelerației. Aceste componente pot fi asociate celor două tipuri de abateri radiale t și unghiulare ε , măsurate pe direcții perpendiculare figura 5.30, efectul lor total obținîndu-se prin însumare. Rezultatele statistice permit aproximarea abaterilor radiale între $\pm \frac{t}{6}$, pentru fiecare interval $\Delta\theta$, figura 5.31.

Folosind notațiile:

$$e_c = y_c - y_c \quad , \quad \Delta z = \frac{\Delta\theta}{\omega}$$

$$e_{c-1} = \frac{t}{6} \quad , \quad e_c = -\frac{t}{6} \quad , \quad e_{c+1} = \frac{t}{6}$$

Se obțin pentru componentele radiale ale vitezei și accelerației secundare relațiile:

$$v_{tc} = \frac{e_{c+1} - e_c}{\Delta z} = \frac{\omega}{6} \frac{t + t}{\Delta\theta} = \frac{2t}{6\Delta\theta} = \frac{t}{3\Delta\theta} \quad (5.16)$$

$$a_{tc} = \frac{e_{c+1} - 2e_c + e_{c-1}}{(\Delta z)^2} = \frac{\omega^2}{6(\Delta\theta)^2} (t + 2t + t) = \frac{2\omega^2 t}{3(\Delta\theta)^2} \quad (5.17)$$

din care se poate constata că realizarea practică a parametrilor proiectați ai mișcării se poate asigura prin reducerea erorilor t corespunzătoare unor pași unghiulari $\Delta\theta$ cît mai mari.

Deoarece condițiile de prelucrare impun limitarea lui $\Delta\theta$, valoarea lui se va stabili din relația (5.17) punînd condiția ca valoarea componentei secundare a accelerației să nu depășească o valoare maximă acceptabilă.

lă, astfel se obține:

$$\Delta \theta = 2\omega \sqrt{\frac{t}{6 a_{\theta \max}}} \quad (5.1)$$

corespunzător erorilor unghiulare, abaterile rezultate se situează între $\pm \frac{\varepsilon}{6}$ figura 5.32, unde $\varepsilon = 2$ secunde. Functele proiectate sînt a^*, β^*, γ^* , iar cele realizate a, β, γ . Notînd cu „m” tangenta trigonometrică a profilului canai, care într-un domeniu de ordinul θ poate fi considerată constantă, figura 5.33, se obțin relațiile:

$$\theta_{0-1} = \theta_{0-1} - \gamma_{0-1} = m \frac{\varepsilon}{6}$$

$$\theta_0 = -m \frac{\varepsilon}{6}$$

$$\theta_{0+1} = m \cdot \frac{\varepsilon}{6}$$

și componentele unghiulare ale vitezei și accelerației unghiulare:

$$v_{\varepsilon_0} = \frac{\theta_{0+1} - \theta_0}{\Delta t} = \frac{\omega m}{6} (\varepsilon + \varepsilon) = \frac{\omega m \cdot \varepsilon}{3 \cdot \Delta \theta} \quad (5.19)$$

$$a_{\varepsilon_0} = \frac{\theta_{0+1} - 2\theta_0 + \theta_{0-1}}{(\Delta t)^2} = \frac{4\omega^2 m \varepsilon}{6(\Delta \theta)^2} = \frac{2\omega^2 m \varepsilon}{3(\Delta \theta)^2} \quad (5.20)$$

putîndu-se stabili și în acest caz o valoare limită a lui ω . Relațiile de calcul ale vitezei și accelerației secundare totale sînt următoarele:

$$v_0 = \frac{\omega}{3} (t + m\varepsilon) \quad (5.21)$$

$$a_0 = \frac{2\omega^2}{3(\Delta \theta)^2} (t + m\varepsilon) \quad (5.22)$$

Pentru θ se obține următoarea expresie:

$$\Delta \theta = \omega \sqrt{\frac{3(t + m\varepsilon)}{C \cdot a_{\theta \max}}} \quad (5.23)$$

în care factorul C ia valori diferite în funcție de precizia necesară a profilului, spre exemplu $C = \frac{1}{20}$ pentru o precizie ridicată, $C = \frac{1}{10}$ pentru precizie foarte bună și $C = \frac{1}{5}$ pentru precizie ne-

die.

În cele prezentate se poate constata că stabilirea valorii optime a lui Δz ca măsură a intervalului dintre două puncte succesive de definire a profilului, este o problemă cu aspecte contradictorii, deoarece pe de o parte, reducerea sa determină creșterea componentelor vitezei și accelerației secundare, iar creșterea sa implică și creșterea erorilor de prelucrare a profilului pe intervalul respectiv.

Este necesar de remarcat, influența mărimii cursei asupra comportării mecanismului. Astfel prin creșterea cursei, cresc viteza, accelerația și șocul, ceea ce implică creșterea forțelor de inerție, înrăutățirea regimului dinamic, a solicitărilor și o uzură mai mare. În plus cresc și dimensiunile camei, dar scade importanța erorilor, sistemul devenind mai puțin sensibil față de aceleași abateri de prelucrare. Pentru corelarea elementelor prezentate cu condițiile concrete de execuție, în cele ce urmează sînt prezentate pe scurt, câteva echipamente de performanță accesibile pentru prelucrarea șablonului, și anume:

- Mașina de prelucrat prin electroeroziune cu electrod filiform, AGIECUT - DEM 25, realizînd suprafața maximă de prelucrare de $250 \times 250 \text{ mm}^2$ și adîncimea maximă de 80 mm. Ea poate prelucra profile liniare și din arce de cerc după procedul prin trepte finite, capetele segmentelor respective trebuînd să fie precizate prin coordonatele lor rectangulare. Astfel pe baza unui cod se poate comanda realizarea segmentului de profil, între două puncte succesive, sub formă de segment de dreaptă, utilizînd programul G 01; creșterile Δx și Δy ale coordonatelor în raport cu punctul precedent, fiind introduse pe bandă perforată figura 5.34, sau sub formă de arc de cerc, cu programele G 03 sau G 02, după cum sensul de prelucrare este trigonometric direct, respectiv invers, figura 5.35 și perforată pe bandă Δx , Δy ale profilului și Δi , Δj ale centrului de curburi, față de punctul

inițial.

Sistemul de prelucrare între două puncte succesive, ce urmează să fie unite printr-un segment de dreaptă sau arc de cerc, este de tipul cu control automat în trepte cu laturile de $1/\mu$.

Abaterile datorate sistemului de conducere al firului sînt atenuate de însuși procedul de prelucrare prin electroeroziune care impune asigurarea mărimii interstițiului de lucru, astfel ca profilul proiectat să se poată realiza cu o precizie ridicată.

În scopul realizării cotelor prescrise, mașina este echipată cu un sistem de corecție, care face posibilă modificarea coordonatelor cu $\pm 999/\mu$ spre a se putea ține cont de diametrul firului și mărimea interstițiului, grosimea firului putînd varia între 0,05 și 0,3 mm, iar mărimea interstițiului luînd valori în funcție de material și de grosimea semifabricatului, care influențează regimul.

- Mașina de prelucrat prin electroeroziune cu electrod filiform $\phi\lambda = 1$, cu urmărire optică, asigurînd un gabarit de $100 \times 100 \times 40$ mm.

Un cap echipat cu celulă fotoelectrică urmărește desenele executînd în acest scop deplasări longitudinale și transversale comandate de motoare electrice de tip pas cu pas. Pentru realizarea unei precizii de prelucrare cît mai ridicată, scările utilizabile ale desenelelor sînt: 10; 20; 30; 50.

Canalele amovibile utilizate pentru realizarea programului experimental au fost prelucrate la Întreprinderea Electrotimiz prin procedul de copiere după șablon, folcînd în acest scop mașina de rectificat prin copiere.

În final, se subliniază că valorile $\Delta \theta$ utilizate la calculul profilelor optimizate de autor, sînt $\Delta \theta = 0,5^\circ$ pentru tacheți cu rolă și $\Delta \theta = 1^\circ$ pentru tacheț plan și corespund cu datele precizate în lucrările de specialitate cele mai recente [96].

6. ANALIZA ȘI CERCETAREA

Cercetarea teoretică și experimentală desfășurată în cadrul tezei a condus la obținerea unor rezultate a căror analiză permite cunoașterea factorilor de optimizare și influența acestora asupra funcționării mecanismului de distribuție.

6.1. Analiza parametrilor dinamici ai mecanismelor de distribuție carcate

Optimizarea dinamică a mecanismului de distribuție al motorului D - 103 a necesitat cercetarea prealabilă a comportării lui în condițiile generate de cama armonică, de referință.

În acest scop au fost determinați teoretic și experimental, parametrii cinematiici și supapei.

Valorile teoretice corespunzătoare expresiilor (2.71) sînt foarte apropiate de acelea de intrare, impuse de profilul camii, de care diferă prin raportul $\frac{R^2}{1-n^2}$, ce amplifică al doilea termen.

Astfel, pentru legea de mișcare generată de cama armonică avînd parametrii:

$$\begin{array}{ll} \alpha_0 = 108^\circ & R_0 = 0,161 \text{ mm} \\ \alpha_1 = 117^\circ & R_1 = 24,5 \text{ mm} \\ \alpha_2 = 124^\circ & R_2 = 60 \text{ mm} \\ \alpha_3 = 135^\circ & R_3 = 20,306 \text{ mm} \\ \beta = 4^\circ & i = 1,4 \end{array}$$

Caracteristicile ale mecanismului de distribuție considerat sînt:

- pulsația proprie, $\omega_n = \frac{k}{m}$, în care

$$k = 300 \frac{\text{daN}}{\text{mm}} \text{ s-a determinat prin măsurare}$$

și $m = 0,985 \text{ kg}$

este:

$$\omega_n = 1740 \text{ s}^{-1}, \text{ iar } a_n = 16.620 \frac{\text{osol}}{\text{min}}$$

- raportul $n = \frac{n}{n_c}$, pentru regimul funcțional corespunzător

turației motorului de $1480 \frac{\text{rot}}{\text{min}}$, când $n_c = 740 \frac{\text{rot}}{\text{min}}$, are valoarea

$$n = \frac{16620}{740} = 22,$$

rezultă: $\frac{n^2}{1-n^2} = 1,0021$, ceea ce conduce la posibilitatea utilizării

curbelor teoretice corespunzătoare mecanismului rigid.

Formulara completă a soluției teoretice a ecuației de mișcare este limitată în general, de necunoașterea certă a tuturor parametrilor necesari și ca urmare, mai ales în faza de proiectare, optimizarea funcționării sistemului va visa legile de mișcare prescrise tachetului.

$$n_c = 740 \frac{\text{rot}}{\text{min}}$$

Tabelul 6.1

Rezultatele

Poz.	θ	$x_c \text{ mm}$	$\dot{x}_c \frac{\text{mm}}{\text{s}}$	$\ddot{x}_c \frac{\text{mm}}{\text{s}^2}$
1	117	0,224	0	204,8
2	120	0,272	15,24	204,5
3	124	0,48	321,8	203,3
4	124	0,48	451	500,4
5	130	0,907	1123,2	494
6	135	3,14	1674,1	484,5
7	135	3,16	1598,91	-120,04
8	140	4,84	1417,11	-130,04
9	150	7,68	1102,31	-147
10	160	9,77	754,02	-159,5
11	170	11,06	382,83	-167,2
12	180	11,60	0	-169,8

unei asemenea analize efectuate asupra distribuției motorului D-103, montate pe standul dinamic nr.2, la turația arborelui cu casa $n_c = 740 \frac{\text{rot}}{\text{min}}$, sînt reprezentate în figura 6.1. Tabelul 6.1 conține valorile calculate ale diagramelor teoretice, trasate cu linie întreruptă.

Oscilogramela,

trasate cu linie continuă, corespund parametrilor măsurati pe standul

dinamic nr.2, echipat cu elementele mecanismului real.

Selectarea lor pentru analiză s-a bazat pe realizarea regimului stabilizat de funcționare al standului, al echipamentului electronic de măsură și al oscilografului, ceea ce a condus la realizarea unui număr de 20 + 30 oscilograme pentru fiecare parametru la un regim. Testarea dinamică a reproductibilității legii de mișcare în cazul unor cazuri diferite, având același profil, a simplificat numărul oscilogramelor la câteva mii.

Se constată o bună concordanță a valorilor teoretice și experimentale ale deplasării; de asemenea, diagramele vitezei prezintă zone comune, cu excepția vîrfurilor ale căror valori experimentale depășesc cu 12%, în zona de ridicare, valorile teoretice.

Curbele accelerației concordă ca alură și valori extreme. Oscilograma evidențiază însă prezența unor vibrații, întreținute pe întreaga perioadă a mișcării supapei. Se constată că forța arcurilor depășește atât valorile teoretice, cât și cele dinamice ale forței de desprindere (forța de inerție corespunzătoare accelerației maxime negative).

Figurile 6.2, 6.3 și 6.4 reprezintă diagramele și oscilogramele corespunzătoare regimurilor de 950, 1000 și 1250 rot/min. Valorile diagramelor, trasate cu linie întreruptă, sînt cuprinse în tabelul 6.2.

Oscilogramele vitezelor evidențiază valori extreme mai mici decît cele teoretice și în același timp, mici decalaje față de acestea. Oscilațiile de la capete confirmă prezența unor salturi ale supapei.

Alura oscilogramelor accelerațiilor este afectată de suprapunerea unor vibrații cu frecvențe înalte, care determină modificări față de diagramele teoretice. Aceste vibrații se manifestă atât la capetele profilului, cât și pe vîrfurile camii. Ele reprezintă efectul

Tabelul 6.2

Pos. n _o	n _o rot/min	990		1080		1250		
		x _c mm	$\ddot{x}_c \frac{m}{s^2}$	$\ddot{x}_c \frac{m}{s^2}$	$\ddot{x}_c \frac{m}{s^2}$	$\ddot{x}_c \frac{m}{s^2}$	$\ddot{x}_c \frac{m}{s^2}$	
2	117	0,224	0	341	0	427	0	595
3	120	0,272	173,87	340	199,3	426	235	593
4	124	0,48	418	339	467,3	423	550,8	589
5	124	0,48	537	833	650,4	1041	766,6	1450
6	130	0,937	1460	824	1619	1029	1908,3	1433
7	135	3,14	2176	808	2430	1009	2864,2	1405,5
8	135	3,14	2012,6	-200	2237	-250	2636,7	-348
9	140	4,84	1833	-217	2033	-271	2376	-377,5
10	150	7,68	1423	-245	1582	-306	1864	-426,3
11	160	9,77	973	-266	1082	-333	1275	-463,8
12	170	11,06	494	-279	549	-348	647	-484,8
13	180	11,60	0	-283	0	-354	0	-493

conjugat al perturbațiilor generate de funcționarea mecanismului asupra părților componente ale ansamblului. Aceste perturbații pot proveni din vibrații ale batiului, ale arcurilor de distribuție și ale mecanismului încași.

Saltul brusc al accelerației, de la maximul pozitiv la valori negative, reprezintă de asemenea o sursă de vibrații, care explică creșterea amplitudinilor în sectorul accelerațiilor negative, amplasat în zona vârfului camei.

Un aspect important pot avea și abaterile profilului camei, provenite din prelucrarea necorespunzătoare sau din uzură (la precizia prelucrării, capitolul 5, s-a arătat că o abatere de 0,01 mm a profilului camei, determină o modificare cu 5 + 10% a accelerației). Stabilirea sursei vibrațiilor se realizează prin analiza armonică a semnalului integral. Componentele dăunătoare se pot înlătura prin

modificarea structurii ansamblului.

În cadrul cercetărilor au fost analizate oscilogramele accelerațiilor corespunzătoare unor turații din domeniul de funcționare al motorului, și mai mari.

Înregistrările s-au făcut pe bandă magnetică, utilizând un echipament compus din: doi traductori de accelerație de tip KD-35, un aparat de măsurat vibrații, tip SM 231, un înregistrator magnetic cu patru canale, tip Bruel & Kjaer 7003.

Pentru prelucrare și redare s-a folosit o schemă compusă din: un înregistrator magnetic 7003, un amplificator integrator, tip SM 10, un analizor de bandă îngustă, 10%, tip SM 32 și un înregistrator în coordonate X - Y, tip BAC 5T. În comparație cu soluțiile precedente, acest montaj de înregistrare și redare, figura 6.5., permite o analiză mai comodă a semnalului urmărit, asigurând totodată conservarea lui pentru prelucrări ulterioare.

Rezultatele sînt prezentate în figurile 6.6, 6.7, 8. și tabelul 6.3, și reprezintă spectrele de frecvență ale semnalelor de accelerație, determinate în paralel pentru tacher și batiul A, figura 5.11 și pentru supape și batiul B, figura 5.6. Cu ajutorul lor se poate analiza legea de mișcare generată de camă și sursele ei de abatere față de legea teoretică; de asemenea, se poate analiza măsura conservării ei la supapă și efectul elasticității elementelor mecanismului de distribuție asupra calităților sale de transfer a mișcării de la tacher la supapă.

Curbele astfel obținute au în ordonată amplitudinea armonicilor semnalului, iar în abscisă frecvența. Valoarea amplitudinilor s-a determinat în raport cu un semnal etalon de valoare $E = g$, avînd pe canalul 1, corespunzător semnalelor batiului, înălțimea $e_1 = 64$ mm și pe canalul 2, corespunzător semnalelor supapei și tacherului, înălțimea $e_2 = 28$ mm. Spectrogramele corespund: 1 - supapei, 2 - be-

tiului B, 3 - tachetului, 4.- batiului A.

Din analiza spectrogramelor se constată că semnalele provenite de la tachet și respectiv supapă, se compun din armonici joase, având frecvențele multiple de la 1 la 10 ai frecvenței forței perturbatoare, identică cu frecvența de rotație a arborelui de distribuție și armonici cu frecvențe mai înalte, cuprinse între 390 și 1030 Hz.

Semnalele provenite de la cele două structuri de batiuri conțin și cele armonici cuprinse în domeniul de 390 - 1030 Hz, în toate regiunile cercetate; amplitudinile acestor armonici sînt neglijabile pentru batiul A, dar pentru batiul B amplitudinea lor rezultantă reprezintă în medie 8% din amplitudinea semnalului supapei.

În afara domeniului amintit, semnalul batiului A mai conține și armonici joase, amplitudinea lor rezultantă reprezentînd 4,1% din amplitudinea semnalului tachetului (conform tabelului 6.3, pentru regiunea de 950 rot/min, spectrogramele 3 și 4); armonicile joase ale semnalului batiului B, spectrograma 2, sînt neglijabile. Această comportare diferită a celor două batiuri se explică prin structurile lor diferite, care le modifică frecvența proprie.

Rezultă astfel că semnalul integral al accelerației tachetului se compune din armonici joase, corespunzătoare legii de mișcare generate de camă, peste care se suprapune vibrația batiului, determinînd modificări de pînă la 5% ale amplitudinii.

Restul abaterilor de la legea teoretică se datorează în principal impreciziei profilului camii.

Semnalul corespunzător accelerației supapei este afectat de armonicile înalte ale batiului B, în proporție de pînă la 8%, precum și de vibrația mecanismului de distribuție și a arborilor de distribuție ale căror frecvențe proprii de 277 și respectiv 155 Hz,

determină prezența unor armonici de rezonanță care pot fi identificate în spectrogramă.

Aceste constatări sînt în concordanță cu oscilogramele accelerațiilor care prezintă aspectul caracteristic de compunere a vibrațiilor de diferite frecvențe: cele joase, preponderente, imprimă perioada și alura semnalului integral, iar cele înalte, de amplitudini mici, determină oscilații ale acestuia în jurul valorii de bază.

De asemenea, se constată că, în toate regimurile, armonicile de bază ale accelerației tchetului se regăsesc, într-un raport apropiat de raportul de transmitere al mecanismului, în semnalul supapei, ceea ce dovedește conservarea legii de mișcare impuse de camă.

Se verifică astfel observația din cadrul discuției ecuației de mișcare, conform căreia în cazul așa numitelor mecanisme rigide, sau în cazul utilizării legilor de mișcare fără șoc, optimizarea funcționării mecanismului de distribuție se poate aborda prin optimizarea legii de mișcare a tchetului.

În cele trei regimuri considerate, forța dinamică de desprindere depășește în tot domeniul forța arcului, dovedind prezența unor desprinderi prelungite în lanțul mecanismului de distribuție, care generează șocuri, vibrații și zgomot. Ca urmare, apar o serie de defecțiuni ca: ruperi de supape, toșiri ale profilului camii, distrugerea zonei de contact a tchetului, uzura prematură a bușei rolei, etc.

În practică există tendința reutilizării profilului de camă și a altor elemente ale distribuției, la motoare de puteri sporite, funcționând cu turații superioare tipurilor de referință.

Rezultatele de mai sus, obținute prin încercarea distribuției motorului D - 103 la trei turații superioare turației nominale, infirmă valabilitatea acestei practici, subliniind importanța ce trebuie acordată proiectării acestui important subansamblu al motorului.

Informații asupra controlului supapei, adică asupra posibilită-

Tabelul 6.3

Turatia rot/min	Amplitudinea armonicii		Amplitudinea armonicii		
	Hz	supapa (1)	batu (2)	tachet (3)	batu (4)
830	14	24,67	-	13,45	-
	28	80,72	-	53,8	0,272
	42	42,6	-	29,15	0,212
	70	40,36	-	26,9	-
	98	22,42	0,679	18	-
	108	-	-	-	0,212
	400	123,32	1,164	-	-
	430	127,81	-	-	-
	990	-	-	94,18	0,333
	1080	-	16	-	-
950	16	26,9	-	22,42	0,78
	32	107,63	0,69	76,24	3,24
	48	65	-	47	1,96
	80	56	-	38	1,56
	95	33	-	33,6	1,18
	100	-	0,79	-	-
	128	38	-	22,4	1
	158	22,4	-	-	-
	394	145,74	2,75	-	-
	480	101	-	-	-
600	-	3,14	-	-	
1000	-	-	76,24	3,3	
1080	-	19,12	-	-	
1080	18	51,97	-	45,5	-
	36	150,23	1,37	105	1,28
	54	96,4	1,1	66,56	-
	90	94,13	-	54,66	-
	108	58,29	-	38,5	0,37
	144	65	-	35	-
	180	36	-	23,8	-
	390	143,5	2,16	-	-
	590	-	2,94	35	0,15
	810	-	-	35,5	0,3
870	-	10,2	71	-	
1080	-	20	92,5	0,46	

ților apariției desprinderilor în mecanismul de distribuție, rezultă din figura 6.9, în care se poate urmări, în funcție de turație, starea contactului supapei de admisie a motorului amintit, sub acțiunea forței de inerție corespunzătoare accelerației negative maxime (forța dinamică de desprindere maximă) A stabilită experimental și forței corespunzătoare a arcurilor de distribuție B; cu C s-a notat diagrama forței dinamice de desprindere maxime, teoretice. Valorile considerate sînt cuprinse în tabelul 6.4. Deoarece rigiditățile diferă, o reprezentare valabilă pentru toate mecanismele de acționare ale supapelor unui motor conține mai multe curbe ale forței dinamice de des-

Tabelul 6.4.

Poz.	n_c	$\frac{10^4}{\text{min}}$	A [N]	B [N]	C [N]
1	600		- 150		- 132
2	740		- 240		- 163
3	850		- 325	- 320	- 225
4	950		- 516		- 275
5	1060		- 645		- 350
6	1250		- 548		- 480

prindere maxime, astfel că în locul curbei A, apare o zonă. Pentru punerea în evidență a raportului dintre cele două tipuri de forțe, cu acțiuni contrare, deci de sensuri diferite, ele sînt reprezentate în același cadran.

La turația arborelui cu came de 830 rot/min, tachetul se desprinde de camă, cu toate că forța teoretică maximă negativă nu depășește 3/4 din forța arcului. Această reprezentare, chiar dacă nu dă indicații asupra corelației dintre gradul de depășire a forței arcului de către forța dinamică de desprindere și mărimea saltului, arată exact la ce turație apar primele salturi.

În concluzia acestei analize se poate aprecia că întrucît, global, perechile de curbe teoretice și experimentale evidențiază comportări asemănătoare, optimizarea legii de mișcare teoretice, dublată de o experimentare riguroasă, constituie o bază sigură pentru obținerea unor rezultate îmbunătățite.

Observațiile rezultate din studiul comportării dinamice a distribuției motorului D - 103 justifică înlocuirea canelor armonice, prin came cu profil optimizat.

În acest scop s-a utilizat o lege de mișcare de tip Kurz ale cărei constante s-au determinat astfel ca să fie realizate valori prescrise ale parametrilor gazodinamici și dinamici.

Ele sînt următoarele:

$$\begin{array}{l} H_0 = 0,3 \text{ mm} \quad \theta_0 = 30^\circ \quad \theta_2 = 5^\circ \\ h = 3,2 \text{ mm} \quad \theta_1 = 30^\circ \quad \theta_3 = 50^\circ \end{array}$$

Folosind această lege și relațiile de sinteză stabilite în capitolul 4, au fost calculate coordonatele x și y ale profilului camei.

Calculul pas cu pas s-a efectuat pe baza programului „DISTRIB”, prezentat în anexă împreună cu rezultatele sale, conținînd valorile următorilor parametri, corespunzătoare unui unghi de rotație al camei $\Delta\varphi = 0,5^\circ$: timpul-secțiune, deplasarea, viteza, accelerația, coordonatele x și y ale profilului camei.

Rezultatele obținute evidențiază reduceri pronunțate ale valorilor maxime ale vitezei și accelerației.

Oscilogramele vitezei și accelerației la turația arborelui de distribuție de 950 rot/min, figura 6.10 comparate cu oscilogramele ridicate la același regim cu came armonică, figura 6.2, indică o reducere a vitezei maxime de la 1,9 m/s la 1,4 m/s, a accelerației pozitive de la 800 m/s² la 600 m/s², iar a celei negative de la 500 m/s² la - 240 m/s², ceea ce indică o apropiere sensibilă a forței dinamice de desprindere de forța arcurilor, adică o stabilitate îmbunătățită a funcționării mecanismului de distribuție.

Oscilogramele deplasărilor, figura 6.11, ridicate cu un traductor inductiv de deplasare, tip IWT - 302, caracterizat prin înaltă fidelitate, pun în evidență o creștere de 20% a timpului secțiune al legii de mișcare prin utilizarea canelor optimizate, care se re-

flectă proporțional asupra timpului secțiune al supapei motorului.

Cercetările au fost extinse și asupra distribuțiilor altor motoare. În cazul motorului I.N.I.T. s-a analizat comportarea distribuției, echipate cu came $\Sigma U - 7,5/5,1$ și arcuri tip $\sigma - 105$.

Figura 6.12 a și b reflectă aspectele corespunzătoare regiunilor de turație ale arborelui de distribuție de 830 și 1060 rot/min.

Se constată o bună stabilitate a mecanismului de distribuție, forțele arcului depășind substanțial forțele de inerție; totodată se remarcă creșterea accelerațiilor pozitive de aproape 7 ori, pe flancul de ridicare, ceea ce se reflectă proporțional asupra solicitării de contact dintre camă și tachet și de asemenea o majorare a accelerației negative maxime de peste 2,5 ori prin modificarea regimului de la 830 la 1060 rot/min.

Determinările efectuate la turația motorului de 2600 rot/min, respectiv de 1300 rot/min a arborelui de distribuție, evidențiază valori ale forțelor de desprindere superioare forțelor arcului, adică $F_1 = 1100 \text{ N}$ și $F_{\text{arc}} = 1043 \text{ N}$ pentru mecanismul de admisiune și $F_1 = 1046 \text{ N}$, respectiv $F_{\text{arc}} = 1039 \text{ N}$, pentru mecanismul de evacuare, ceea ce dovedește discontinuitatea controlului supapei. Ca urmare se impune, ca primă soluție, înlocuirea arcurilor cu altele mai rigide sau reproiectarea camei astfel ca să se asigure condiția de continuitate a contactului, adică $F_{\text{arc}} > F_1$, în sectorul accelerațiilor negative.

6.2. Analiza calităților gazodinamice ale legilor de mișcare

Influența legii de mișcare asupra gazodinamicii motorului, reflectată prin variația produsului $\mu \dot{v}$ în funcție de unghiul de rotație al camei, s-a studiat prin prelucrarea diagramelor $\mu \dot{v} = f(\frac{h}{\delta})$ ridicate în lucrarea 107 pentru motorul $\sigma - 103$ și în cadrul colectivului $\sigma 5/1$ I.N.I.T., filiala Mișcarea pentru motorul I.N.I.T.

Pentru motorul D - 103 analiza se referă la trei tipuri de canale de admisiune: original, model îmbunătățit, model îmbunătățit nr.1; și la două tipuri de legi de mișcare: lege armonică și lege optimizată.

Datele aferente sînt conținute în tabelul 6.5, pentru legile de mișcare și în tabelele 6.6 a, b, c pentru coeficienții μ^v .

Motor D - 103		Tabel 6.5	
Foz.	φ	S mm cana armonică	S mm cana polidină
1	10	0,07	0,171
2	20	0,158	0,419
3	30	0,375	1,22
4	40	0,692	3,09
5	50	1,662	5,49
6	60	4,31	7,65
7	70	7,40	9,46
8	80	9,70	10,70
9	90	11,15	11,50
10	100	11,60	11,76

Figurile 6.13 a, b, c evidențiază creșteri importante ale timpului secțiune al diagramelor $\mu^v = f(\varphi)$, la utilizarea legii de mișcare optimizate.

Astfel, în cazul canalului original, figura 6.13 a, timpul-secțiune al diagramei $\mu^v = f(\varphi)$ crește cu 38%, iar valorile în medie cu 50%; în cazul modelului de admisie îmbunătățit, figura 6.13 b, creșterea timpului-secțiune este de 40%, iar a lui μ^v , în medie cu 40%; pentru modelul de canal îmbunătățit nr.1, creșterile sînt de 35% pentru timpul-secțiune și 44% pentru valorile μ^v , figura 6.13 c.

Pentru motorul INAT determinările se referă la trei tipuri de legi de mișcare, cuprinse în tabelul 6.7 și două tipuri de canale, corespunzătoare chiulasei de referință cu anticameră, tabelul 6.8 a și respectiv cu injecție directă, tabelul 6.8 b.

Creșterile constante față de legea generată de cana AFU, conform diagramelor din figura 6.14 a, în cazul canalului chiulasei de

Motor IMAF

Tabel 6.7

Poz.	φ	S mm cana HTU	S mm cana polidi- nă m	S mm cana polidi- nă b.
1	5	0,015	0,069	0,052
2	10	0,10	0,247	0,193
3	20	0,40	1,234	0,702
4	30	0,75	4,845	2,879
5	40	1,75	8,396	6,326
6	50	4,45	10,914	9,409
7	60	7,75	12,347	11,373
8	70	10,30	12,697	12,26
9	80	12,25	12,697	12,47
10	90	12,6	12,697	12,70

referință cu antica-
ră, sînt pentru le-
gea polidină b de 44%
pentru timpul-sectiu-
ne și în medie de 22%
pentru valorile μ^b ,
iar pentru legea poli-
dină b m, de 72% pen-
tru timpul-sectiune
și de 40% pentru μ^b ;
din figura 6.14 b, pen-
tru canalul chiulasei
de referință cu injec-
ție directă, se obțin

prin utilizarea legii polidine b, creșteri de 35% pentru timpul-sec-
țiune și de 60% pentru μ^b medii; în cazul legii b m, creșterile sînt
de 44% și respectiv de 75%.

Corelația legii de mișcare - gazodinamica motorului este su-
gestiv reflectată și de comparația variației secțiunii de trecere
a supapei, A_g , în funcție de unghiul de rotație al canei. Determinări-
le efectuate asupra distribuției motorului D - 103, în cazul utiliză-
rîi a trei tipuri de cana, 1 - optimizată după lege kurz modificată
„b m”, 2 - optimizată după lege kurz b, 3 - armonică, sînt reprezentate
în figura 6.15.

Creșterile substanțiale de secțiune la folosirea canelor opti-
mizate se realizează în prima jumătate a intervalului de ridicare a
supapei, ceea ce este foarte favorabil pentru umplerea motorului. Se
observă astfel că în cazul unui avans la admisiune de 60° HAC cana 1
asigură o valoare $A_g = 210 \text{ mm}^2$, cana 2 un $A_g = 120 \text{ mm}^2$, iar cana 3 un
 $A_g = 35 \text{ mm}^2$. Prin integrarea diagramelor 6.15 se obțin diagramele
U_s-ului supapei în cazul folosirii celor trei tipuri de legi.

Tabelul 6.9

φ	US - 1 mm ² · φ°	US - 2 mm ² · φ°	US - 3 mm ² · φ°
10	30	35	80
20	150	300	580
30	500	1150	2100
40	1800	3000	5800
50	5000	6950	13400
60	12000	14000	25250
70	22000	27000	41250
80	39000	41550	60000

In tabelul 6.9, figura 6.16 sînt prezentate datele și respectiv diagramele de variație ale US-ului supepei în funcție de unghiul φ de rotație al camii, în cazul a trei distribuții: 1 - cu camă armonică; 2 - cu camă tangențială și tachet de translație cu rolă; 3 - cu camă polidină și tachet

oscilant cu rolă.

Rezultatele obținute sînt evident favorabile ultimei soluții care asigură valori mult sporite în raport cu primele două.

Desigur, pe lîngă profilul camii la aceasta mai contribuie și structura mecanismului; se reține însă soluția cu tachet oscilant și camă optimizată ca deosebit de favorabilă procesului de umplere al motorului.

6.3. Calculul solicitărilor arcurilor de distribuție cu considerarea suprasolicitărilor din sine

Din relația (2.93) rezultă că solicitarea suplimentară maximă a arcurilor de distribuție este un produs între un factor determinat de caracteristicile arcului și amplitudinea armonicii perturbatoare de rezonanță.

$$\bar{\sigma}_i \max = B \cdot \sigma_i$$

Ca urmare, variația solicitării totale a unui anumit arc este funcție de caracteristicile armonice ale legii de mișcare a supepei.

Opțiunea pentru un anumit tip de lege poate fi, ca urmare, influențată de alura amplitudinilor armonicilor de rezonanță, rezulta-

te din analiza armonică.

Este important să se stabilească în ce măsură legile de mișcare fără șoc realizează condiții superioare din acest punct de vedere, în raport cu legile de mișcare obișnuite.

În acest scop se analizează cazul distribuției motorului

D - 103 echipat cu următoarele arcuri, pe fiecare supapă:

Arcul 1	Arcul 2
$d = 45 \text{ mm}$	$d = 3 \text{ mm}$
$D_{\text{m}} = 35 \text{ mm}$	$D_{\text{m}} = 25 \text{ mm}$
$L = 83 \text{ mm}$	$L = 82 \text{ mm}$
$f_{\text{o}} = 20 \text{ mm}$	$f_{\text{o}} = 19 \text{ mm}$
$n = 8,5 \text{ spire}$	$n = 10,5$
$k_{\text{a}} = 11,7 \frac{\text{N}}{\text{mm}}$	$k_{\text{a}} = 5,1 \frac{\text{N}}{\text{mm}}$

Pulsațiile proprii ale celor două arcuri sînt egale și anume:

$$\omega_{\text{n}} = 975 \text{ s}^{-1}$$

iar

$$n_{\text{n}} = 9320 \frac{\text{oscilații}}{\text{minut}}$$

Ordinul armonicilor de rezonanță este cuprins între $\frac{n_{\text{n}}}{n_{\text{c max}}}$ și $\frac{n_{\text{n}}}{n_{\text{c min}}}$.

$n_{\text{c max}} = 1000 \frac{\text{rev}}{\text{min}}$ - domeniul de rotații al arborelui de distribuție.

$n_{\text{c min}} = 500 \frac{\text{rev}}{\text{min}}$

Rezultă: $9 \leq i \leq 18$

Pentru comparație se consideră două legi de mișcare:

- legea armonică „a”, corespunzătoare casei originale a motorului D - 103
- legea tip curs „b”, corespunzătoare soluției optimizate pen-

tru casa motorului D - 103.

Mecanismul de distribuție al motorului considerat este de tipul cu tachet plan centric și came asimetrice; legile de mișcare la ridicare și coborâre fiind foarte apropiate, sînt considerate în cele ce urmează, identice.

Ca urmare, amplitudinea armonicii rezultante este $c_1 = a_1 \cdot b_1$ fiind nulă.

Pentru legea „a” expresia amplitudinii c_1 , dezvoltată după relația (3.39) este:

$$c_1 = \frac{2}{\pi i(i^2 - 1)} (B_1 \sin i \alpha_1 - B_1 \sin i \alpha_2 - B_2 \sin i \alpha_3)$$

în care:

$$B_1 = R_1 \cos(\alpha_2 - \alpha_1) - R_2 \cos \beta$$

$$B_2 = R_2 \cos(\alpha_3 - \alpha_2 + \beta) - R_3 \cos \alpha_3$$

parametrii legii de mișcare fiind prezentați în 6.1.

Pentru legea „b”, expresia amplitudinii c_1 , dezvoltată după relația (3.39), după eliminarea termenilor nuli, este următoarea:

$$\begin{aligned} \frac{\pi}{2} c_1 = \frac{1}{14} \{ & - \cos i \alpha_2 [f_2^{iii}(\alpha_2) - f_3^{iii}(\alpha_2)] - \cos i \alpha_3 \\ & [f_3^{iii}(\alpha_3) - f_4^{iii}(\alpha_3)] + \cos i \alpha_4 f_5^{iii}(\alpha_4) \} - \frac{1}{15} \{ \sin i \alpha_1 f_2^{iv}(\alpha_1) - \\ & - \sin i \alpha_4 [f_4^{iv}(\alpha_4) - f_5^{iv}(\alpha_4)] - \sin i \alpha_5 f_5^{iv}(\alpha_5) \} - \frac{1}{16} \cdot \\ & \cdot \{ - \cos i \alpha_2 [f_2^v(\alpha_2) - f_3^v(\alpha_2)] - \cos i \alpha_3 [f_3^v(\alpha_3) - f_4^v(\alpha_3)] \} \end{aligned}$$

Se consideră mecanismul de distribuție redus la sxa tachetului, parametrii legii de mișcare fiind:

$H_0 = 0,3 \text{ mm}$	$C_{11} = 5,459$	$\alpha_1 = 65^\circ$
$H = 3,2 \text{ mm}$	$C_{12} = 0,759$	$\alpha_2 = 95^\circ$
$\vartheta_0 = 30^\circ$	$C_{21} = 9,582$	$\alpha_3 = 125^\circ$
$\vartheta_1 = 30^\circ$	$C_{22} = 0,0242$	$\alpha_4 = 130^\circ$
$\vartheta_2 = 5^\circ$	$C_{31} = 0,515$	$\alpha_5 = 180^\circ$
$\vartheta_3 = 50^\circ$	$C_{32} = 6,275$	

Pentru legea „b”, cu funcția $f_2(\alpha)$ modificată, expresia amplitudinii c_1 , este:

$$\begin{aligned} \frac{\pi}{2} c_1 = & \frac{1}{1^4} \left\{ -\cos 1\alpha_2 \left[f_2'''(\alpha_2) - f_3'''(\alpha_2) \right] - \cos 1\alpha_3 \cdot \right. \\ & \cdot \left[f_3'''(\alpha_3) - f_4'''(\alpha_3) \right] + \cos 1\alpha_4 f_5'''(\alpha_4) \left. \right\} - \frac{1}{1^5} \left\{ \sin 1\alpha_1 f_2^{IV}(\alpha_1) + \right. \\ & + \sin 1\alpha_2 f_3^{IV}(\alpha_2) - \sin 1\alpha_3 f_3^{IV}(\alpha_3) - \sin 1\alpha_4 \left[f_4^{IV}(\alpha_4) - \right. \\ & \left. \left. - f_5^{IV}(\alpha_4) \right] \right\} - \frac{1}{1^6} \left[-\cos 1\alpha_2 f_2^V(\alpha_2) + \cos 1\alpha_3 f_4^V(\alpha_3) \right] \end{aligned}$$

Valorile amplitudinilor c_1 ale armonicilor de rezonanță sînt prezentate în tabelul 6.10.

Tabelul 6.10.

Fos.	i	c_1 mm		
		legea a	legea b	b modif.
1	9	0,0305	0,0223	0,0213
2	10	0,07	0,0041	0,00146
3	11	0,0467	0,0005	0,0005
4	12	0,0044	0,0053	0,0051
5	13	0,0234	0,0033	0,00295
6	14	0,026	0,00224	0,00229
7	15	0,0122	0,0036	0,00303
8	16	0,0032	0,00125	0,00175
9	17	0,0107	0,00134	0,00136
10	18	0,0133	0,000067	0,00045

tribuție.

În cazul utilizării legii „b” modificate, se realizează o atenuare substanțială a lui c_1 în cazul legii „b” în raport cu legea „a”, denotînd un regim de oscilații mult atenuat în cazul folosirii legii de mișcare fără șoc și ca urmare o reducere corespunzătoare a solicitării totale maxime a arcurilor de distribuție.

Se constată o diminuare substanțială a lui c_1 în cazul legii „b” în raport cu legea „a”, denotînd un regim de oscilații mult atenuat în cazul folosirii legii de mișcare fără șoc și ca urmare o reducere corespunzătoare a solicitării totale maxime a arcurilor de distribuție.

mare a armonicilor mai importante, obținându-se prin aceasta o nouă reducere a regimului de oscilații.

Modificările solicitării totale maxime în cele trei cazuri, considerate, pentru valoarea amortizării $b = 2 \text{ s}^{-1}$, conform digramei din figura 3.9, a efortului alternant static $\tau_{-1} = 11,4 \frac{\text{daN}}{\text{mm}^2}$ și $= 1,18$, corespunzătoare parametrilor distribuției motorului $D = 103$, sînt prezentate în tabelul 6.11.

Se constată o reducere substanțială a solicitării în domeniul turațiilor de rezonanță cu armonicile 9, 10, 11, 13, 14 în cazul folosirii legilor „b” și „b” modificat” față de legea „a”.

Ca urmare, rezultatele analizei armonice scot în evidență un

Tabelul 6.11

Poz.	i	$\tau_{-1}, i \text{ daN/mm}^2$		
		legea a	legea b	b modif.
1	9	59,5	40,7	39,4
2	10	103,41	16,78	13,3
3	11	72,8	12,1	12,1
4	12	17,18	13,37	13,1
5	13	42,16	15,74	15,28
6	14	45,58	14,34	14,4
7	15	27,44	16,1	15,38
8	16	15,6	13	13,7
9	17	25,46	13,16	13,2
10	18	28,88	11,4)	12

spectru mai larg de parametri ce caracterizează comportarea mecanismului de distribuție, contribuind la întregirea imaginii asupra legilor de mișcare discutate, în vederea alegerii soluției optime.

În cazul motorului INAT-165/155 se consideră pentru analiză două legi de mișcare ale supapei.
- legea de tip „b”
- legea de tip „b” modi-

ficată.

Mecanismul de distribuție este compus din tachet oscilant cu rolă, tijă împingătoare, culbutor, două supape și este antrenat de came profilate corespunzător legilor considerate.

Domeniul de turații al motorului este cuprins între 1200 -

- 2600 rot/min, ceea ce corespunde cu 600 - 1300 rot/min pentru arburile cu con.

Fiecare suprafață este echipată cu câte o pereche de arcuri, având următoarele dimensiuni:

<u>Arcul 1</u>	<u>Arcul 2</u>
$d = 4,7 \text{ mm}$	$d = 3,5 \text{ mm}$
$D_n = 37 \text{ mm}$	$D_n = 26 \text{ mm}$
$L = 62 \text{ mm}$	$L = 59 \text{ mm}$
$f_0 = 12 \text{ mm}$	$f_0 = 7,5 \text{ mm}$
$n = 5,5 \text{ spire}$	$n = 7,5 \text{ spire}$
$k_s = 13 \text{ N/mm}$	$k_s = 11,8 \text{ N/mm}$
$F = 49,1 \pm 4,4 \text{ daN}$	$F = 26,5 \pm 2 \text{ daN}$
$F_0 = 21,8 \pm 2,4 \text{ daN}$	$F_0 = 8,85 \pm 1,2 \text{ daN}$

Cu aceste elemente se calculează

$\omega_n = 23,5 \text{ daN/mm}^2$, același pentru ambele arcuri rezultă

$$n_n = 15,599 \frac{\text{oscilații}}{\text{minut}}$$

$$\omega_n = 1632 \text{ s}^{-1}$$

Ordinul armonicilor de rezonanță este cuprins între

$$\frac{n_n}{n_{c \text{ max}}} = \frac{15599}{1300} = 12 \quad \text{și} \quad \frac{n_n}{n_{c \text{ max}}} = \frac{15599}{600} = 26$$

$$\text{deci } 12 \leq i \leq 26$$

Relația de calcul a amplitudinii e_1 a armonicilor legii de tip „b”, cu considerarea jocului, este următoarea:

$$\begin{aligned} \frac{\tilde{\pi}}{2} c_1 = & -\frac{1}{12} f_2''(\alpha_j) \cos 1 \alpha_j + \frac{1}{13} f_2''(\alpha_j) \sin 1 \alpha_j + \frac{1}{14} \left\{ - \right. \\ & - \cos 1 \alpha_2 \left| f_2'''(\alpha_2) - f_3'''(\alpha_2) \right| - \cos 1 \alpha_3 \left| f_3'''(\alpha_3) - f_4'''(\alpha_3) \right| + \\ & + \cos 1 \alpha_4 f_5'''(\alpha_4) \left. \right\} - \frac{1}{15} \left\{ \sin 1 \alpha_1 f_2^{IV}(\alpha_1) - \sin 1 \alpha_4 \left| f_4^{IV}(\alpha_4) - \right. \right. \\ & - f_5^{IV}(\alpha_4) \left. \right| - \sin 1 \alpha_5 f_5^{IV}(\alpha_5) \left. \right\} - \frac{1}{16} \left\{ - \cos 1 \alpha_2 \left| f_2^V(\alpha_2) - f_3^V(\alpha_2) \right| - \right. \\ & - \cos 1 \alpha_3 \left| f_3^V(\alpha_3) - f_4^V(\alpha_3) \right| \left. \right\} \end{aligned}$$

iar în cazul legii „b” modificată:

$$\begin{aligned} \frac{\tilde{\pi}}{2} c_1 = & -\frac{1}{12} f_2''(\alpha_j) \cos 1 \alpha_j + \frac{1}{13} f_2''(\alpha_j) \sin 1 \alpha_j + \frac{1}{14} \left\{ - \right. \\ & - \cos 1 \alpha_2 \left[f_2'''(\alpha_2) - f_3'''(\alpha_2) \right] - \cos 1 \alpha_3 \left[f_3'''(\alpha_3) - f_4'''(\alpha_3) \right] + \\ & + \cos 1 \alpha_4 f_5'''(\alpha_4) \left. \right\} - \frac{1}{15} \left\{ \sin 1 \alpha_1 f_2^{IV}(\alpha_1) + \sin 1 \alpha_2 f_3^{IV}(\alpha_2) - \right. \\ & - \sin 1 \alpha_3 f_3^{IV}(\alpha_3) - \sin 1 \alpha_4 \left[f_4^{IV}(\alpha_4) - f_5^{IV}(\alpha_4) \right] \left. \right\} - \frac{1}{16} \left[- \right. \\ & - \cos 1 \alpha_2 f_2^V(\alpha_2) + \cos 1 \alpha_3 f_4^V(\alpha_3) \left. \right] \end{aligned}$$

Din considerentul realizării unui timp secțiune cât mai mare, precum și în scopul limitării valorilor extreme ale accelerației se stabilesc următorii parametri ai legii de mișcare:

$h_0 = 0,33 \text{ mm}$	$C_{11} = 10,72$	$\alpha_1 = 90^\circ$
$h = 14,516 \text{ mm}$	$C_{12} = 0,928$	$\alpha_2 = 104^\circ$
$\psi_0 = 14^\circ$	$C_{21} = 17,735$	$\alpha_3 = 123^\circ$
$\psi_1 = 19^\circ$	$C_{22} = 0,218$	$\alpha_4 = 133^\circ$
$\psi_2 = 10^\circ$	$C_{31} = 0,73$	$\alpha_5 = 130^\circ$
$\psi_3 = 47^\circ$	$C_{32} = 11,8$	$\alpha_j = 100^\circ$

Pentru cele două tipuri de legi considerate, valorile turățiilor critice amplitudinile armonicilor perturbate, de rezonanță și solicitările totale corespunzătoare, sînt prezentate în tabelul 6.12.

Tabelul 6.12

Noz.	i	n _{cr}	c ₁ mm		σ _{-1,i} daN/mm ²	
			legea b	legea b modif.	legea b	legea b modif.
1	12	1300	0,009	0,0124	55,42	64
2	13	1200	0,0159	0,0227	67,35	89
3	14	1114	0,0191	0,0224	80	38
4	15	1040	0,0019	0,002	38	38
5	16	975	0,0143	0,0094	68,33	57
6	17	917	0,0097	0,011	57,12	60,5
7	18	867	0,000751	0,001	35,33	36
8	19	821	0,0075	0,003	51,76	41
9	20	780	0,0511	0,0051	45,95	46
10	21	742	0,0023	0,0024	39,15	40
11	22	700	0,0058	0,0047	47,7	45
12	23	678	0,00152	0,0016	37,2	37,43
13	24	650	0,0028	0,003	40,32	41
14	25	624	0,00264	0,0023	40	53,15
15	26	600	0,000733	0,001	33,4	36

Se constată că solicitarea maximă a ambelor arcuri se produce la turăția motorului n = 2228 rot/min în cazul legii „b” și respectiv la turățiile 2400 și 2228 rot/min în cazul legii „b” modificate.

Efortul total alternant atinge aici valori apropiate de valorile admisibile. Practic se constată însă că arcuri încărcate teoretic la limita maximă se comportă bine, aceasta datorîndu-se reducerii solicitării reale, din cauza elasticității elementelor intermediare.

Cu toate acestea, constatările de mai sus impun luarea în con-

siderare a efectelor regimului de oscilație generat de legea aleasă astfel încât solicitările arcurilor să rămână în limite normale.

5.4. Rezolvarea automată a calculului de optimizare

Realizarea obiectivelor cercetării de față, implică atât analiza unui număr mare de parametri și testarea mai multor variante posibile, cât și definirea numerică precisă a soluțiilor stabilite. Rezolvarea pe cale analitică a acestor aspecte a impus utilizarea calculatorului.

- Programul de calcul „DISTRIB”, corespunzător organigramei din fig. 6.17 s-a elaborat pentru rezolvarea calculului parametrilor cinematici ai tchetului și sinteza profilului camei. Pentru o lege de mișcare dată a punctului caracteristic al tchetului, cunoscând dimensiunile mecanismului și turația camei, se determină deplasarea, viteza și accelerația tchetului, deplasarea supapei, plenitudinea legii de mișcare, coordonatele profilului camei și unghiul de presiune, corespunzător unor intervale de variație ale unghiului de rotație al camei $\Delta\varphi = 0,5^\circ$. Programul este dotat cu subrutine distincte pentru rezolvarea mecanismelor echipate cu tchet de translație, plan, tchet de translație, cu rolă și tchet oscilant cu rolă.

Rezultatele obținute pe baza lui oferă un tablou complex al comportării mecanismului și cunoscând corelația dintre aceste rezultate și coeficienții legii de mișcare, se pot efectua cu operativitate, modificările necesare în vederea unor optimizări.

- Programul de calcul „CEKIN”, a cărui organigramă se prezintă în figura 6.13, s-a utilizat pentru calculul parametrilor cinematici ai punctelor caracteristice ale elementelor mecanismului de distribuție. Se determină: unghiurile de oscilație, vitezele și accelerațiile unghiulare ale tijei împingătoare și calbutorului, deplasarea,

viteza și accelerația supapei. Datele de intrare ale acestui program sînt dimensiunile mecanismului și legea de mișcare a tacherului.

- Programul de calcul „STATSAV”, cu organigrama din figura 6.19, a fost întocmit pe baza modelului de calcul din subcapitolul 3.1.1. El utilizează rezultatele programului „CININ” și calculează reacțiunile dinamice, cu frecare și tensiunile din elementele mecanismului de distribuție.

- Programul „LIST” cu organigrama din figura 6.20, se utilizează pentru calculul parametrilor cinematici ai tacherului, cînd se cunosc dimensiunile camii, viteza ei unghiulară și dimensiunile mecanismului camă-tacher. El este destinat studiului unor motoare aflate în fabricație, pentru care nu se cunoaște legea de mișcare utilizată la proiectarea mecanismelor de distribuție.

Cele patru programe sînt redată în anexă. Ele au fost elaborate în limbaj FORTRAN și rezolvate pe calculatorul FELIX C - 256 din dotarea Institutului Politehnic „Traian Vuia” Timișoara.

6.5. Valorificarea rezultatelor cercetării.

În contextul industrializării generale, țara noastră își dezvoltă o puternică industrie constructoare de motoare termice. Căile ferate, transporturile rutiere, navale, agricultura, instalațiile de foraj și cele destinate lucrărilor hidrotehnice necesită o gamă largă de motoare cu ardere internă. Îmbunătățirea parametrilor acestora reprezintă o sarcină importantă a constructorilor de motoare, pe această cale putîndu-se obține, pe de o parte, sporuri importante de putere, iar pe de altă parte, substanțiale economii de combustibil.

Abordarea problematicei acestei teze pornește de la observația nu rar întîlnită în lucrările de specialitate, că distribuția oferă posibilitățile cele mai economice de îmbunătățire a parametrilor n.s.i.

Cercetările efectuate s-au concretizat prin 14 lucrări prezentate la sesiuni științifice din țară și străinătate prin contracte de cercetare și studii de optimizare pentru elaborarea unor soluții noi cuprinzând:

- analiza cinematică a mecanismului de distribuție [55,56];
- comportarea dinamică a mecanismului de distribuție [58,59];
- corelarea optimizării comportării dinamice cu schimbul de încărcătură [60];
- proiectarea camelor fără șoc [11,61];
- calculul solicitărilor din mecanismul de distribuție [62];
- echipamentul experimental pentru studiul mecanismelor de distribuție [58,61];
- utilizarea calculatorului pentru rezolvarea problemelor de optimizare [57];

Pe baza contractelor de cercetare, avînd ca beneficiar ICM Reșița s-a efectuat studiul solicitărilor mecanismului de distribuție al motorului K - 251, ceea ce a impus utilizarea programelor de calcul „DIST”, „CLININ” și „STATSAV”. Rezultatele obținute au pus în evidență rezervele disponibile în scopul creșterii performanțelor motorului.

Probleme ale comportării mecanismului de distribuție au fost analizate, după o metodologie rezultată din teză și în contractul de cercetare avînd ca beneficiar I.T.C.V.T. Timișoara. Unul din obiectivele acestui contract l-a constituit determinarea cauzelor uzurii premature a distribuției din parcul auto. Analiza efectuată a pus în evidență necesitatea îmbunătățirii preciziei de prelucrare a arborilor de distribuție, precum și a utilizării unor came cu profile optimizate.

Rezultatele cercetării au găsit o largă aplicabilitate în cadrul programului de cercetare al I.N.A.T., avînd ca obiect dezvoltarea unor noi familii de motoare, autorului revenindu-i sarcina optimizării camelor de distribuție.

7. CONCLUZII

Cercetarea teoretică și experimentală elaborată în teză, asupra problematicei funcționării mecanismului de distribuție al motoarelor cu ardere internă în patru timpi, a condus la următoarele concluzii:

1. Optimizarea funcționării mecanismului de distribuție impune realizarea următoarelor condiții: asigurarea continuității controlului supapei prin evitarea desprinderilor în lanțul cinematic camă-supapă, limitarea reacțiunilor dinamice din cuplurile cinemastice și a solicitărilor din elemente, reducerea suprasolicitărilor dinamice ale arcurilor de distribuție, majorarea produsului $\mu \tilde{\nu}$ și a timpului secțiune al supapei, rezultând astfel necesitatea satisfacerii simultane a unor condiții cu caracter dinamic și gazodinamic.

Literatura de specialitate, deși preocupată de problematica distribuției, nu abordează decât parțial aspectele acestea, fiind deficitară și în privința soluțiilor cu caracter aplicativ.

2. În stadiul actual de dezvoltare, de creștere a turațiilor motoarelor, a vitezelor și accelerațiilor mecanismului de distribuție, precum și a vitezelor de curgere prin secțiunile controlate de supape, este necesară aplicarea unor procedee analitice exacte și a unor metodele experimentale de înaltă precizie care să confere acestor mecanisme o funcționare fără perturbații, fiabilitate și siguranță.

Ca urmare, în cadrul lucrării au fost elaborate metode de calcul și de experimentare originale, pentru analiză și sinteză mecanismului de distribuție.

3. Cercetarea teoretică și experimentală a evidențiat existența unor diferențe între legea de mișcare impusă de camă (și legea de miș-

care impusă de camă) și legea de mișcare a supapei. Cauzele și ponderile acestora față de valoarea teoretică, determinate asupra accelerației sînt: elasticitatea mecanismului și vibrațiile arcurilor, 10 - 12%, vibrațiile suportului, în speță ale blocului, 5 - 8%, și imprecizia profilului camii, 5 - 10% pentru fiecare 0,01 mm abatere.

În literatura de specialitate nu există date privitoare la ponderile și efectele diferitelor abateri asupra comportării mecanismului de distribuție și asupra procesului de schimbare a gazului.

4. Legea de mișcare impusă se poate realiza numai în cazul funcționării la turația proiectată; la turații diferite apar abateri importante, motiv pentru care simpla adaptare a unor camii existente corespunde nu numai comportarea dinamică a mecanismului de distribuție, dar și procesul de schimbare a gazelor.
5. Mecanismele care funcționează la viteze mult inferioare pulsației proprii, pot fi considerate rigide. În acest caz diferența dintre mișcarea supapei și a tchetului este determinată de funcția de transmitere a mecanismului, aproximabilă printr-o constantă, ce reprezintă raportul de transmitere al mecanismului cam-supapă. Proiectarea acestor mecanisme se rezolvă cu bune rezultate optinînd legea de mișcare a tchetului.
6. Legea de mișcare de tip Kurz corespunde condițiilor solicitate de funcționare a motorului; fiind compusă din mai multe porțiuni, ea asigură controlul evoluției locale a parametrilor cinematici, pentru realizarea unor valori optime. Variația aproape liniară a accelerațiilor negative, corelată cu caracteristica arcului de distribuție, asigură mecanismului o bună stabilitate, prin evitarea desprinderilor.

Prin studiarea unei expresii modificate, originale, pe porțiunea I a legii Kurz, a fost posibilă creșterea timpului-secțiune, limita-

rea accelerației pozitive maxime și totodată obținerea unui profil convex al camei, aceste fiind necesitate pe de o parte de utilizarea tacheților piani la unele motoare și pe de altă parte, de caracteristicile mașinilor uzuale de rectificat arbori de distribuție, care prelucresc numai profile convexe.

7. Realizarea legii de mișcare fiind condiționată în primul rând de precizia profilului camei, este necesar ca sinteza acestuia să se rezolve pe cale analitică, și nu pe cale grafică, cu considerarea tipului și dimensiunilor mecanismului camă-tachet.

Pentru execuție, profilul se definește în coordonate polare sau carteziane, cu o precizie de $0,5 \mu$.

Correspondența acestor condiții, în lucrare se stabilesc expresiile coordonatelor profilului pentru principalele tipuri de mecanisme camă-tachet, utilizate în distribuțiile motoarelor în patru timpi.

8. La sinteza camei se obțin profile simetrice sau asimetrice, în funcție atât de aspectul reburilor de ridicare și de coborire ale legii de mișcare, cât și de tipul mecanismului camă-tachet considerat.

Pentru legi de mișcare identice la ridicare și la coborire, rezultă, pentru mecanismele cu tachet de translație, profile de came simetrice, iar pentru cele cu tachet oscilant - profile asimetrice, atât sub aspectul forței, cât și al unghiurilor la centru față de care se dispun.

În cazul motoarelor policilindrice cu două linii, echipate cu tachet oscilant cu rolă și dispoziția mecanismelor camă-tachet în oglindă, având aceleași sensuri de rotație ale arborilor de distribuție, se pot folosi came identice numai dacă legile de mișcare, la ridicare și coborire, sînt simetrice.

Camele respective vor ataca rola tachetului cu flancurile in-

versete.

Trebuie menționat faptul că din ne luarea în considerare a structurii mecanismului cană-tachet la proiectare, s-au produs numeroase greșeli, soldate cu pierderi importante materiale.

9. Gebaritul canelor cu tachet oscilant se poate determina din relația de dependență a unghiului de presiune, de legea de mișcare a tachetului și dimensiunile mecanismului cană-tachet.

Particularizând expresia respectivă pentru poziția extremă a tachetului când rola calcă pe cercul de bază, autorul propune utilizarea ei pentru calculul rasei minime a canei, în funcție de dimensiunile mecanismului și de valorile unghiurilor de presiune și de poziții ale tachetului. Se realizează în felul acesta posibilitatea determinării analitice a gebaritului canelor de rotație cu tachet oscilant, pentru care literatura indică numai metode grafice.

10. Forța de inerție a tachetului oscilant, redusă la supapă, reprezintă $2/3$ din forța de inerție corespunzătoare tachetului de translație. Această diferență este amplificată prin faptul că, la notarea și alinare, tachetul oscilant este mai ușor decât cel de translație. În consecință, soluția cu tachet oscilant necesită arcuri de distribuție mai puțin rigide și realizează presiuni de contact mai mici decât tachetul de translație.

11. Optimizarea profilelor de cană după procedeu elaborat în lucrare, a impus realizarea unei instalații experimentale compuse din stand, aparatul de măsurare, înregistrare și redare și echipamentele anexe, cuprins fiind dispozitivul pentru studiul legii de mișcare a tachetului, dispozitivul pentru modelarea mecanică a mecanismului de distribuție, pentru studiul mișcării supapei, suportii pentru montarea mecanismului real și dispozitivul pentru determinarea constantei elastice a mecanismului de distribuție, capabile

să asigure analiza și evaluarea performanțelor soluțiilor propuse.

12. Precizia rezultatelor experimentale a fost determinată de caracteristicile transductorilor dinamici și a aparaturii electronice utilizate, care au asigurat redarea parametrilor studiați, cu abateri sub 1%. Oscilogrammele obținute permit analiza comportării dinamice a mecanismului de distribuție, prin evidențierea șocurilor, desprinderilor, a rezervelor arcurilor de distribuție pentru mărima curajului, etc.

13. Metoda de corectare și de testare experimentală, elaborată în cadrul lucrării, este aplicabilă atât pentru evaluarea soluțiilor noi, cât și pentru analiza funcționării distribuțiilor unor motoare aflate în fabricație, permițând cunoașterea performanțelor profilului camii și al calității transferului de la tchet la suprafață.

14. Optimizarea soluțiilor pe calea rezolvării analitice a sintezei și analizei mecanismului de distribuție impune utilizarea următoarelor tipuri de programe:

- programul de sinteză a profilului camii, calculând următoarele mărimi: a. coordonatele carteziene x, y , ale profilului camii, cu o precizie de $\pm 5 \mu$; b. timpul-secțiune al legii de mișcare; c. deplasarea, viteza și accelerația tchetului; d. unghiul de presiune.
- programele de analiză cinematică și cinetostatică, care determină: e. parametrii cinematici ai elementelor mecanismului intermediar tchet-supapă, fiind se cunoaște mișcarea tchetului; f. parametrii cinematici ai tchetului în funcție de profilul camii și de dimensiunile mecanismului cam-tchet; g. reacțiunile dinamice, cu frecare, din cuplajele cinematice ale mecanismului de distribuție; h. solicitări-

le elementelor componente.

Aceste programe se pot utiliza separat sau combinate, în funcție de necesități, asigurând posibilitatea testării rapide a unui număr mare de variante.

15. Metodele de optimizare elaborate în țară, au fost experimentate și aplicate pe distribuțiile motoarelor D - 103 și IVECO, obținându-se, în principal, o creștere a timpului-secțiune cu 20% și o extensare substanțială a regimului dinamic, iar procedeul de analiză aplicat distribuției motorului ADO, a pus în evidență rezervele disponibile pentru creșterea performanțelor acestuia.

Rezultatele obținute au confirmat soluțiile cercetărilor elaborate de autor și aplicabilitatea lor în realizarea programului național de fabricație a motoarelor cu ardere internă în concepție proprie.

B I B L I O G R A F I E

1. ADAMS, D.,
PELESCUDI, CHR., Influența supraaccelerațiilor în funcționarea mecanismelor cu came
SCMA 29 (1970) Nr.2 p.361/87
2. ARAMA, C.,
GRÜNWALD, B., Motoare cu ardere internă. Procese și caracteristici. Ed. tehnică București 1966
3. BANARESCU, M., Motoare cu ardere internă
Vol. I. Ed. tehnică București 1957
4. BANARESCU, M.,
RAICA, TR., Motoare cu ardere internă Vol. II București
Litografia Min. Invățământului 1957
5. BARANESCU, G., O metodă generală de calcul a parametrilor termodinamici în procesele generale de scurgere a gazelor în regim variabil
SCE 1 - 2 1955
6. BARANESCU, G., Unele probleme ale calculului scurgerii în regim variabil a gazelor de compoziție variabilă
SCE Nr.2 1961
7. BARANESCU, G., Calculul procesului de schimbare a încălzirii cilindrului în motoarele cu ardere internă, cu considerarea oscilațiilor din conductele de distribuție a gazelor
SCE Nr.3 1967
8. BARANESCU, G., Determinarea momentelor optime de comandă a supapelor motoarelor cu ardere internă
SCE Nr. 3 - 4 1955

9. BARKAN, P., Calculations of high-speed valve motion with flexible-overhead linkage.
Trans. SAE 61,687 (1953)
10. BEHSINGER, W.D., Die Steuerung des Gaswechsels in schnelllaufenden Verbrennungsmotoren
Springer - Verlag 1968
11. BERINDEAN, V.,
MARIANA, A., Complimente la proiectarea camelor poli-dine pentru motoarele cu ardere internă
Simpozion de mecanisme și transmisii mecanice Reșița 1976
12. BERINDEAN, V., Contribuții la stabilirea creșterii umplerii cilindrului la motoarele supraalimentate prin comprimarea gazelor reziduale în timpul admisiei
Acad. RSR Baza Timișoara Științe tehnice IX nr. 1 - 2, 1962
13. BERINDEAN, V., Contribuții la studiul și încercarea unui prototip de micromotor pentru tracțiunea terestră
Buletinul IFT Tom 2 (16) 1957
14. BERINDEAN, V., Dinamica motoarelor
Timișoara IFT 1959
15. BOGDAN, R.C.,
LARIONESCU, D., Analiza armonică complexă și mecano-electrică a mecanismelor plane
Ed. Academiei RSR 1968
16. BROSIŃSKY, H.J., Untersuchungen an einer Ventilsteuerung
MTZ 1954 Nr.9 p.255/71
17. DERNDINGER, H.O., Untersuchungen über das dynamische Verhalten der Ventile an Verbrennungsmotoren

MTZ 22 (1961) Nr. 7

18. DORN, W.S.,
ME CRACKEN, D.D., Metode numerice cu programe în fortran IV
Ed. tehnică București 1976
19. DUDLEY, W.M., New methods in Valve cam design
Transactions SAE 2 1948
20. RICHELBERG, G., Instationäre Strömungsvorgänge in Motoren
Forsch - Ing - Wesen 14 1943
21. FELDINGER, M., Problems of high speed cam drivers and
spring surge. Eng. Digest 17.4 1956
22. GROSANU, I., Considerații privind vibrațiile arcurilor
cilindrice ale unor supape
Simpozion de mecanisme și transmisii meca-
nice Reșița 1976 caiet 3
23. GHEORGHIU, O.E.A.,
CRSTICI, B.D., Geometrie analitică și diferențială
Ed. didactică și pedagogică București 1968
24. GÖRING, E., Systematische Darstellung der Bewegungs-
gesetze für Kurvengetriebe
Maschinenbautechnik 9/1960 Nr.6 p.313/21
25. GRÜNWAID, B., Teoria, construcția și calculul motoarelor
pentru autovehicule interne
Ed. didactică și pedagogică București 1969
26. HAIN, K., Raportul de transmitere în mecanisme cu
came cu mai multe elemente
SCMA XII (1961) Nr.3 p.617/631
27. HARRIS, și CREDE, Securi și vibrații
Ed. tehnică București 1968
28. HEINRICH, W.,
RESTON, J., Messrichtung zur Bestimmung von Geschwin-
digkeit und Beschleunigung an der Abtreib-
schwings eines Kurvengetriebes

Maschinenbautechnik 10/1961 Nr.6

p. 300/302

29. HERR, R., Die Bewegungsverhältnisse an Steurnocken
ATZ 37 1934
30. HILDEBRAND, S., Zur Konstruktion von Kurvengetrieben
Maschinenbautechnik 1 (1952) p.203/216
31. HORN, H., Untersuchung der an Ventilantrieben auf-
tretenden Verschleisursachen und deren
Verminderung Maschinenbautechnik 31957
p. 270/76
32. HUBER, E., Beitrag zur Berechnung von Strömungsvor-
gängen, insbesondere von Ladungswechsel-
vorgängen an Verbrennungskraftmaschinen
unter Berücksichtigung der instationären
Strömung VDI Forsch H 462
33. HUGK, H., Dynamische Probleme beim Kurvenrollen-
Eingriff Maschinenbautechnik 14 (1965)
nr.7 p. 389/391
34. HUGS, H.,
NERGE, G.,
STANGE, H., Untersuchung der Kontakt-schwingungen an
der Eingriffsstelle von Kurvenmechanismen
Maschinenbautechnik (1967) Nr.6 p.296/301
35. HUSSMANN, A., Schwingungen in schraubenförmigen Ventil-
federn 1938 p. 119
36. JANSSEN, B., Dynamic der Kurvengetriebe VDI - Berichte
Nr. 127 1969
37. JANTE, A., Über Nocken an Verbrennungsmotoren Maschi-
nenbautechnik H 3/1961 p.142 - 149
38. JANTE, A., Grundlagen der Gemischbildung und Verbren-
nung im Dieselmotor und im Meurer - Motor

39. JOHNSON, R.C., W.Z. der T.U Dresden Nr.16 1967 H.4 p.1141/54
Analysis and design of cam mechanisms having
a varying inspect velocity.
Trans 7th Conf.of mechanisms (1962) p.190/201.
40. KENJI, OKAMURA, Weiterentwicklung des schnellaufenden Mits-
ubishi - WZ - Motors.
MTZ 34 Nr.11 nov.1973 p.370.
41. KLUSENER, Entwicklungstendenzen in Motorenbau.
MTZ 20 Nr.6 1959.
42. KOGAN, I.A., Stabilitatea la vibrații a mecanismelor de
distribuție a motoarelor cu supape în cap
Avtom.prom. Nr.4 1958 p.8 - 11.
43. KOGAN, I.A., Calculul parametrilor constructivi ai meca-
nismelor de distribuție ale motoarelor cu
ardere internă cu piston.
Vest.maşinostroenia (1961) nr.4 p.32 - 35.
44. KOLBINSKII, A.E., Der Einfluss der Elastizität der Glieder auf
die Kinematik der Getriebe für Brennstoffzu-
führung.
Al 3-lea sem.pt.TMM vol.IV (1947) H.14.
45. KÖRNER, W.D., Cercetări asupra elasticității mecanismului
de comandă a supapelor când arborele cu came
este amplasat în partea inferioară a motoru-
lui MTZ 23 Nr.3 1962 p.65 - 69.
46. KOVÁCS, FR., Metode noi în sinteza mecanismelor.
PERJU, D.,
SAVII, G., Editura Facla - 1976.
47. KOVÁCS, FR., Influența structurii mecanismului cu camă al
MARINA, M., distribuției motoarelor cu ardere internă asu-
pra cinematicii și cinetostaticii acestora
Sesiunea de comunicări I.P.Tr.Vuia, 1977.

48. KUHN, P., Über das dynamische Verhalten von Ventilsteuerungen an Verbrennungskraftmaschinen.
Dissertation Darmstadt 1963.
49. KURZ, D., Entwurf und Berechnung ruckfreier Nocken
ATZ 1954 Nr.11 p.293/299.
50. LIST, H., Die Entwicklung von Diesel motoren
Ing. Zeitschrift 10 (1967) p.254/64.
51. LIST, H., Der Ladungswechsel der Verbrennungskraftmaschinen Band I Springer Verlag 1949.
52. MANGERON, D., Studiul problemelor de sinteză a mecanismelor cu came plane prin metoda tensorială
DRAGAN, C.,
B.I.P. Iași IV (1958).
53. MANOLESCU, N.I., Probleme de teoria mecanismelor și mașinilor
vol. II.
54. MANOLESCU, N.I., Teoria mecanismelor și mașinilor. Cinetostatica și dinamica.
MAROS, D.,
55. MANOLESCU, N.I., Teoria mecanismelor și a mașinilor
KOVÁCS, FR.,
ORANESCU, A.,
Ed. didactică și pedagogică București 1972.
56. MARINA, M., Unele aspecte privind corelația dintre legea de mișcare a tchetului și profilul camei.
Simpozion de mecanisme și transmisii mecanice
Reșița 1976.
57. MARINA, M., Contribuții la analiza cinematică a mecanismelor de distribuție ale m.a.i.
Simpozion de mecanisme și transmisii mecanice
Reșița 1976.
58. MARINA, M., Rezolvarea pe calculator a cinematicii distribuției unui motor cu ardere internă Simpozion:
POMMERSHEIM, A.,
UTILIZAREA CALCULATORULUI ELECTRONIC IN CERCETAREA SI PROIECTAREA CONSTRUCTIILOR DE MASINI

26 mai 1973.

59. MARINA, M.,

Asupra optimizării distribuției motorului
D - 103.

Sesiunea a XI-a de comunicări științifice
I.P.Brașov 1971.

60. MARINA, M.,

Unele probleme ale comportării dinamice
a mecanismului de distribuție al m.a.i.

Sesiunea de comunicări I.P.Timișoara 1971.

61. MARINA, M.,

Asupra posibilității de corelare a regimului
dinamic de funcționare a distribuției cu con-
dițiile corespunzătoare schimbului optim de
încărcătură la motoarele cu ardere internă
Sesiunea de comunicări I.P.Timișoara 1974.

62. MARINA, M.,
CIOARA, T.,

Über die Vorteile der Benützung der sogenannten
"Polydyne" Kurvengetrieben in der Steuerung
der Verbrennungsmotoren.

Al treilea congres mondial IFTOMM vol.B
Kupari Yugoslavia 1971.

63. MARINA, M.,
KOVÁCS, FR.,

Considerații asupra corelației dintre legea
de mișcare impusă supapei și starea de soli-
citare a elementelor mecanismului de distri-
buție.

Prima sesiune de comunicări științifice
I.N.I.T. București 1977.

64. MARINA, M.,

Reflectarea calităților legii de mișcare a
supapei asupra secțiunii efective.

Sesiunea de comunicări I.P."Tr.Vuia" 1977.

65. MARINA, M.,

Valorificarea rezultatelor cercetării de op-
timizare a distribuției motoarelor cu ardere
internă.

- Sesiunea de comunicări I.P.„Tr.Vuia”1977.
66. MARINA, M.,
SAVII, G., Calculul automat al solicitărilor din meca-
nismul de distribuție al motoarelor cu ar-
dere internă.
- Sesiunea de comunicări I.P.„Tr.Vuia” 1977.
67. NEGREA, V., Contribuții la calculul fenomenelor de un-
dă din conductele de admisiune ale motoa-
relor cu aprindere prin comprimare în pa-
tru timpi. Teză de doctorat 1976.
68. NERGE, G., Zur Beurteilung der Bewegungsgesetze für
Kurvengetriebe nach ihre beschleunigungs kenn-
werten Maschinenbautechnik Nr.6 1960.
69. NERGE, G., Tafel der Kennwerte simetrischer Bewegungs-
gesetze für Kurvenmechanismen.
Maschinenbautechnik 11 (1962) nr.8 p.433/437
70. NOWAK, H., Erfahrungen bei der Auslegung von Nocken
für Ventilsteuerungen.
Maschinenbautechnik 16 (1967) Nr.11 p.612/15.
71. NOWAK, H., Probleme der Ventilsteuerungen an Verbrennungs-
motoren.
WTZ Magdeburg 1967.
72. ORLIN, A.S., Motoare cu ardere internă Vol.I și II.
73. PELECUDI, CHR.,
SAVA, I., Optimizări în sinteza mecanismelor cu came
Conf.naț.de mecanică aplicată București
iunie 1969.
74. PELECUDI, CHR.,
SAVA, I., Legile generale ale mecanismelor cu came
SCMA 22/1966 Nr.4 p.1039/67.
75. PELECUDI, CHR.,
SAVA, I., Optimizarea legilor de funcționare ale meca-
nismelor de distribuție.
SCMA 27 (1968) Nr.3 p.617/643.

76. PELECUDI, CHR.,
MATEESCU, A., Analiza armonică a legilor de mișcare la
mecanismele cu came.
SCMA 26 (1969) Nr.1 p.195/210.
77. PELECUDI, CHR., Precizia mecanismelor
Ed. academiiei RSR 1975.
78. PELECUDI, CHR., Optimizarea legilor de funcționare ale me-
canismelor de distribuție SCMA 3 1968.
79. PISCHINGER, A., Bewegungsvorgänge in Gassäulen, insbesondere
im Auspuff und Spülvorgang von Zweitaktma-
schinen 1935.
80. PISCHINGER, A., Die Steuerung der Verbrennungskraftmaschinen
Springer Verlag 1948.
81. PISCHINGER, A.,
PISCHINGER, F., Der Einfluss der Wand bei der Verbrennung
eines Brennstoffstrahles in eines Luftwirbel
MTZ 20 Nr.1 1959.
82. PISCHINGER, F., Entwicklungsarbeiten an einem Verbrennungs
System für Fahrzeug - Dieselmotoren
ATZ 1963 H 1.
83. RAUFORD, Metode de cercetare și rezultatele obținute
la motoare Diesel de mare putere
MTZ 27 Nr.8 1966 p.334/37.
84. RINGWALD, M., Nockenform und Ventilbewegung und besonderer
Berücksichtigung der Verbrennungsmotoren
VDIZ. B 71 Nr.2 1927 p.47/52.
85. ROTHBART, H.A., Dynamische Maschinenanalyse
Maschinenbautechnik 15 (1966) p.377/80.
86. ROTHBART, H.A., Cams-Design, Dynamics and Accuracy
New-York I. Wiley and Sons 1956.
87. SAVII, G.,
MADARAS, L., Analiza cinematică și dinamică a mecanismu-
lui debitor întinzător de la mașinile de
MOTOTRANȘMISII
TIM
MOTOTRANȘMISII

- cusut prin sistemul program „SAVMAC”.
Simpozionul de mecanisme și transmisii
mecanice Reșița 1976.
88. SCHKARBACH, R., Über die Gestaltung der Kurvengetriebe
und Fertigung der Steuerkurven.
VDI - Berichte 12/1956 p.107/19.
89. SCHOLLAIN, Privire asupra defectelor supapelor
KFT nr.9 1955.
90. SEIFERT, H., Instationäre Strömungsvorgänge in Rohr-
leitungen an Verbrennungskraftmaschinen
Springer Verlag 1962.
91. SILAS, GH., Mecanică - vibrații mecanice.
Ed.didactică și pedagogică 1968.
92. STANISLAVSKI, A.V., Analiza energetică a pierderilor în sis-
TOLKACEV, N.A., temul distribuției de gaze într-un motor
cu ardere internă cu turbosuflantă.
Izv. V.U.Z. nr.5 1972 p.97/101.
93. STRATULAT, I., Incercarea motoarelor cu ardere internă
MUNTEANU, S.D., Ed.tehnică București 1966.
94. STRAUBEL, M., Beitrag zur Erfassung und Beeinflussung
des Schwingungsverhaltens von Nockengetrie-
rieben
MTZ 27 (1966) Nr.10 p.403/10.
95. SZEKKELY, I., și Mecanisme cu comandă logică cu elemente
colectiv rigide și elastice SCIA Nr.4 1965.
96. TESAR, D., The dynamic synthesis, analysis, and de-
MATTHEW, G.K., sign of modeled cam systems.
Lexington Books 1976.
97. THIEN, G., Entwicklungsarbeiten an Ventilkänaälen
vom Viertakt - Dieselmotoren.

- Z. des Österreichischen Ingenieur 110
p.291 - 502.
98. TUFUNARU, D., Mecanisme cu came Ed. tehnică Buc. 1959.
99. TUFUNARU, D.,
DEMIAN, T., Asupra determinării profilului camelor la
mecanisme cu tachet cu disc plan
SCMA XI (1960) Nr.6 p. 1411/1458.
100. VANSEIDT, V., Motoare Diesel.
Ed. tehnică București 1959.
101. WARTHING, A.G., Prelucrarea datelor experimentale
Ed. tehnică 1969.
102. WEGLER, K., Über Lösungsmöglichkeiten einiger strömungs-
technischer Probleme in Dieselmotoren
WTZ Magdeburg 12.
103. WIEBE, I.I.,
TARAFONTOV, M.F., Elektronische Analyse der Arbeitspiele von
Verbrennungsmotoren
KFT nr.10 1967 p.294/97.
104. WOSCHNI, G., Elektronische Berechnung von Verbrennungs-
motor Kreisprozessen WTZ 26 1965 H 11.
105. ZAGARESCU, I., Locomotive și automotoare cu motoare termice
Ed. didactică și pedagogică București 1972.
106. ZIZKA, I., Studiul experimental al cinematicii distri-
buției cu supape inversate cu comandă supe-
rieoră
Construcția de mașini Nr. 9 1964.
107. MICHEL, H., Contribuții la studiul și cercetarea organi-
zării mișcării aerului în timpul admisiei
la motoarele cu aprindere prin comprimare, cu
cameră de ardere unitară
Teză de doctorat IAPVT 1977.

108. BROCH, J.T.,

Mechanical Vibration and Shock Measure-
ments (Brüel & Kjaer 1976).